

基础解剖教学

人体骨架 | 八大系统 | 微观解剖

登录官方网站 3bscientific.com 查看所有产品

尊敬的客户:



Todd A. Murray | CEO

每一次为新样本写序就像庆祝生日。人们在这样的日子里回顾过去一年发生的积极美好的事情。同时，满怀希望憧憬未来。在去年的产品册中我们强调了与 Operative Experience 的战略合作，这是一家专门为产科分娩、战创急救和外科手术等技能训练提供高仿真训练模拟器的公司。Operative Experience 的产品支持我们在医疗模拟市场持续扩展，符合我们的发展目标，即通过高品质、可靠耐用的产品帮助全球技能实训中心有效地培训医疗工作者。

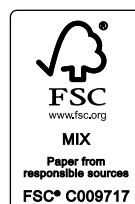
同时，人们也会放眼未来。这是令人非常兴奋的，我们在今年的产品册中增加了所有新产品和更新的产品功能。凭借我们在生产高质量、无毒且耐用的解剖模型方面的悠久历史，我们很高兴向您介绍最新系列图像引导下脊柱穿刺训练模型。这些产品为传统的基于尸体的教育课程提供了经济而简单的替代方案。

此外，我们今年的产品册中另一大亮点是 CPR Lilly Pro。Lilly 是我们最早的 CPR 模型，很多人已经了解并正在使用。但由于最新数据的显示，仅在美国，每年就有超过35万的心脏骤停发生在医院外，其中近40%发生在公共场所，只有约46%的患者在接受专业帮助之前获得了他们需要的旁观者心肺复苏术。考虑到这些数字在全球范围内对培训的需求非常大。我们升级了 Lilly 的功能，为 CPR Lilly Pro+，可以实现监测功能，并提供客观和即时的反馈。此外，可以同时关联10名学生。软件可在 OS、Android 系统和台式电脑上运行，满足您所需的灵活度。

我们邀请您探索新的 CPR Lilly Pro+ 和 2019年产品册中其他令人兴奋的新产品。我们还更改了产品册布局，让您更快速的找到需要的产品，提高工作效率。

我们期待继续成为您的合作伙伴，为您提供模拟中心培训设施和教学方案，同时我们将始终遵循我们的使命，“提高相关教育和模拟产品的质量、扩展宽度和全球覆盖度，推进医疗和医疗服务的发展”。

敬礼



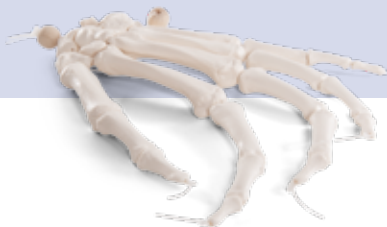
目录



1

人体解剖

解剖模型套装	4
人体骨架模型	8
骨骼模型	16
手与足模型	20
关节模型	24
椎骨模型	28
3B BONElike™	30
脊柱模型	32
骨盆和骨盆骨骼模型	38
颅骨模型	42
专业教学颅骨模型	44
肌肉模型	48
躯干模型	54
皮肤模型	62
头部和大脑模型	64
神经系统模型	72
眼模型	74
耳鼻喉模型	78
牙齿模型	82
心脏模型	86
肺部模型	92
消化和泌尿系统模型	94
妊娠期模型	100



104

3B ORTHObones 仿真骨

3B ORTHObones 标准版	105
3B ORTHObones 高级版	106
3B 生物力学测试块	107



108

医学挂图

3B Scientific 挂图和海报	108
墙壁挂图	113





人体解剖

3B Scientific 国际集团公司于1948年起开始研究并生产用于医疗教学领域的高品质产品。

如今，3B Scientific 品牌已经遍布全球120多个城市，全世界共有14家分公司，总部位于德国汉堡，分公司分布于德国克林根塔尔、匈牙利、美国、日本、法国、意大利、中国、西班牙、英国、俄罗斯、巴西、泰国、韩国、土耳其。



3B Scientific® 人类颅骨模型现采用方便拆卸的磁性连接装置，具体细节可翻阅本产品册颅骨章节查看。本书展示了多种磁性连接的解剖学模型，欢迎您翻阅订购。



每个3B Scientific® 产品都遵循高标准要求, 保证连续严格地进行质量管控。

3B Scientific 为您提供高品质产品和优质服务, 是您可以信赖的品牌。我们始终基于医学科学和教育技术最新的科研成果来推陈出新, 使3B Scientific® 解剖学模型能够与时俱进。

3B Scientific 公司于2000年通过了DIN EN ISO 9001认证, 2004年成为了世界教具联合会(WQC)的首批成员之一。

多种产品供您选择:

- 所有解剖学模型均符合真实结构标准
- 使用超耐用无毒材料制造
- 在德国拥有专业的设计和制造团队

解剖细节纯手绘图, 纹理、肌肉、神经都得以精确展示。每款产品的生产工艺都经过严格把关, 是教学培训的最佳选择, 同时配有产品说明, 方便您进行快速查找与使用。

每一个模型都采用无毒材料制造, 安全可靠。

根据实物标本扫描进行铸模制造, 保证具有真实的解剖特征和栩栩如生的纹理。

我们在生产每一个骨骼模型过程中, 始终遵守严格的质量标准, 保障并维护客户的利益。



每一个模型都是经过高训练和熟练的技术人员手工完成的, 以确保始终保持优良品质。

新品 - 解剖模型套装

购买套装获得更多优惠!

每个解剖模型套装都由多个相互关联的模型组成，在教学功能上进行相互补充，现在以套装形式购买还能享受更多优惠。解剖模型套装对于课堂教学或患者健康教育是非常理想的选择，每套模型涵盖了不同领域，例如：妊娠、骨科、神经、心脏等学科。借助模型以更全面的方式进行专题教学。



耳模型套装

包含:

- 耳模型, 3倍放大, 4部分
- 听小骨模型, 真实大小

8000844



大脑和脑室模型套装

包含:

- 经典脑模型, 5部分
- 脑室模型

8000842



眼模型套装

包含:

- 眼模型, 3倍放大, 6部分
- 3B MICROanatomy™ 眼微观模型

8000843



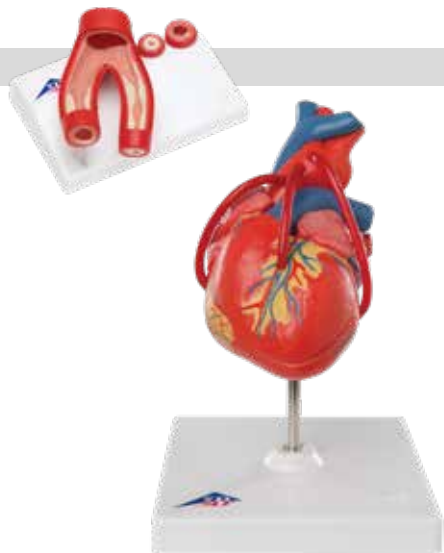
感官模型套装

包含:

- 眼模型, 3倍放大, 6部分
- 耳模型, 3倍放大, 4部分
- 鼻子与鼻窦模型, 5部分
- 皮肤模型, 80倍放大, 3部分

8000847

套装



心脏和血管模型套装

包含:

- 心脏搭桥手术模型, 2部分
- 动脉硬化模型, 动脉横切面, 2部分

8000845



骨盆模型套装

包含:

- 男性骨盆模型
- 女性骨盆模型

8000838



妊娠模型套装

包含:

- 受精卵和胚胎发育模型, 2倍放大
- 妊娠骨盆模型, 3部分

8000848



肺模型套装

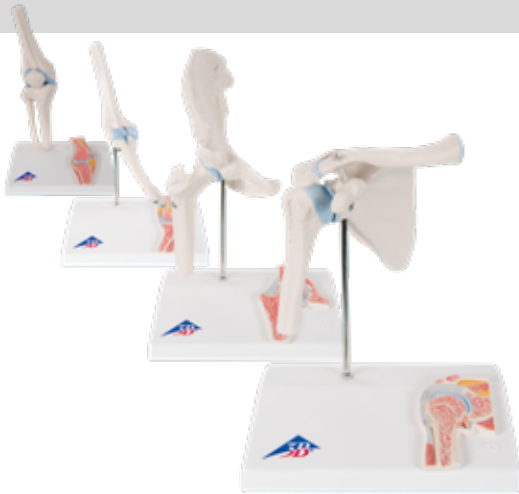
包含:

- 肺叶和周围血管模型
- 3B MICROanatomy™ 微观肺叶与周围血管模型

8000846

套装

S



迷你关节模型套装

包含:

- 迷你腕关节模型, 带横截面展示
- 迷你肩关节模型, 带横截面展示
- 迷你膝关节模型, 带横截面展示
- 迷你肘关节模型, 带横截面展示

8000835

♂



骨盆截面模型套装

包含:

- 男性截面骨盆模型, 2部分
- 女性截面骨盆模型, 2部分

8000837

♀



上下肢肌肉模型套装

包含:

- 下肢模型, 3/4真实大小, 9部分
- 上肢模型, 3/4真实大小, 9部分

8000841



足模型套装

包含:

- 弓形足模型, 真实大小
- 正常足模型, 真实大小
- 扁平足模型, 真实大小

8000840



访问官方网站 3bscientific.com 获取详细信息!



手和足全解剖模型套装

包含:

- 带骨骼、韧带和肌肉的手模型
- 带骨骼、韧带和肌肉的足模型

8000839

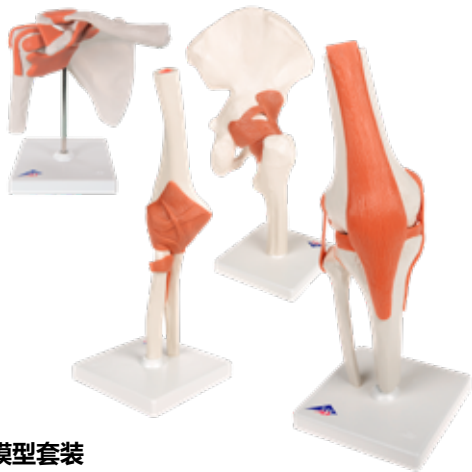


豪华关节模型套装

包含:

- 豪华肩关节模型
- 豪华膝关节模型
- 豪华腕关节模型
- 豪华肘关节模型

8000834



关节模型套装

包含:

- 功能型腕关节模型
- 功能型肩关节模型
- 功能型肘关节模型
- 功能型膝关节模型

8000832



脊柱模型套装

包含:

- 颈椎模型
- 胸椎模型
- 腰椎模型

8000836

人体骨骼模型



颅缝的细节展示

简单的磁性连接，使拆卸示范更加快速便捷。

所有3B Scientific® 人体骨骼模型均采用最高品质的工艺与材料！

- 真实大小，重量逼真
- 顶级铸造，栩栩如生
- 极为准确的细节，手工完成最终组装
- 合成材料制作而成，经久耐用、不易破损
- 3部分组装的颅骨，具有独立可插入的牙齿
- 可快速便捷取下的四肢
- 逼真、可活动的关节
- 放置于金属支架上，支架带5个轮脚，安全稳定，便于移动
- 含透明防尘罩
- “德国设计”

Stan 经典骨骼模型

Stan 经典骨骼模型(我们称之为Stan)是50年来医院、学校、大学和实验室常用模型的质量标准。是用于教学使用和展示的理想之选，在所有标准骨骼模型中性价比最高，这款人体骨骼模型方便使用，解剖结构准确，价格合理，易于搬运。工艺和材质都是无法模拟仿造的！



高品质骨骼模型，由真实标本扫描铸模而成！

Stan 经典骨骼模型，轮式支架

176.5 cm; 9.57 kg

A10 1020171

Stan 经典骨骼模型，悬挂支架(悬挂支架详见12页)

192.5 cm; 8.77 kg

A10/1 1020172

防尘罩，黑色

采用结实耐用材质，适合所有带支架的全尺寸骨骼模型。

W40103 1020761



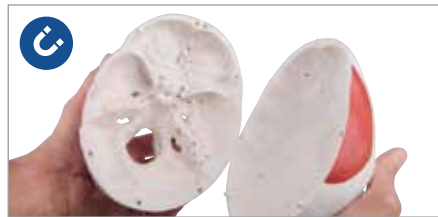


彩色绘制肌肉
起始端与终止端

Max 经典肌肉骨骼模型

此模型充分体现了3B Scientific® 解剖产品的优点，采用手绘形式展现了骨骼与肌肉间的相互作用。

它描绘了600处医学解剖学相关知识要点包括身体左侧的肌起端(红色)和附着端(蓝色)，以及身体右侧的具有编号的手骨和孔裂。



> Max 具有着色肌肉!

Max 所有功能一目了然:

- 显示骨骼和肌肉结构之间的相互作用
- 具有600处医学解剖学相关知识要点
- 以红、蓝两色绘制肌起端和附着端
- 手工编号的肌肉、骨骼、骨缝和孔洞，使其易于辨别



Max 为您充分展示骨骼与肌肉之间的相互作用!

Max 经典肌肉骨骼模型, 轮式支架

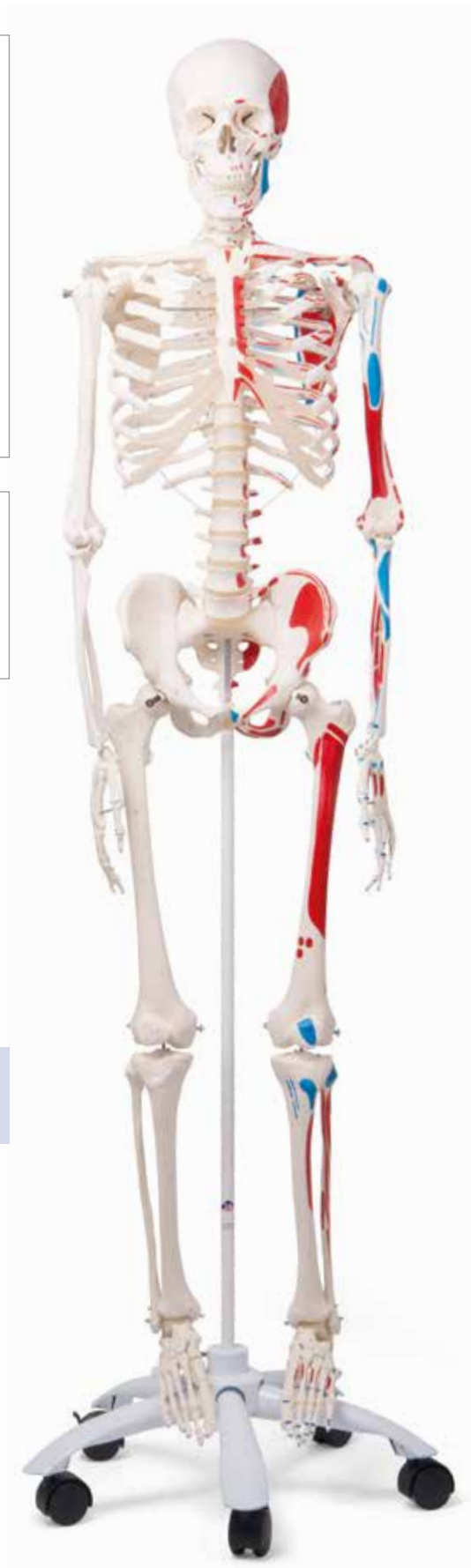
176.5 cm; 9.57 kg

A11 1020173

Max 经典肌肉骨骼模型, 悬挂支架(悬挂支架详12页)

192.5 cm; 8.77 kg

A11/1 1020174



Leo 经典韧带骨骼模型

此模型包含3B Scientific® 产品的标准优点，并且充分体现了骨骼与韧带之间的相互作用。韧带附着于身体右侧的各关节处(肩关节、肘关节、髋关节和膝关节)。



> Leo 具有韧带结构!

Leo 所有功能一目了然:

- 充分体现骨骼与韧带之间的相互作用
- 所有韧带松紧适宜，以显示功能运动

Leo 经典韧带骨骼模型, 轮式支架

176.5 cm; 10 kg

A12 1020175



Leo 为您充分展示骨骼与韧带之间的相互作用和真实的运动情况!

膝关节韧带弹性





超过600个细节标记



突出的脊神经



Sam 是万能的教学工具, 适用于各种水平的学生和病人。

Sam 经典豪华骨骼模型

此豪华骨骼模型包含3B Scientific® 骨骼系列产品的所有优点。它具有全方位可移动的灵活的脊柱, 左侧以红、蓝两色标注肌起端和附着端, 右侧各处关节具有韧带结构, 全身上下共有600处医学解剖学相关知识要点, 以及可拆分的头颅, 因此可以向您展示人的自然活动。此外具有独一无二的第3和第4腰椎间盘突出特征。



Sam 所有功能一目了然:

- 超过600项细节信息, 均由手工编号并贴有标签, 包含有助于识别的详细指南
- 手工上色的肌起端与附着端
- 灵活的脊柱和韧带, 可展示自然姿势(可从支架上取下)
- 展示了第三和第四节腰椎之间的椎间盘突出
- 凸出的脊神经和椎动脉
- 完全灵活的左侧肢体, 完全灵活的右侧膝部和臀部, 部分灵活的肘部和肩部

Sam 经典豪华骨骼模型, 轮式支架

176.5 cm; 10 kg

A13 1020176

Sam 经典豪华骨骼模型, 悬挂支架(悬挂支架详见12页)

192.5; 10 kg

A13/1 1020177



+

Phil 展现了自然运动和现实关节活动机制!

Phil 关节机制骨骼模型

独一无二的全活动性骨骼。近乎真实的展现关节活动机制。您可以展现腿和手臂的内旋与外旋，膝关节与肘关节的伸展与屈曲。特别是灵活的脊柱可模拟所有人类自然活动。手部骨骼用尼龙线连接，足用弹性带连接。这使两者都能以自然姿势上下左右移动。当肩关节被移动时，肩膀也能一起活动。即使在髌/盆和髌/尾之间很小的活动都可被显示。除此以外，此模型具有所有3B Scientific® 骨骼产品的优点。

Phil 具有Stan经典骨骼模型的全部特征:

- 灵活的脊柱允许模拟所有自然活动
- 展现近乎真实的关节运动机制

Phil 关节机制骨骼模型, 悬挂支架

192.5 cm; 9.6 kg

A15/3 1020179

+

Fred 可以表现各种运动并通过固定姿势详细讲解!

Fred 灵活骨骼模型

此模型脊柱可以真实模拟人脊背弯曲与活动。弯曲后固定于某种姿势以显示正确和不正确的体态或病理状态。除此以外，头颈关节可以显示所有的头颅活动。模型具有脊神经，并显示了椎动脉和L3-L4腰椎间盘突出。除此以外，此模型具有所有3B Scientific® 骨骼产品的优点。

Fred 灵活骨骼模型, 轮式支架

176.5 cm; 9.6 kg

A15 1020178





Frank 展现了独一无二的逼真活动形态。

Frank 功能性骨骼模型

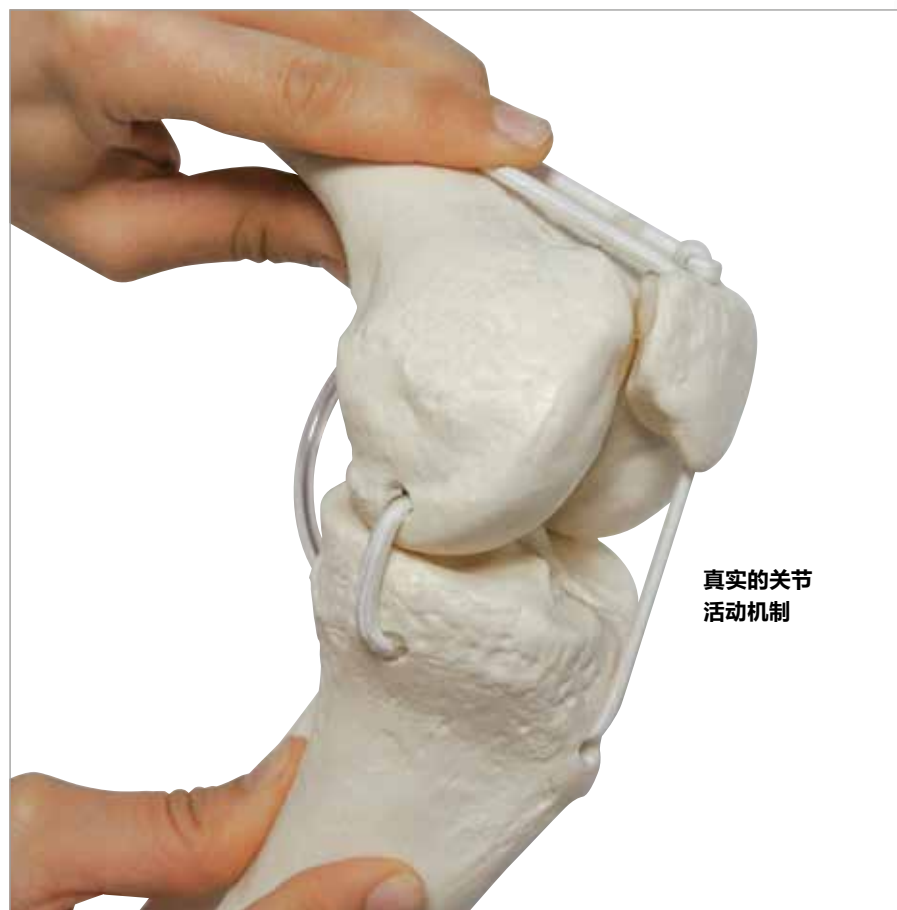
这是独特的功能性骨架，置于悬挂支架上。它拥有灵活的关节可以展示人体真实活动情况，上身可以模拟各种复杂的肢体动作，当举起手臂时肩胛骨也会跟随旋转，前臂可以表现尺骨和桡骨的内旋与外旋。灵活的脊柱可以模拟人脊背弯曲和多种活动形态(包括：旋转、伸展、侧面弯曲)，即使活动性受限的骶髂关节和骶尾关节活动也能准确的表现出来。

Frank 具有Stan经典骨骼模型的全部特征，以及独特的运动表现：

- 所有关节都灵活连接，可以模拟逼真的自然活动
- 上肢可模拟各种复杂的肢体动作

Frank 功能性骨骼模型, 悬挂支架

192.5 cm; 9.6 kg
A15/3S 1020180



真实的关节
活动机制

► 未组装的全彩色骨骼模型为您展现更精细的解剖学结构。



未组装彩色全骨骼模型

这款3B Scientific® 未组装的彩色全骨骼模型左侧通过手工绘画描绘出肌起端(红色)和附着端(蓝色)。右侧通过手工编号标记出骨骼、骨缝、裂孔等结构。模型颅骨可拆分为三部分进行更精细的研究。全模型共有179块骨结构。

- 一只手和一只脚用尼龙线连接
- 脊柱使用细尼龙丝连接
- 多语种学习手册，以识别超过600个被编号的解剖结构
- 采用带分隔的硬质储存箱包装

48.5 x 27 x 42.5 cm; 6 kg

A05/2 1020158



未组装全骨骼模型, 金属丝连接手部/足部

一只手和一只脚使用金属丝连接, 另一侧松散放置。模型置于带分隔的硬质储存箱包装供货。

48.5 x 27 x 42.5 cm; 4.8 kg

A05/1 1020157

+

这款高品质骨骼复制模型对人类骨骼的深度研究和科学探索具有伟大意义。



未组装半骨骼模型, 松散连接的手部/脚部

完整的3部分颅骨、胸骨、舌骨和脊柱。

48.5 x 27 x 42.5 cm; 4 kg

A04/1 1020156



未组装半骨骼模型, 金属丝连接的手部/脚部

完整的3部分颅骨、胸骨、舌骨和脊柱。

49 x 43 x 26.5 cm; 4 kg

A04 1020155



▶ 微型骨骼：为您展现精确的解剖学结构与关节活动机制

迷你骨骼模型

- 等级的迷你人类骨骼模型
- 3部分可拆卸颅骨(颅盖骨、颅底骨、下颌骨)
- 可拆卸的上肢和下肢
- 特别安装的髋关节，可以展示关节的自然旋转
- 由耐用不易碎的塑料制成，手工完成最后装配
- 根据需要可从底座取下

A. Shorty迷你骨骼，带安装好的骨盆

带软质椎间盘的灵活脊柱。

88 cm, 1.5 kg

A18 100039

Shorty迷你骨骼，带悬挂支架

此悬挂支架既可放在地上，又可固定在墙上。

94 cm; 1.5 kg

A18/1 100040

B. Shorty着色骨骼模型，带安装好的骨盆

该模型的左半部手工绘制肌肉分布，显示肌肉的起始段(红色)和附着端(蓝色)。

88 cm; 1.7 kg

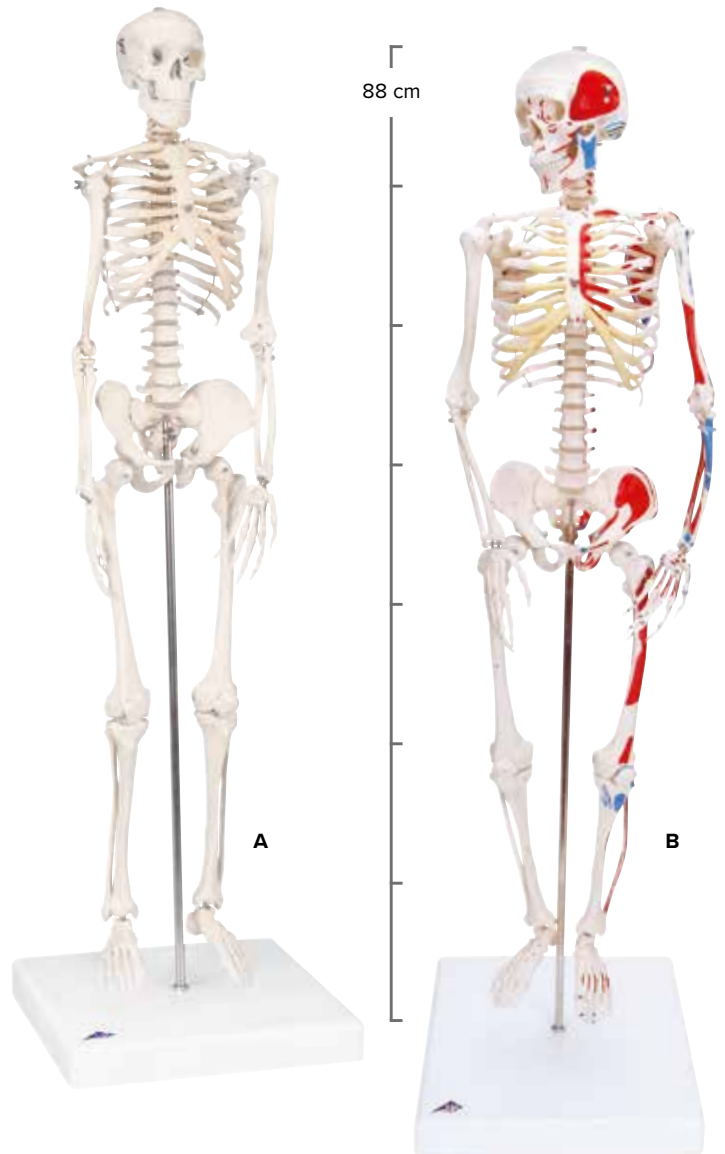
A18/5 100044

Shorty着色骨骼模型，带可悬挂支架

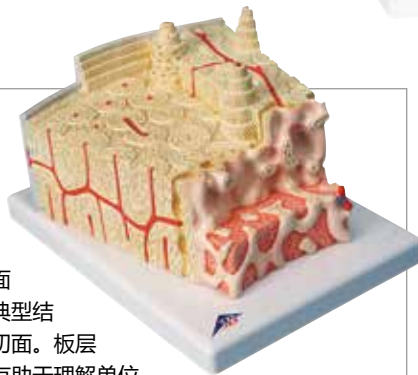
此悬挂支架既可放在地上，又可固定在墙上。

94 cm; 1.7 kg

A18/6 100045



Mini 骨骼模型：包含精确的细节和灵活连接的关节！



MICROanatomy™

微观骨结构模型，放大80倍

此模型展示了部分板层骨，通过各个层次的纵切面和横切面显示出管状骨的典型结构以及骨髓内结构的两级切面。板层骨的典型特征非常明显，有助于理解单位的组成和功能，也称为哈氏系统(Haversian system)。骨骼的各组成部分，如海绵质、致密质、骨内膜、皮质、骨细胞、弗克曼氏管(Volkman canals)和哈弗斯管(Haversian canals)，都可借助这款模型解释得非常清楚。

26 x 19 x 14.5 cm; 0.8 kg

A79 1000154

松质骨模型

此模型展示了骨内松质骨。其细丝状结构受到很多因素影响，如压力、弯曲和扭转。采用创新的微型CT技术，我们成功的重建出一块松质骨精确的三维形态并将其放大100倍。

17 x 17 x 23 cm; 0.29 kg

A99 1009698



骨骼模型

+

骨骼模型灵活连接的优势：

模型采用弹簧灵活安装，允许拉伸进行细节研究，放松后模型会立刻回到正确的解剖位置，彼此相连不松散不变形。



手和前臂骨骼模型*

弹力绳宽松连接，尺骨和桡骨使用金属丝连接。

A40/3 1019369



宽松的足和踝骨模型

(弹性橡皮筋连接)*

此宽松的足和踝骨模型由橡皮筋灵活连接，包含部分胫骨和腓骨，展现出如标本般令人难以置信的逼真细节。

A31/1 1019358



骨骼模型采用尼龙绳连接的优势：

所有独立骨骼结构采用尼龙绳固定在正确的解剖学位置，宽松灵活的连接方式便于进行深入研究。



手掌骨骼模型
由尼龙绳宽松连接。*
A40/2 1019368



足骨骼模型
由尼龙绳宽松连接。*
A30/2 1019356

*请注意：您将随机收到一个左侧或右侧版本。如有大量需求，请打电话给我们了解详情。



骨骼模型采用金属丝连接的优势：

模型关节可以弯曲至您需要的位置以展示活动形态。
并且可以恢复并始终保持自然解剖位置。



手和前臂骨骼模型*
A41 1019370



手骨骼模型
不锈钢丝连接*
A40 1019367



手臂骨骼模型*
A45 1019371



**上肢骨骼模型, 带肩胛骨
和锁骨**
A46 1019377



腿骨骼模型*
A35 1019359



**下肢骨骼模型,
带髌骨***
A36 1019366



足骨骼模型
不锈钢丝连接*
A30 1019355

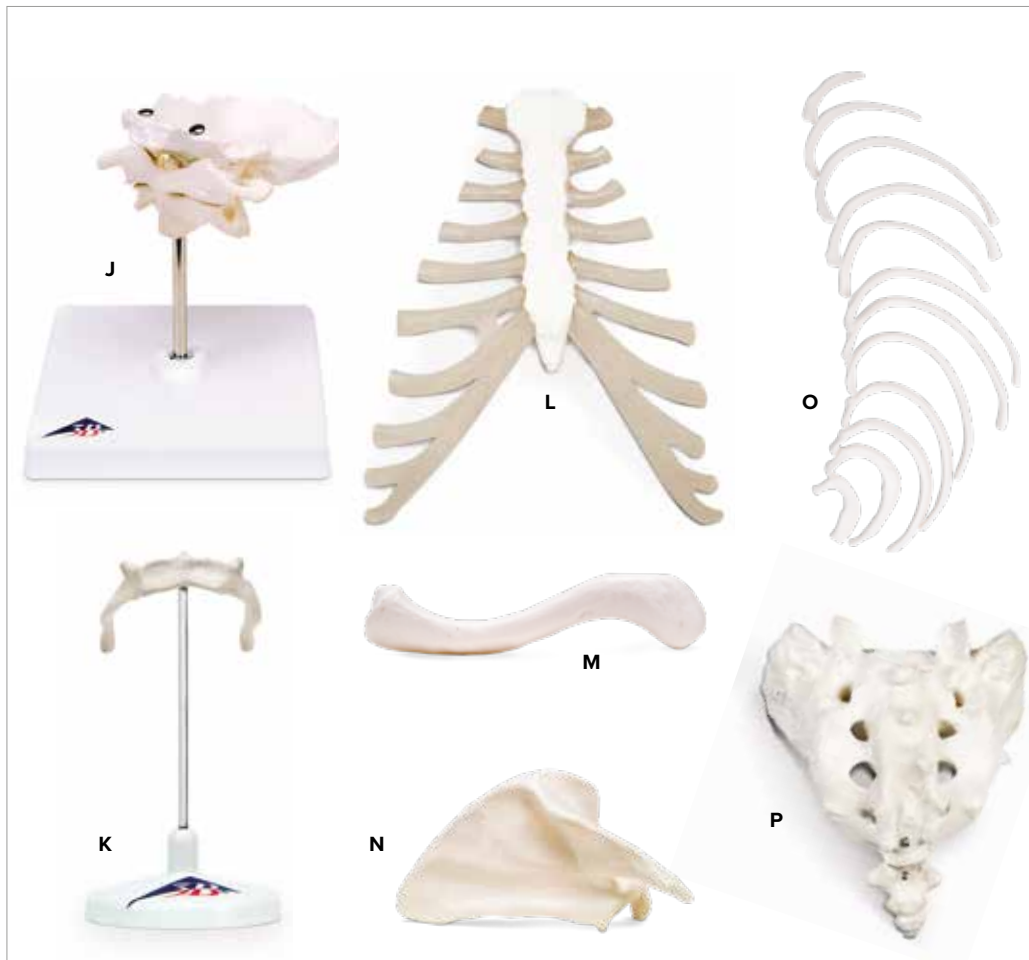
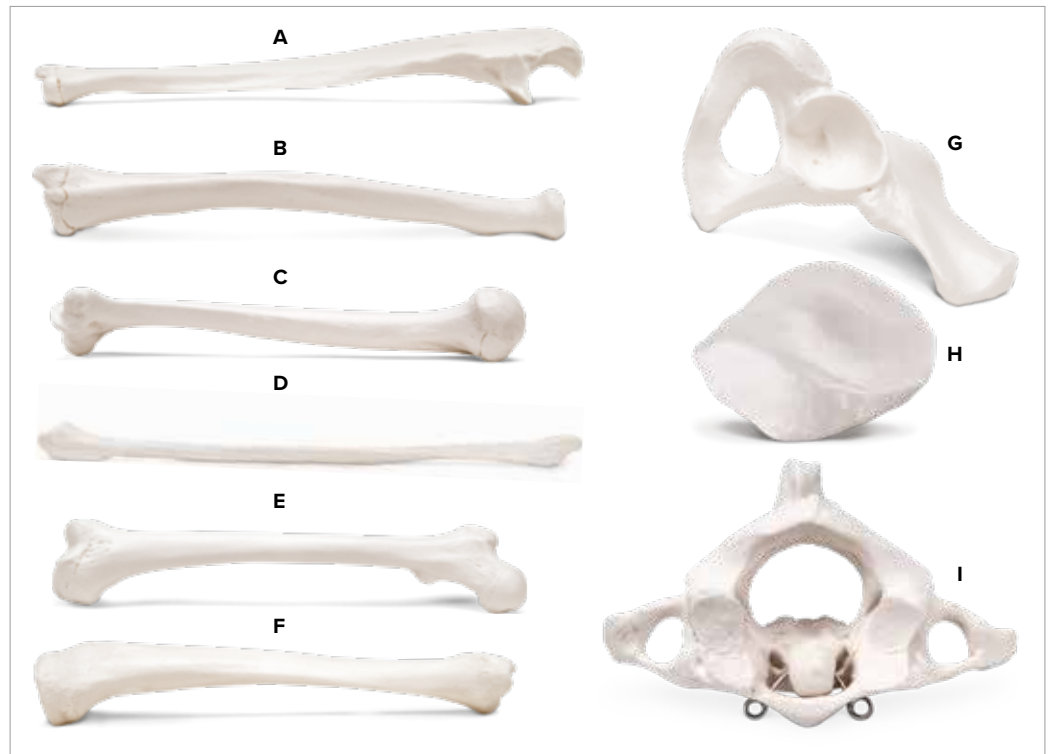


足骨骼模型, 带胫骨和腓骨
不锈钢丝连接*
A31 1019357



*请注意：您将随机收到一个左侧或右侧版本。如有大量需求，请打电话给我们了解详情。

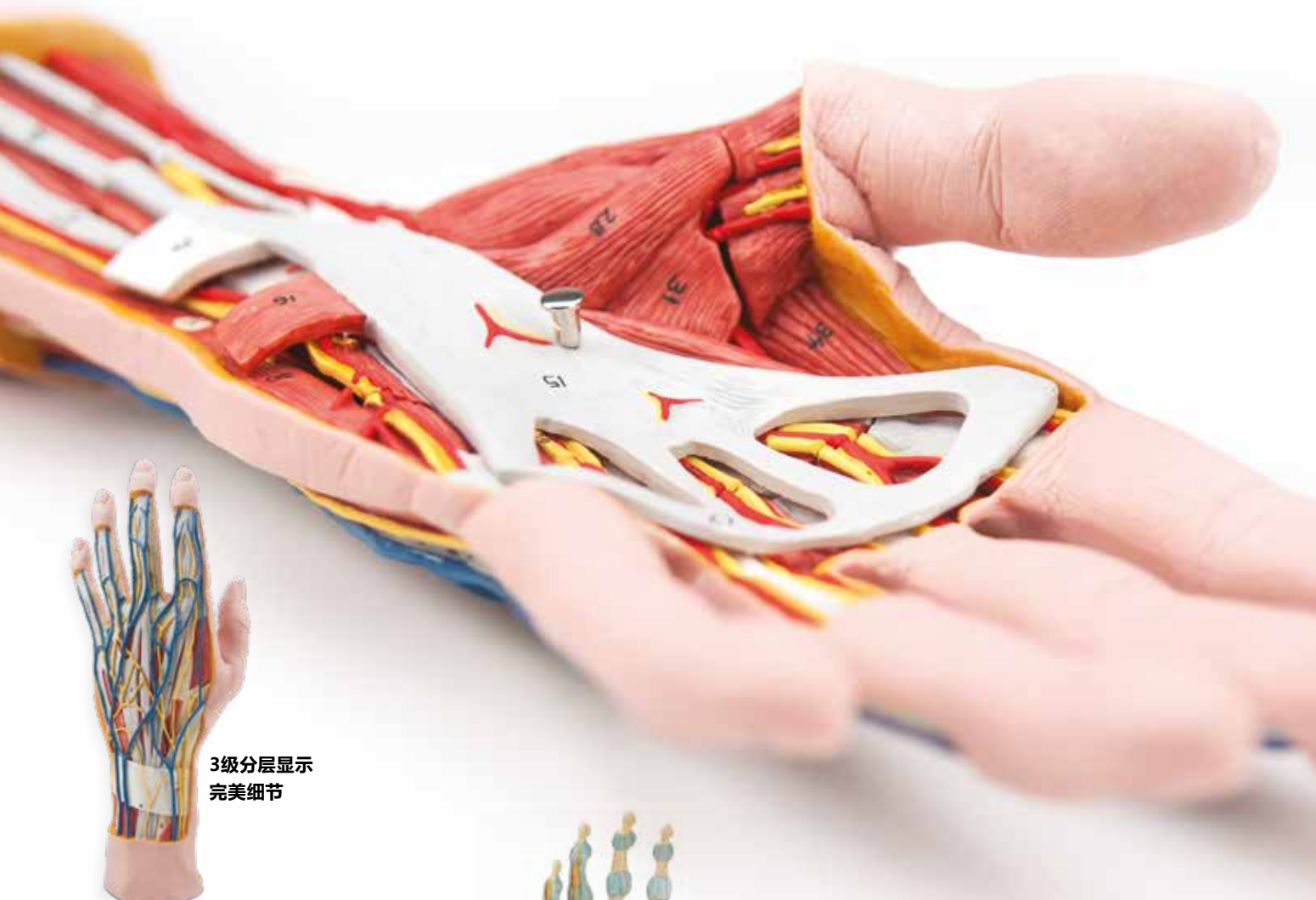
- A. 尺骨*
A45/2 1019373
- B. 桡骨*
A45/3 1019374
- C. 肱骨*
A45/1 1019372
- D. 腓骨*
A35/4 1019364
- E. 股骨*
A35/1 1019360
- F. 胫骨*
A35/3 1019363
- G. 髌骨*
A35/5 1019365
- H. 腓骨*
A35/2 1019362
- I. 环椎和枢椎组合,
不锈钢丝连接
A71 1000140



- J. 环椎和枢椎组合,
带有枕骨片
不锈钢丝连接, 置于可拆卸支
架上。
A71/5 1000142
- K. 舌骨模型
置于支架上。
A71/9 1000143
- L. 胸骨, 带肋软骨
人类胸骨, 带肋软骨。
A69 1000136
- M. 锁骨*
A45/5 1019376
- N. 肩胛骨*
A45/4 1019375
- O. 肋骨*
单侧12根, 无底座。
A69/2 1000137
- P. 骶骨和尾骨
已组装。
A70/6 1000139

手与足模型

品质优良、性价比高、坚固耐用!



3级分层显示
完美细节

手部解剖模型, 3部分

全尺寸手部模型展示出包含指纹在内的逼真细节。呈现出手的表浅和深部结构, 包含骨骼、肌肉、肌腱、韧带、神经、静脉和动脉等(掌浅弓和掌深弓)。掌侧腱膜和板状屈肌腱可以拆卸。

通过3级逐渐深入的分层可以分析手掌内部结构:

- 1级: 掌侧筋膜;
- 2级: 屈肌支持带、掌浅弓、指屈肌腱以及蚓状肌;
- 3级: 掌深弓, 深层的肌肉、神经、肌腱和韧带。

28.5 x 13 x 6.5 cm; 1.2 kg

M18 1000349



手部解剖模型, 带韧带和肌肉, 4部分

模型品质优良, 精确的展示出手的韧带、肌肉、骨骼、肌腱、神经、血管等结构。

所有骨骼、肌肉、筋膜、韧带、神经、肌腱、血管特征:

- 背侧: 伸肌和走行于腕部伸肌支持腱之下的部分肌腱;
- 掌侧: 具有3级可拆卸分层, 便于研究更深层解剖细节(正中神经、表层掌浅弓);
- 深层: 最深层展示了内附肌和掌深弓等解剖结构。

33 x 12 x 12 cm; 0.4 kg

M33/1 1000358



带弹性韧带的手骨骼模型

独立的手部骨骼模型，详细展示出手部韧带的解剖学细节。弹性韧带可展示手腕和手指的灵活性。腕骨(手腕骨)，掌骨(手掌骨)以及指骨(手指骨)都作为骨性结构显示。在前臂区域展示出部分尺骨和桡骨。
14 x 10 x 28 cm; 0.24 kg
M36 1013683

带韧带与腕管结构的手骨骼模型

模型由三部分组成，可显示出手、腕与前臂表浅的韧带与肌腱等各部位的解剖细节。在各个手骨组件中，亦可见到桡骨与尺骨间的骨膜结构。

可拆卸部分：

掌侧屈肌支持带；

腕管结构：包含屈肌支持带、正中神经、肌腱。

30 x 14 x 10 cm; 0.3 kg

M33 1000357



手指内部结构模型

该全尺寸模型展示了人类食指的骨骼、肌肉和肌腱。模型安装在支架上。

19.5 x 13 x 19 cm; 0.5 kg

M19 1000350

具有3层高仿真内部解剖结构!

可拆卸的韧带和肌肉

带韧带和肌肉的足部模型, 6部分

此足部模型包含部分腿部结构, 具有详细逼真的解剖学结构, 可以拆分成6部分进行深入研究, 其包含以下结构: 骨骼、肌肉、肌腱、韧带、神经、动脉、静脉。

足部模型的前视图中具有小腿的伸肌。可以在横韧带和关键的足部韧带之下沿着其通路追踪肌腱, 直到肌止端。此外, 还能观察到足部区域的所有腱鞘。

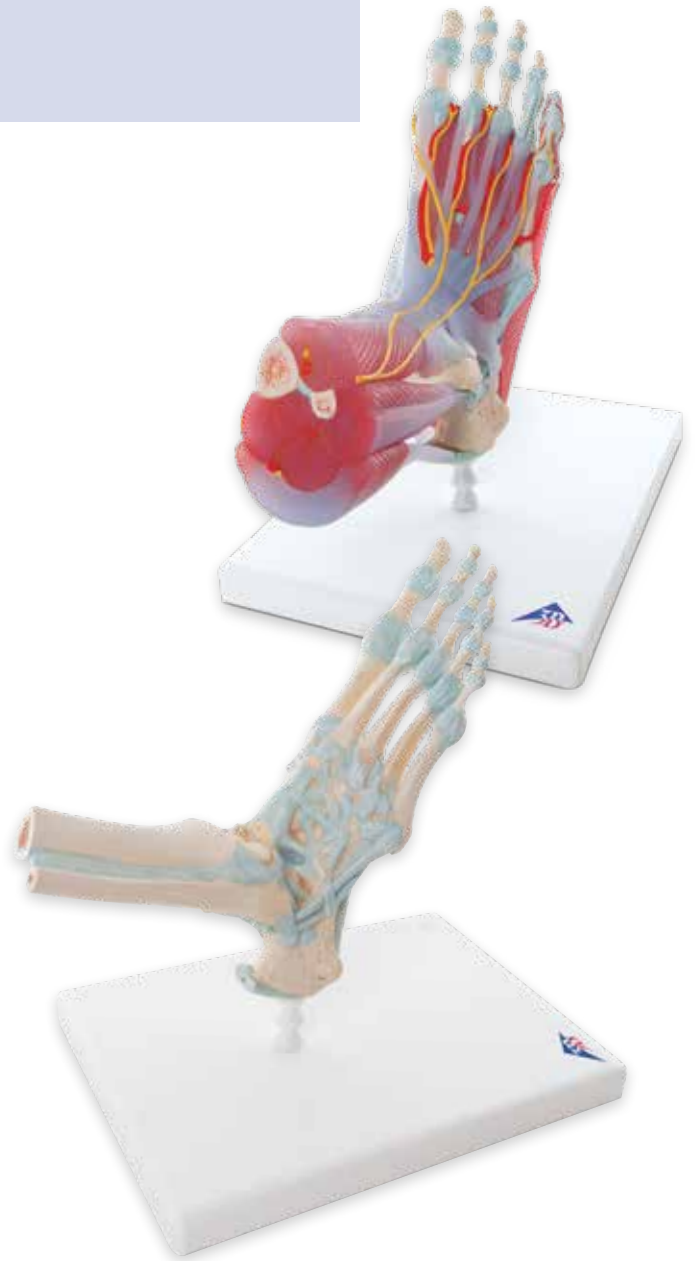
腓肠肌可从足背上取下, 以展示深部的解剖学结构。

脚底呈现为三层:

- 第一个可拆卸层展示的是趾短屈肌
- 第二个可拆卸层包含的是足底方肌、趾长屈肌肌腱以及屈拇肌
- 第三层则展示脚部更为深层的解剖学细节信息

23 x 26 x 19 cm; 1.1 kg

M34/1 1019421



足部骨骼模型, 带韧带

此模型是人类足部和踝部的高品质解剖结构复制品, 展示了所有重要的韧带和肌腱, 包含踝部跟腱和腓骨长肌腱, 以及部分胫骨和腓骨。此外, 还包含骨间膜。

23 x 18 x 30 cm; 0.6 kg

M34 1000359



足踝和足底筋膜模型

此模型为全尺寸大小的固体石膏模型, 展示出跗骨(弹性)韧带筋膜。模型包括以下解剖结构: 胫骨、腓骨、跟骨、跟腱、三角韧带、外侧韧带、足底筋膜、趾骨、楔状骨、骰骨、舟骨和跗骨。

22.9 x 7 x 10.2 cm

1019522

► 用于病人健康教育



单个足部模型

这些高品质的足部模型展示人体足部的表面构造、内部骨骼、肌肉、韧带和神经。

A. 弓形足(高足弓)

13 x 23 x 10 cm; 0.5 kg
M32 1000356

B. 正常足(正常足弓)

13 x 24 x 9 cm; 0.4 kg
M30 1000354

C. 扁平足(平底足)

12 x 24 x 10 cm; 0.4 kg
M31 1000355


► 挂图可作为您最佳的视觉教学工具!



足和踝关节解剖学挂图
塑封装
50 x 67 cm
VR1176L 1001490



手和腕关节解剖学挂图
塑封装
50 x 67 cm
VR1171L 1001484

 **登录官方网站**
3bscientific.com
查看糖尿病足模型
(1017936/1017937)

关节模型

+

用于高级解剖学研究的可拆卸肌肉：

- + 肌肉组织可以被拆卸用于研究附着和走向
- + 所有肌肉组织可以单独研究学习
- + 可用于训练肌肉附着
- + 高度逼真的骨骼和肌肉着色
- + 通过着色和编号显示肌肉起始端和附着端
- + 移除表层肌肉可以进一步深入研究
- + 采用高品质无毒环保材料，坚固耐用

膝关节模型

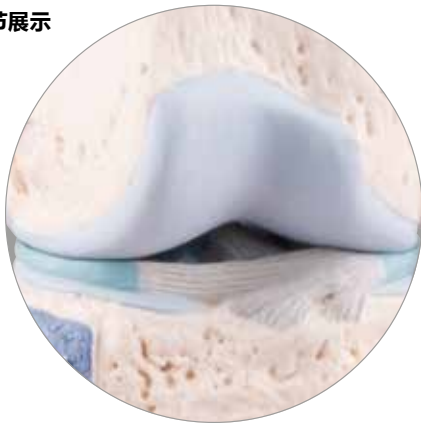
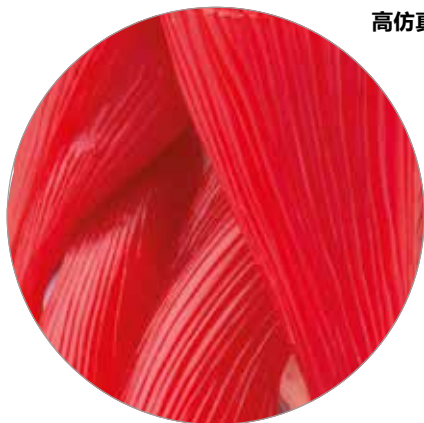
模型有12部分可以拆卸，便于在医疗培训和病人教育中进行详细研究和示范。部分肌肉可以拆卸，用于更深层次的解剖学研究。通过彩色编号和凸起的区域表现肌肉起始端，股骨、胫骨、腓骨等结构。此外，模型展示了部分胫骨和腓骨侧副韧带。

33 x 17 x 17 cm; 0.9 kg

A882 1000178



高仿真细节展示





肘关节模型, 肌肉可拆卸, 8部分

模型为可拆卸肌肉的肘部模型, 再现了人体肘部关节的结构。模型模拟男性右侧手臂, 有独立的肌肉, 在肱骨、桡骨和尺骨上显示肌起端和肌止端。肌肉可从肌起端和肌止端的相应位置安装或取下。为教学的需要, 肌起端和肌止端区域是凸出的, 并采用不同的颜色进行标记。

25 x 41 x 25 cm

A883 1000179



肩关节模型, 带肌腱, 5部分

模型展示出肱骨上端、锁骨和肩胛骨, 以及关节附着的肌肉(肩胛下肌、冈上肌、冈下肌、小圆肌)。彩色绘制肌肉起始端和附着端(红色肌起端, 蓝色附着端), 拆除独立的肌肉可以观察肩关节的所有运动形式:

通过移除四个单独的肌肉, 肩关节的所有动作都可以进行:

• 外展 • 内旋 • 内收 • 外旋

18 x 18 x 24 cm; 0.85 kg

A880 1000176

髋关节模型, 肌肉可拆卸, 7部分

模型显示男性右髋关节个别肌肉及其在股骨与髌骨的起始、终止部位。为了便于教学, 均用颜色标注(肌肉起始端为红色, 肌肉附着端为蓝色)。髋部肌肉安装在相应的起始、终止部位, 并可以卸下。

18 x 32 x 18 cm; 1.9 kg

A881 1000177



迷你肌肉关节套装

模型包含4个关节, 约为真实尺寸的一半, 包括: 髋关节、肘关节(不包含手和腕关节)、肩关节、膝关节。

1019518



包含肌肉和坐骨神经的髋关节模型

全尺寸正常右髋关节, 具有股骨近端和腰椎下段。模型包括: 坐骨神经、臀中肌、臀小肌、髂肌、臀下肌和上盖、闭孔内肌、梨状肌和腰肌、关节囊韧带、L4-L5和骶骨。

18.4 x 12.1 x 25.4 cm

1019505

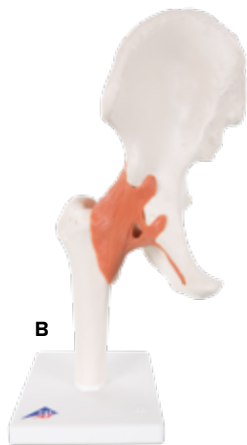
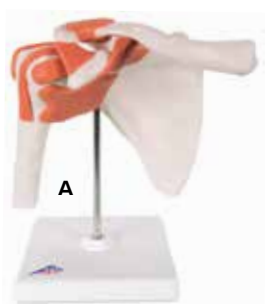


TMJ 颞下颌关节模型

颞下颌关节(TMJ)模型, 用于阐明与关节囊相关的问题。着重观察关节盘、周围骨炎症以及对牙齿的影响(裂纹、蛀牙和夜间磨牙)。

5.2 x 15.2 x 16.5 cm

1019541



展示功能运动!

经典柔韧性关节模型

柔韧性关节模型与豪华型功能性关节模型一样具有优良品质、真实的尺寸和功能性关节，但未采用特殊染色工艺铸造，不具备真实的骨骼颜色，软骨部分未用蓝色染色区分。

A. 肩关节模型

16 x 12 x 20 cm

A80 1000159

B. 腕关节模型

17 x 12 x 33 cm

A81 1000161

C. 膝关节模型

12 x 12 x 34 cm

A82 1000163

D. 肘关节模型

12 x 12 x 39 cm

A83 1000165

展示运动对软骨的影响!

豪华型功能性关节模型

使用这些高品质功能性关节模型可以展示生理活动。借助附着的韧带可以展示以下运动方式：前倾、后倾、外展、内旋、外旋。由于采用特殊染色工艺铸造，因此骨骼颜色自然逼真，关节表面的软骨呈蓝色。所有豪华型功能性关节模型都安装在底座上，便于展示。

E. 肩关节模型

22 cm; 0.41 kg

A80/1 1000160

F. 腕关节模型

32 cm; 0.56 kg

A81/1 1000162

G. 膝关节模型

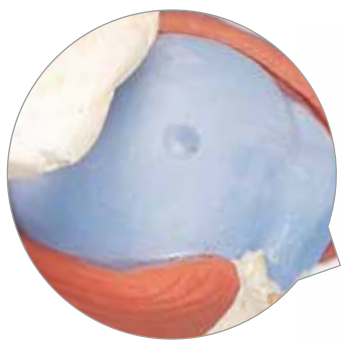
32 cm; 0.55 kg

A82/1 1000164

H. 肘关节模型

33 cm; 0.285 kg

A83/1 1000166



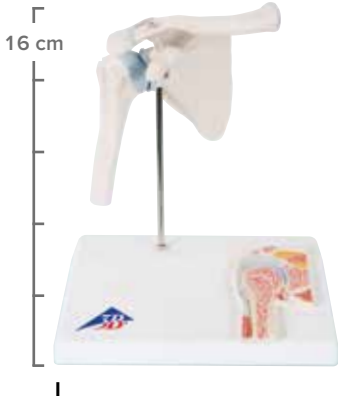
带截面展示的微型关节模型

微型关节模型系列在真实尺寸基础上缩小一半，但仍保持所有功能。底座上加装截面模型，用于展示骨骼内部真实结构。

I. 肩关节模型

12 x 14 x 16 cm

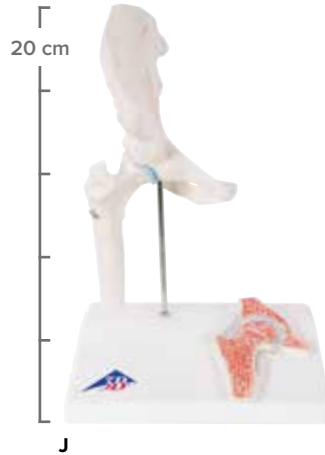
A86/1 1000172



J. 髋关节模型

16 x 12 x 20 cm

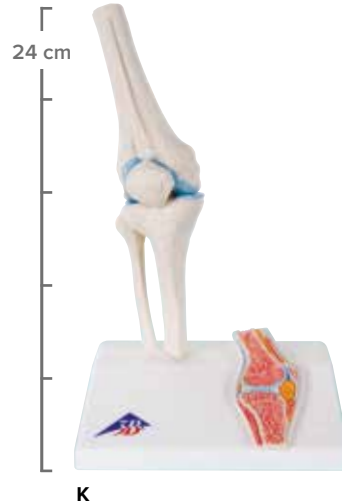
A84/1 1000168



K. 膝关节模型

10 x 14 x 24 cm

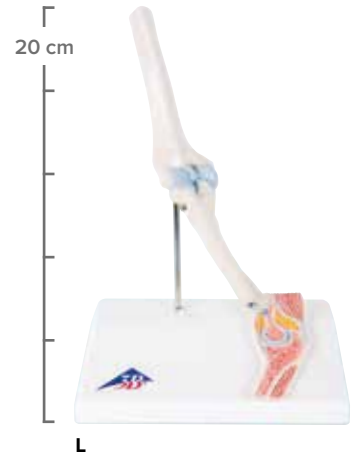
A85/1 1000170



L. 肘关节模型

16 x 12 x 20 cm

A87/1 1000174



使用详细的病理模型加强健康教育!

膝关节截面模型, 3部分

模型与真实尺寸相同, 展示多种膝关节病症。此外, 还提供直立姿势、真实大小的健康右膝关节, 包含股骨、胫骨和腓骨, 以及韧带和髌骨, 连同部分肌腱。模型可拆卸, 显示内部结构。安装在底座上。

12 x 12 x 24 cm, 0.5 kg

A89 1000180



半月板膝盖模型

带6个半月板

全尺寸正常右膝模型, 显示常见的半月板撕裂。显示包括: 水平撕裂、皮瓣撕裂、筒状撕裂、退行性撕裂、径向撕裂、纵向撕裂。

16.5 x 6 x 15.2 cm

1019500

股骨骨折和髋关节骨性关节炎模型

模型为真实尺寸的一半, 显示老年人右髋关节。表现为最常见的股骨骨折以及典型的髋关节磨损和骨性关节炎。底座上加装股骨颈截面部分, 展示内部详细结构。

显示的骨折情况有: 股骨颈中部骨折、股骨颈侧骨折、股骨粗部骨折、股骨粗部下骨折、股骨轴骨折、股骨头骨折、大转子骨折、小转子骨折或撕裂。

14 x 10 x 22 cm; 0.3 kg

A88 1000175



膝盖骨关节炎4阶段模型

4种膝关节模型显示膝关节骨关节炎的分期, 缩小尺寸。说明了膝关节的以下病变: 退行性关节疾病、关节软骨被侵蚀、退行性关节病的进展、关节表面形成骨刺、高级阶段的膝盖关节、额外的关节。

7.6 x 4.44 x 14 cm

1019502

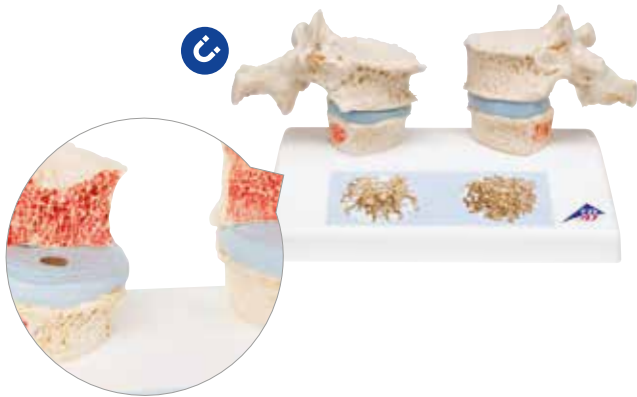


椎骨模型

+

3B Scientific® 人体椎骨模型:

- + 根据真实标本铸造而成
- + 解剖学结构准确
- + 精准细节表现
- + 采用优质耐用材料制作



► 此系列模型为您展示骨量流失!

骨质疏松症模型

模型将正常骨质胸椎和疏松骨质胸椎相比较。左侧模型为第11和第12骨质疏松的胸椎，且椎间盘狭窄。顶层椎骨正中切割通过磁性连接装置相连，移除模块可以观察到内部细节。右侧模型为健康胸椎和椎间盘。此外，底座上附有3D微观骨骼扫描CT图形，将疏松的骨质和正常的骨质细节相比较。因此是医学研究和健康教育的理想工具。

14 x 9 x 10 cm; 0.2 kg

A95 1000182

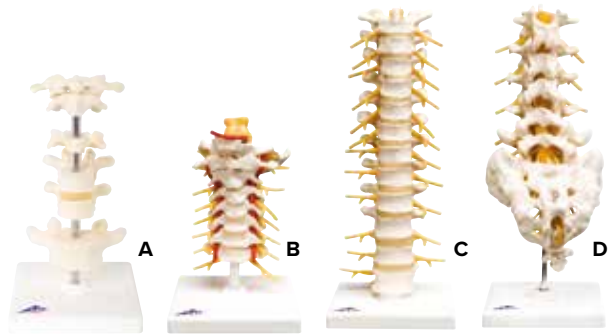
骨质疏松症模型, 3块椎骨

包含3块正中切面的腰椎和椎间盘。

- 顶部: 健康骨骼结构
- 中部: 疏松骨骼结构
- 底部: 带平板变形和压缩物质的后阶段疏松骨骼结构模型可以从支架上拆卸便于进一步研究骨骼细节。

16 cm; 0.25 kg

A78 1000153



A. 6块椎骨模型

包含寰椎、枢椎、颈椎、两个带椎间盘的胸椎骨，以及一个腰椎骨。安装在支架上，可拆卸。

22 cm; 0.5 kg

A75 1000147

C. 胸椎模型

包含12根带椎间盘的胸椎，以及脊神经和椎管，安装在支架上，可拆卸。

32 cm; 0.5 kg

A73 1000145

B. 颈椎模型

包含枕骨板，7个带椎间盘的颈椎骨，以及脊神经、椎动脉和椎管。安装在支架上，可拆卸。

19 cm; 0.3 kg

A72 1000144

D. 腰椎模型

包含5个带椎间盘的腰椎骨，以及骶骨、尾骨、脊神经和椎管。安装在支架上，可拆卸。

34 cm; 0.6 kg

A74 1000146

5块椎骨模型(未展示)

含寰椎、枢椎、另外的颈椎骨、两个胸椎带椎间盘，以及一个腰椎。安装在支架上，可拆卸。

A75/1 1000148

A. 椎间盘突出腰椎模型

模型为L4和L5腰椎，带有成对脊神经、椎管和可以更换的椎间盘。椎间盘表现为中央或背侧突出。模型共包含5部分解剖结构。安装在支架上，可以拆卸。

13 cm; 0.27 kg

A76 1000149



A

B. 3块腰椎模型

灵活安装，正确展示解剖细节。包含脊神经和椎管。

11 cm; 0.15 kg

A76/8 1000151



B

C. 带椎间盘突出2块腰椎模型

此椎骨模型带2块突出的椎间盘，灵活安装。包含脊神经和椎管。

9 x 11 x 9 cm; 0.15 kg

A76/9 1000152



C



腰椎退行性改变5阶段模型

该模型展示出不同程度的腰椎椎体和椎间盘退行性变化。根据真实人体标本铸造而成，准确描绘出真实的骨结构。模型由上至下显示出阶段性改变，由健康腰椎(L1)，椎间盘突出，到腰椎L5严重退行性改变和骨收缩。模型椎骨和椎间盘可以拆卸，安装在支架上展示。

22 cm; 0.5 kg

A795 1000158

椎间盘突出模型

此模型在第3、4腰椎显示椎间盘突出。安装在支架上，可拆卸。

34 cm; 0.55 kg

A76/5 1000150



豪华肌肉颈椎模型

豪华肌肉颈椎模型是一种全尺寸模型，以脑干、枕骨、寰椎、枢椎 C7为特征。模型展示椎间盘突出，T1和T3。这个模型有一个柔软的小脑和右侧臂丛神经。肌肉包括枕下三角、长肌、肩胛提肌、中斜角肌、后斜角肌和前斜角肌。右侧第一肋骨和第二肋骨也有特征，包括软骨。

14 x 16.5 x 25.4 cm

1019511



椎骨病变4阶段模型

模型包含4组椎骨，全尺寸大小，每组由2块椎骨和2个椎间盘组成，显示了以下情况：正常椎骨、椎间盘突出、椎间盘和椎骨退行性病变、晚期骨质疏松、椎骨压缩和骨折。

8.9 x 7 x 7.6 cm

1019512



腰椎退行性改变4阶段模型组

模型与真实骨骼大小相同，展示了L4和L5腰椎4个阶段的退行性改变：

- 正常椎间盘和骨骼
- 小关节综合征，腰椎间盘突出症
- 椎间盘变薄并开始伴有骨刺
- 椎间盘严重变性，并出现骨融合

模型安装在底座上。

8.4 cm; 0.5 kg

W47500 1005866



解剖学抬重物人体模型

该功能模型展示了人体脊柱在正确抬起重物和错误抬起重物时产生的反应。如采用正确的姿势，则脊柱不会发生扭曲。如采用不恰当的姿势，则会使得脊柱产生明显的压力和扭曲。底座上列出了脊柱解剖图。含背景介绍手册。

28 x 21 x 21.5 cm; 1.4 kg

W19007 1005101



3B BONElike™



什么是3B BONElike™ 系列模型?

3B Scientific® BONElike™ 材料无论从外观还是从触感, 都接近于真实骨骼。每块骨骼都按照真实的人类骨骼注塑而成, 重量、触感和外观也与真实骨骼相似。

- 表现出逼真的纹理、颜色以及真实人体骨骼的多孔性特征等细节。
- 它们是真实骨骼的完美替代品。
- 适用于医疗教学和病人健康教育。



› 学习人体脊椎解剖学的最佳途径!



3B BONElike™ 脊椎模型组

在世界上的任何地方您都无法找到如此逼真、如此高品质的骨骼产品。本组产品细节分毫必现, 展示出细致入微的解剖学结构。供货时带有托盘。

30 x 21 x 6 cm; 0.2 kg

A. 3B BONElike™ 颈椎模型, 一套7件

A790 1000021

B. 3B BONElike™ 腰椎模型, 一套5件

A792 1000155

3B BONElike™ 脊椎模型套装, 24块

全球唯一的高质量原骨逼真仿造模型, 可展示解剖组织的所有细节。整套模型由7块颈椎、12块胸椎和5块腰椎组成。

- 采用高级3B BONElike™ 材料制成, 外观手感与真实骨骼极为相似。
- 具有真实骨骼的重量。
- 在医疗教学以及为病人讲解病理时完全可以用来代替真实骨骼。
- 每块椎骨都被标号(CI-VII, TI-XII, LI-V)以便区分。
- 24块骨骼独立分格包装供货。

41 x 40 x 12 cm; 2.4 kg

A793 1000156





3B BONElike™ 脊柱模型

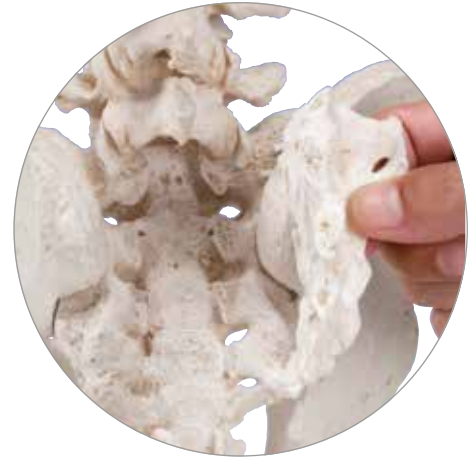
该逼真的人体脊柱模型，可作为3B BONElike™ 系列卓越品质的典范。该原始逼真的骨骼模型，展示了所有解剖学细节，具备与真实骨骼相同的重量和触感。该模型包含男性骨盆和枕骨。枕骨和颈椎骨可分别下。

- 人体脊柱的逼真模型，安装灵活，具有优秀的3B BONElike™ 品质
- 真实再现所有解剖学细节，重量逼真
- 含男性骨盆与枕骨
- 枕骨和寰椎可分别从脊柱上取下
- 非常逼真

支架独立销售，请翻阅本书170页查看。

85 cm; 1.5 kg

A794 1000157



➤ 真实人体脊柱的替代模型!

3B BONElike™ 儿童脊柱模型

对于在解剖学、儿科领域、整形外科以及儿科放射学的研究领域工作的人而言，该5岁孩童真实尺寸的脊柱解剖学模型是极为实用的。本脊柱模型制作所使用的独特的材料，使其在外观上与真正的脊柱没有任何区别。

灵活的脊柱模型，包括枕骨，骨盆和骶尾骨，有支架。在椎管内部，使用柔性材料来代表马尾神经脊髓以及神经根出口。

是学习研究骨骼生长阶段的实用工具:

- 椎骨 - 部分未完全发育的椎骨体和椎弓
- 骶骨 - 独立的骶椎未完全融合。在大约15岁的时候开始
- 骨盆 - 仍然张开的Y形软骨，是髋臼的主要生长面。

髋关节、耻骨和坐骨部分未连接(为了目的，使用支架在模型中固定)。它们会在14-16岁时融合。

14 x 9 x 51 cm; 0.5 kg

A52 1000118



脊柱模型

经典脊椎模型

充分灵活的脊柱模型

所有模型都由极为经久耐用的材料制作而成，具有最高的品质。解剖位置准确，能显示出最为微细的构造。该系列中所有模型，都是灵活的，可进行更加逼真的展示。



经典灵活脊柱模型*

在用于病人教育时最受欢迎，脊柱模型全方位活动，并可手持演示。包含男性骨盆。

74 cm; 1.8 kg

A58/1 1000121



带股骨头的经典活动脊柱模型*

在做病人教育时最受欢迎，脊柱模型全方位活动，并可手持演示。

包含男性骨盆和股骨头。

83 cm; 2.1 kg

A58/2 1000122



*支架单独出售。请参阅第36页了解详情。

教学系列



色彩区分可便于教学，即使在教室中较远的位置也可看清！

脊柱教学模型

该模型的脊柱中5个不同的部分使用不同颜色进行区分：

- 7根颈椎
- 12根胸椎
- 5根腰椎
- 骶骨
- 尾骨

模型采用颜色进行分区，便于解释人类脊柱构造，即使在教室远处也能清晰可见。并且品质优良非常结实耐用。

教学系列中所有脊柱模型均具有如下其他重要特征：

- 便于教学的颜色区分
- 全骨盆和枕骨片
- 整个脊柱完全灵活安装
- 脊柱中L3-L4椎间盘脱出
- 脊神经存在
- 颈椎动脉
- 男性骨盆



带股骨头的教学用活动脊柱模型*

包含男性骨盆和股骨头。

82 cm; 2.1 kg

A58/9 1000129

教学用活动脊柱模型(未展示)*

包含男性骨盆。

74 cm; 1.9 kg

A58/8 1000128





带女性骨盆的经典脊柱模型*

模型除具备经典灵活脊柱模型的特征外，还包含女性骨盆结构。

74 cm; 1.8 kg

A58/4 1000124



带股骨头和着色肌肉的经典灵活脊柱模型*

着色脊柱增加了演示的新角度。左髌骨，股骨和椎骨的肌起端(红色)和附着肌(蓝色)。

所拥有特征如下：

- 男性骨盆
- 手绘肌起端和附着端

不包含支架。

83 cm; 2.1 kg

A58/3 1000123

手工绘制肌起端

带胸廓的经典脊柱模型



为您展示脊柱和肋骨间的连接方式及相互作用！



带肋骨和股骨的经典活动脊柱模型*

带肋骨的可活动脊柱模型能展示脊柱和单根肋骨以及相关结构的相互作用。在经典脊柱模型基础上，增加了胸廓肋骨。

模型包括以下功能：

- 带单根肋骨的完整胸腔
- 全骨盆和枕骨
- 全活安装，便于展示
- L3-L4椎间盘脱出
- 脊柱神经梢
- 颈椎动脉
- 男性骨盆

83 cm; 3 kg

A56/2 1000120

*支架单独出售。请参阅第36页了解详情。

高度灵活的脊柱

+

使用灵活的内芯进行特殊安装，增加了稳定性！

高度灵活系列的脊柱模型使用灵活的内芯专门安装，增加了额外的稳定性。可供展示运动，是医学教学和病患教育极为理想的工具。该脊柱模型极为经久耐用。

高度灵活系列中的脊柱模型还具有其他下列特征：

- 全骨盆和枕骨板
- 整个脊柱完全灵活安装，增加的内芯以增加稳定性
- L3-L4椎间盘脱出
- 脊神经末梢
- 颈椎动脉
- 男性骨盆



柔韧的椎间盘使脊柱
灵活弯曲



带有股骨头的高度弯曲的脊柱模型*

包含男性骨盆和股骨头。

83 cm; 2.3 kg

A59/2 1000131

高度弯曲的脊柱模型(未展示)*

带男性骨盆。

74 cm; 1.4 kg

A59/1 1000130

活动型脊柱模型,带有柔韧椎间盘

柔韧椎间盘增加了更大的现实感。此脊柱模型显示了正常和异常体位时椎间盘的变形。可以用它来展示任何数量的病理状态如脊柱侧凸,脊柱前凸,脊柱后凸和不全脱位。用压缩法可展现疝形成。此外,还包括脊髓和脊神经。模型安装在支架上。

26 x 25 x 90 cm; 3 kg

VB84 1008545



翻阅本书36页，可以查看所有脊柱模型对照指南，便于找到您需要的专属模型。

高级脊柱模型

+

包含骶后孔、开放的脑干等结构，可更深层地研究和学习细节！

相对于经典系列，豪华系列增加了骶后孔和开放的脑干，可供您进一步学习人体脊柱解剖学。

所有的豪华型活动脊柱模型都具有如下特征:

- 开放的骶骨和显露的脑干
- 经久耐用
- 全骨盆和枕骨
- 全灵活安装，便于展示
- L3-L4椎间盘脱出
- 脊柱神经末梢
- 颈椎动脉
- 男性盆骨

♂

豪华型活动脊柱模型，带有股骨头*

包含男性盆骨，带有股骨头。

83 cm; 2.1 kg

A58/6 1000126

豪华型活动脊柱模型(未展示)*

包含男性骨盆。

74 cm; 1.8 kg

A58/5 1000125

♂

带股骨头和着色肌肉的豪华型活动脊柱模型*

- 男性盆骨，带有股骨头
- 左侧髌骨、股骨和腰椎骨上有手绘的肌肉起止点

83 cm; 2.1 kg

A58/7 1000127

*支架单独出售。请参阅第36页了解详情。



产品型号	活动脊柱模型			经典脊柱模型				教学脊柱模型	
	1008545 VB84	1000130 A59/1	1000131 A59/2	1000123 A58/3	1000124 A58/4	1000121 A58/1	1000122 A58/2	1000128 A58/8	1000129 A58/9
页码	34	34	34	33	33	32	32	32	32
顶级品质天然铸造	✓	✓	✓	✓	✓	✓	✓	✓	✓
最终手工组装完成	✓	✓	✓	✓	✓	✓	✓	✓	✓
经久耐用、不易破损的合成材料	✓	✓	✓	✓	✓	✓	✓	✓	✓
真实尺寸	✓	✓	✓	✓	✓	✓	✓	✓	✓
软质椎间盘	✓	✓	✓	✓	✓	✓	✓	✓	✓
L3-L4椎间盘突出	-	✓	✓	✓	✓	✓	✓	✓	✓
可高度弯曲	✓	✓	✓	-	-	-	-	-	-
灵活的脊柱	✓	✓	✓	✓	✓	✓	✓	✓	✓
手工绘制肌起端和附着端	-	-	-	✓	-	-	-	-	-
脊髓神经和血管	✓	✓	✓	✓	✓	✓	✓	✓	✓
腕部近乎自然的活动	-	-	✓	✓	-	-	✓	-	✓
男性骨盆	✓	✓	✓	✓	-	✓	✓	✓	✓
女性骨盆	-	-	-	-	✓	-	-	-	-
带有胸腔	-	-	-	-	-	-	-	-	-
带有股骨	-	-	✓	✓	-	-	✓	-	✓
3B BONElike™ 材质	-	-	-	-	-	-	-	-	-

迷你脊柱模型

▶ 结构准确，比正常尺寸小。
可放在您的课桌上或作为礼物！

迷你人类脊柱模型

迷你脊柱模型包括枕骨、椎间盘和骨盆。装配灵活，可用于演示脊柱的自然活动和脊柱的病理学变化。

迷你人类脊柱模型，不带底座，40 cm
A18/20 1000042

迷你人类脊柱模型，带底座，44 cm
A18/21 1000043



多功能脊柱模型架，3部分

可置放在地面上，或固定于墙上，采用镀镍钢制成。高86cm，底部方形支架边长24cm。

0.75 kg

A59/8 1000132



高级脊柱模型			带胸腔的经典 脊柱模型	3B BONElike™ 脊柱模型		迷你脊柱模型	
1000126 A58/6	1000127 A58/7	1000125 A58/5	1000120 A56/2	1000118 A52	1000157 A794	1000042 A18/20	1000043 A18/21
35	35	35	33	31	31	36	36
✓	✓	✓	✓	✓	✓	✓	✓
✓	✓	✓	✓	✓	✓	✓	✓
✓	✓	✓	✓	✓	✓	✓	✓
✓	✓	✓	✓	✓	✓	-	-
✓	✓	✓	✓	✓	✓	✓	✓
✓	✓	✓	✓	-	-	-	-
-	-	-	-	-	-	-	-
✓	✓	✓	✓	-	✓	✓	✓
-	✓	-	-	-	-	-	-
✓	✓	✓	✓	-	-	✓	✓
✓	✓	✓	✓	-	✓	✓	✓
✓	✓	✓	✓	-	-	-	-
✓	✓	✓	✓	-	✓	✓	✓
-	-	-	-	-	-	-	-
-	-	-	✓	-	-	-	-
✓	✓	-	✓	-	-	-	-
-	-	-	-	✓	✓	-	-



脊柱挂图

该人体脊柱解剖学挂图完美呈现了人类脊柱的详细信息。包含精确的细节展示，并将常见病症——列举，例如骨质疏松症、脊柱侧弯以及椎间盘突出症等。

塑封 50 x 67 cm

VR1152L 1001480

**可登陆官方网站
3bscientific.com
或翻阅本书第108页获取
更多挂图。**

品质优良，结实耐用

骨盆和骨盆骨骼模型

+

骨盆和骨盆骨骼模型:

- + 根据真实标本铸造
- + 精细的解剖结构
- + 采用结实耐用的材料制作



男性骨盆模型

由髌骨、骶骨、尾骨和2块腰椎以及可活动的耻骨联合组成。
18 x 28 x 23 cm;
0.8 kg

A60 1000133



女性骨盆模型

由髌骨、骶骨、尾骨和2块腰椎以及可活动的耻骨联合组成。

19 x 25 x 10 cm; 0.9 kg

A61 1000134

3B Scientifics 新款“Bungee”系列女性骨盆模型

根据真实女性骨盆制造，每一部分骨骼结构都灵活安装，并且很容易拆卸。有包含股骨及股骨头的骨盆。这些模型完美的将骨盆关节结构呈现出来。非常适合用于病人的健康教育，同时也是助产士、妇产科、骨科等科室的学习工具。



女性骨盆，带可拆卸的股骨头

由髌骨、骶骨、尾骨和2块腰椎以及可活动的耻骨联合组成。两侧有活动的部分股骨。

30 x 30 x 20 cm; 1.2 kg

A62 1000135

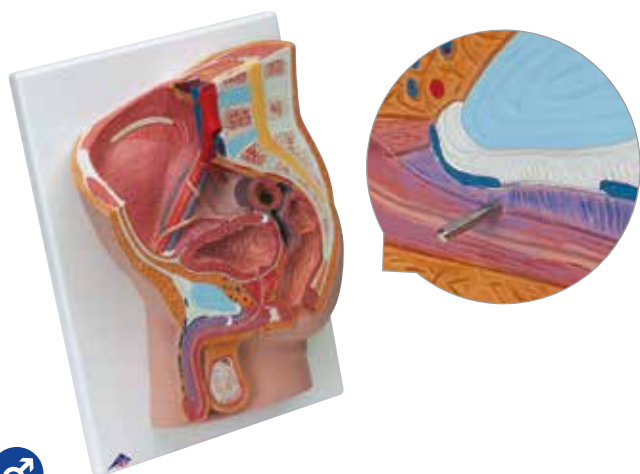


灵活的女性骨盆与股骨
1019865



灵活的女性骨盆
1019864

理想的教学工具!

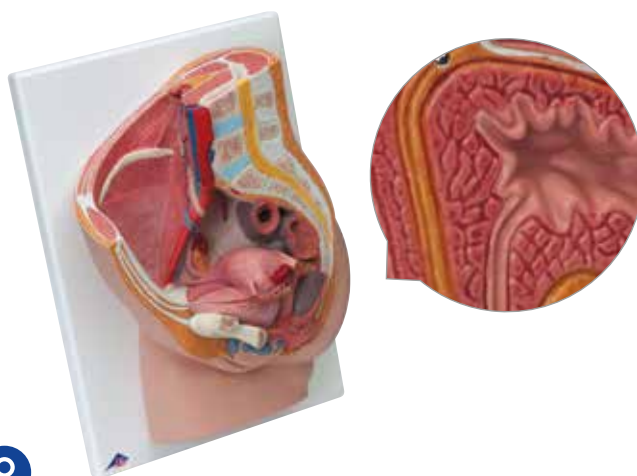


男性骨盆模型, 2部分

男性骨盆模型, 以正中切面展示。生殖器、膀胱和直肠的一半可拆卸, 另一半在骨盆的正常位置展现。拆卸的直肠与膀胱可以查看内部细节结构。模型安装在底座上, 也可悬挂在墙上。

41 x 31 x 17cm; 2.5 kg

H11 1000282



女性骨盆模型, 2部分

女性骨盆模型, 以正中切面展示。生殖器、膀胱和直肠的一半可拆卸, 另一半在骨盆的正常位置展现。能够清晰的观察到内部解剖细节结构。模型安装在底座上, 也可悬挂在墙上。

41 x 31 x 20 cm; 2.2 kg

H10 1000281

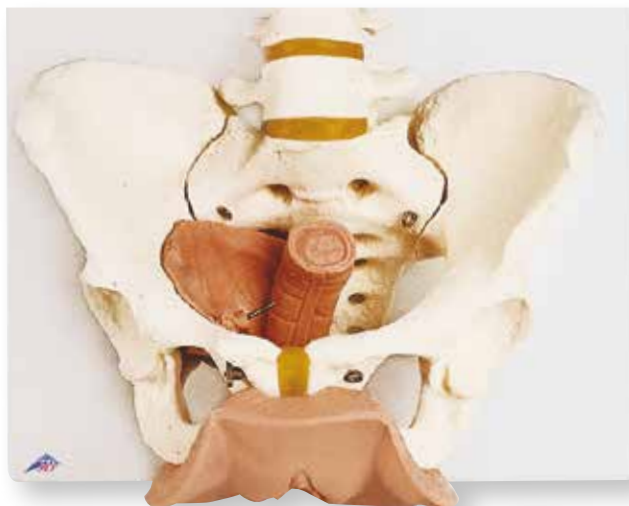
由经久耐用的软质乙烯基材料模制而成!

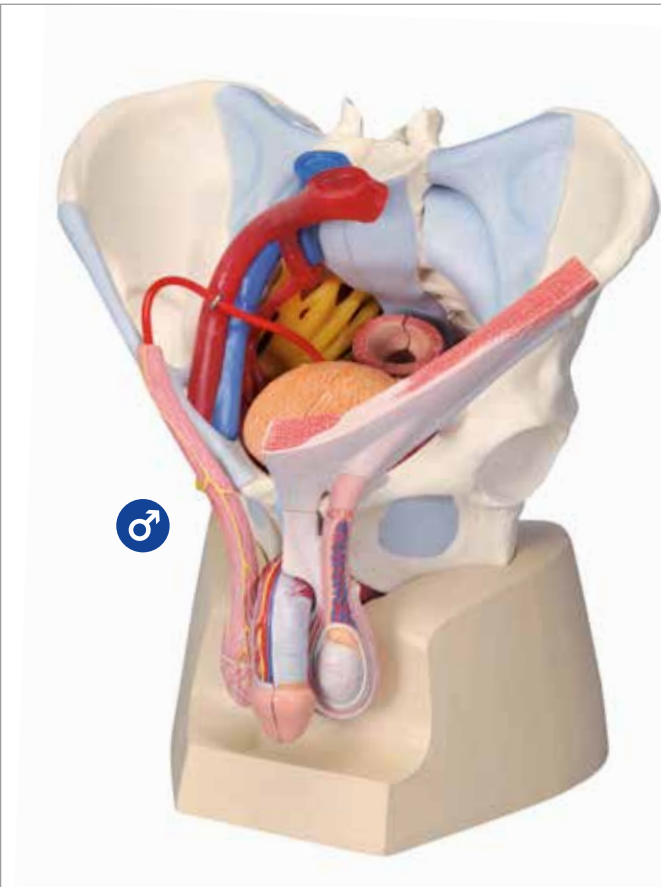
女性骨盆与生殖器模型, 3部分

此模型特别适用于研究女性生殖器官在骨盆中的位置, 软组织采用结实耐用的乙烯基材料制造。它由自然铸造的骨盆结构, 和可活动的耻骨联合、髌骨、骶骨、尾骨以及第四、第五腰椎组成, 还包含女性生殖器以及部分直肠。部分带卵巢的子宫和膀胱可拆卸。

33 x 26 x 18 cm; 2.0 kg

L31 1000335





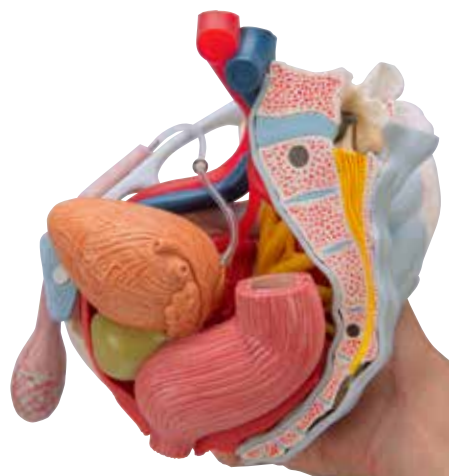
男性骨盆模型, 7部分 (带韧带、血管、神经、盆底肌及器官)

该男性骨盆模型由7部分组成, 准确地展示出了骨骼、韧带和盆底肌之间的相互关系。该模型正中矢状分为左右两部分, 使用磁力相互连接, 能够很方便地一分为二进行详细观察。骨盆的右边展示了肛门外括约肌、直肠、膀胱、前列腺和阴茎。可以从阴茎和阴囊上取下皮肤层, 进一步看到血管、神经和内部构造。模型注明了120多个解剖构造。带有牢固的底座, 以供展示使用。

- 采用磁性连接方便拆分
- 所有结构都符合解剖学标准
- 采用坚固耐用, 并且安全环保的材料制造

21 x 28 x 31 cm; 3.1 kg

H21/3 1013282



容易拆卸
方便细节学习



含韧带的男性骨盆模型, 2部分

该模型由2部分组成, 根据男性骨盆翻制而成。模型展示了解剖学构造的全部细节: 两侧髋关节、耻骨联合、骶骨和尾骨以及带椎间盘的第五腰椎。模型具有矢状截面, 将第五腰椎、骶骨、尾骨分为左右两部分, 并通过磁力连接在一起。分开骨盆可以看到椎管中的马尾部分。此外, 模型还展示了骨盆韧带: 腹股沟韧带、骶结节韧带、骶棘韧带、髂骶前韧带、髂腰韧带、前纵韧带、棘上韧带、骶髂骨间韧带、髂髂骨后韧带、骶尾外侧韧带、骶尾后浅韧带、闭锁膜以及腔隙韧带等。

19 x 28 x 24.5 cm; 1.66 kg

H21/2 1013281



男性骨盆骨骼模型, 3部分

此模型与H21/2具有相同的特征, 但不包含韧带, 第五腰椎的左半部通过磁铁连接, 可以移除观察。

19 x 28 x 24.5 cm; 1.35 kg

H21/1 1013026

► 最全面的女性骨盆模型!

女性骨盆模型, 6部分

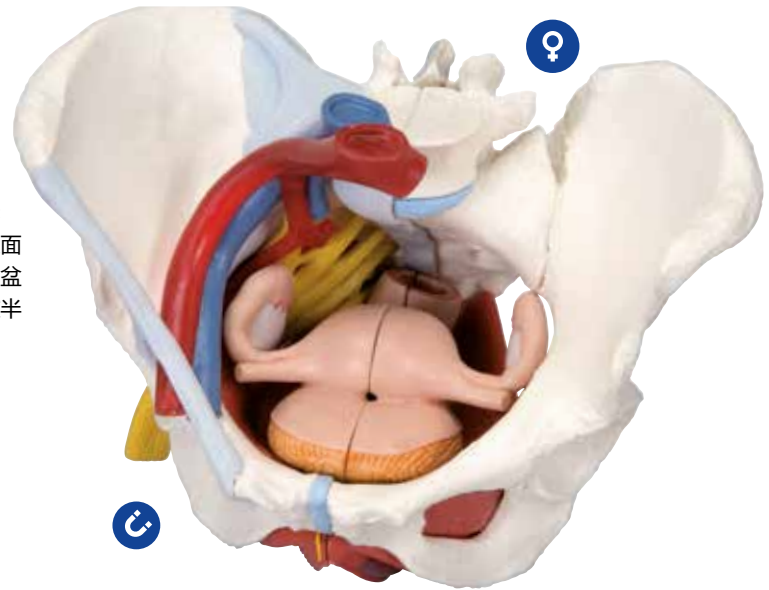
(带韧带、血管、神经、盆底肌群及各个器官)

此女性骨盆模型能在局部解剖学方面显示出骨、韧带、脉管、神经、骨盆肌肉以及女性盆腔内器官等各种解剖细节的组成。该模型在正中矢状面上显示骨盆底整体结构, 即肛门括约肌、尿道外括约肌、会阴浅横肌、会阴深横肌与球海绵体肌等, 并且各个部位均可拆卸。直肠、连带输卵管与卵巢的子宫以及阴道等结构亦可沿正中矢状面拆卸为两半部分。模型通过第五腰椎、骶骨与尾骨的正中矢状面将骨盆分为左右两半部分, 并能显示椎管中的马尾成分。第五腰椎椎体的左半部可以拆下。模型的右半部分可显示骨盆韧带。

- 模型磁性连接, 方便拆卸进行细节观察
- 通过饱满的色彩将各部分区分, 使复杂的解剖结构变得清晰易懂
- 采用坚固耐用, 安全环保材料制造

19 x 27 x 19 cm; 1.6 kg

H20/4 1000288



展示详细的骨盆肌肉群



女性骨盆模型(带韧带、肌群及器官), 4部分

该女性骨盆模型由4部分组成, 能显示骨骼、韧带、骨盆肌肉以及女性盆腔内器官等的局部解剖细节结构。模型的右半部可见附有骨盆韧带的骨结构。此外, 该骨盆模型的左半部能显示骨盆的肌群解剖情况, 如: 提肛肌、坐骨海绵体肌、会阴浅横肌、会阴深横肌、肛门括约肌以及尿道外括约肌等。移开球海绵体肌, 即可显示出前庭球与前庭球腺的结构。在模型的正中矢状面上, 可见膀胱、阴道、子宫与直肠的结构, 移开这些结构可以观察尿道、阴道与直肠开口范围内骨盆底肌肉的相互关系。

19 x 27 x 19 cm; 1.3 kg

H20/3 1000287

含韧带的女性骨盆模型, 3部分

该模型由3部分组成, 以女性骨盆骨骼为模板而制成, 可显示所有相应的解剖细节结构, 如: 两侧髌骨、耻骨联合、骶骨、尾骨以及带有椎间盘的第五腰椎等。模型通过第五腰椎、骶骨与尾骨的矢状面将骨盆分为左右两半部分, 并能显示椎管中的马尾成分。第五腰椎的左半部可被拆下。模型的右半部分可显示各个骨盆韧带即腹股沟韧带、骶结节韧带、骶棘韧带、骶髂前韧带、髂腰韧带、前纵韧带、骶髂骨间韧带、骶髂后韧带, 以及闭孔膜等结构。

19 x 27 x 19 cm; 1.0 kg

H20/2 1000286



女性骨盆模型, 3部分

此模型与H20/2具有相同的特征, 但不包含韧带, 第五腰椎的左半部通过磁铁连接, 可以移除观察。

19 x 27 x 19 cm; 0.9 kg

H20/1 1000285

颅骨模型

+

所有3B Scientific® 人类颅骨模型，都由真实的标本铸造而成，确保了逼真的细节以及解剖学的准确性。您将会亲自见证在每天使用的情况下，这些模型兼具结构精细与经久耐用之双重优势。

- + 解剖学细节准确
- + 根据真实标本铸造而成
- + 每颗牙齿都分别铸造并插入，以供展示逼真的齿列
- + 经久耐用的无毒材料



简单的磁性连接，使拆卸示范更加快速便捷。

所有经典系列的颅骨模型还具有如下特征：

- 高度精确地展示了骨缝、小孔、突起等
- 下颌骨采用弹簧安装在颅模型上，便于演示
- 展示最逼真的下颌自然运动
- 高品质还原真实颅骨
- 坚固不碎的硬塑料手工制作



外观细节表现

高度仿生细节!

经典颅骨模型, 3部分

使用这款由3部分组成的标准版颅骨模型进行解剖学研究或作为医学礼物都是非常理想的选择。

它可以很容易的打开颅盖骨观察内部结构，并且拆分为颅盖、颅底、下颌。

20 x 13.5 x 15.5 cm; 0.6 kg

A20 1020159



带编号的经典颅骨模型, 3部分

具有编号的经典颅骨模型，由3部分组成。所有重要的解剖结构均用颜色显示。除了经典颅骨模型所具有的特征之外，该模型还具备了手工着色和编号，不同的骨骼以及骨板的缝线等特征都进行了重点强调，从而便于识别所有重要的解剖学结构。该颅骨模型配备一份指导说明，列出了所有编号部分的名称。

20 x 13.5 x 15.5 cm; 0.7 kg

A21 1020165



手工着色和编号

着色肌肉的经典颅骨模型, 3部分

模型除了具备经典颅骨模型的所有特征外，还通过手绘表现了肌肉起始端和附着端。左半边头颅用色彩标明，肌起端(红色)及肌止端(蓝色)。右边用数字标明颅骨结构。此颅模型逼真再现了140多个解剖细节。下颌采用弹簧连接，可以表现真实的下颌运动。是一款优质精细的教学工具。

20 x 13.4 x 15 cm; 0.7 kg

A23 1020168



经典颅骨模型, 带5部分软质脑组织

该模型由5部分组成, 大脑模型正中矢状分开, 由真实的标本铸造而成, 具有解剖学准确性和丰富的细节。

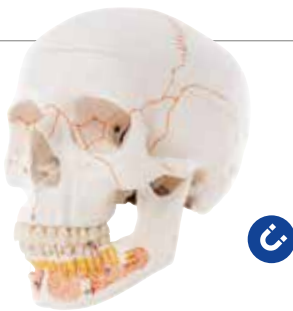
左侧大脑可拆分成以下部分:

- 额叶和顶叶
- 颞枕叶
- 脑干
- 小脑

颅骨与大脑均由极为经久耐用的无毒材料制作而成, 确保使用的安全性!

20 x 13.5 x 15.5 cm; 1.1 kg

A20/9 1020162



带有开放下颌的经典颅骨模型, 3部分

这款模型除包含经典颅骨模型的全部特征外, 还带有开放的下颌, 展现了带有血管和神经的牙根。颅骨、骨成分、裂隙、孔及其它结构均用数字标明, 非常适用于牙科教学。颅结构用色彩标明, 同时还标明脑膜血管和静脉窦。此外, 还配有教学指南, 指明100多个解剖要点。

20 x 13.5 x 15.5 cm; 0.7 kg

A22 1020166

演示咀嚼肌功能



带有咀嚼肌的功能性颅模型, 2部分

除了经典的颅骨模型所具备的功能特征外, 还包括咀嚼肌(咬肌、颞肌、中侧翼状肌)。下颌采用耐用的弹性带连接, 可以展示下颌运动, 如: 演示下颌开合时咀嚼肌功能, 下颌打开的初始阶段以及下颌向旁边和向前的运动。颅盖可拆卸。模型根据真实标本注模而成, 保证解剖结构精确。

20 x 13.5 x 15.5 cm; 0.7 kg

A24 1020169



登录官方网站 3bscientific.com
可以查看更多细节图片

带有开放下颌的经典着色颅骨模型, 3部分

模型左半边显示了肌起端(红色)和肌止端(蓝色)。此豪华版颅骨模型集经典颅骨系列的特征于一身! 是综合的教学工具, 展示了颅骨的解剖学结构。

包含以下特征:

- 手工绘制肌起端和肌止端
- 可打开的下颌, 包含露出的牙根、血管和神经
- 对各个部分进行编号, 便于识别
- 重点突出骨板的缝线
- 独立铸造和可插入的牙齿
- 3部分组成的颅骨, 易于拆卸观察
- 高品质、经久耐用的材料, 可满足每日使用的要求
- 可移动的下颌

20 x 13.5 x 15.5 cm; 0.7 kg

A22/1 1020167



专业教学颅骨模型

带颈椎的人类颅骨模型, 4部分

此模型展现颅骨各个骨片的形状和关联。立于颈椎上并能灵活移动(C1, C2和C7颈椎在专业教学版中着色)以便更好的展示相互关系。模型完整地展示了后脑、脊髓、颈椎神经、椎动脉、基底动脉、大脑后动脉。

该颅骨模型遵照最高质量标准生产制造:

- 采用真实人类颅骨扫描铸造而成, 解剖学准确
- 由极为经久耐用、无毒的塑料材料手工制作而成
- 高度准确地展示了裂隙, 椎间孔
- 磁性连接: 可便捷地拆颅顶、颅底及下颌骨
- 单独铸造和可插入的牙齿

带颈椎的人类颅骨模型, 4部分

此模型采用19种豪华色彩来展现头颅各种骨片的形状和关联。安装在支架上。

17.5 x 17.5 x 30 cm; 0.6 kg

A20/2 1020161



带颈椎的自然色人类颅骨模型, 4部分

此模型采用自然色展示颅骨各部分结构和阴影。安装在支架上。

20 x 13.5 x 15.5 cm; 0.6 kg

A20/1 1020160



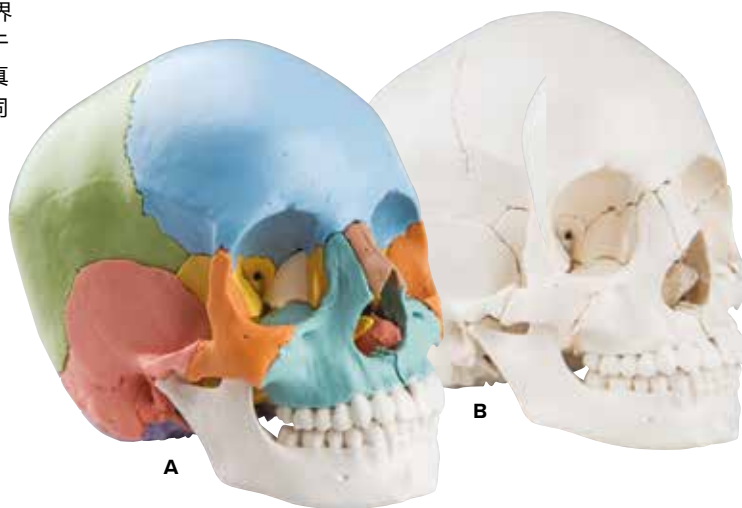
最有效的学习方法:
理论与实践相结合。

成人颅骨模型, 22部分

这种高品质自然模型是由耐用的且尺寸稳定的材料制造而成, 非常清楚的展示了结构复杂的人类头颅。通过使用坚固不显眼的连接器, 22块个体骨头可以牢固和精确地组装到界定明确的颅骨缝。这意味着头颅在使用时不会散开, 有别于其他带磁性连接器的不稳定模型。完美的交错缝合非常逼真地展示了一个真正的人类头颅的粘合。为易于识别各种不同的头, 已采用9种不同颜色进行了染色, 颜色持久以用于教学目的。成对骨板颜色相同。

颅骨可拆分为以下22部分:

- | | |
|---------------|------------|
| • 顶骨(左, 右) | • 枕骨 |
| • 额骨 | • 颞骨(左, 右) |
| • 蝶骨 | • 筛骨 |
| • 犁骨 | • 颧骨(左, 右) |
| • 上颌与牙齿(左, 右) | • 腭骨(左, 右) |
| • 鼻甲骨(左, 右) | • 泪骨(左, 右) |
| • 鼻骨(左, 右) | • 带牙齿下颌 |



A. 彩色成人颅骨模型, 22部分

模型共有22部分, 采用9种颜色染色, 使得每个头骨更容易区分。

21 x 14 x 16 cm; 0.7 kg

A291 1000069

B. 自然色成人颅骨模型, 22部分

模型共有22部分, 与专业彩色版具有相同特征, 但采用天然颅骨颜色, 使外观更加逼真。

21 x 14 x 16 cm; 0.7 kg

A290 1000068

豪华版人类牙科展示颅骨模型, 10部分

模型具备卓越的品质和精确的解剖细节!

颅顶可取下, 颅底从正中矢状缝分开, 使用该模型可使人体颅骨解剖学的学习与教学更加简便。

该模型具备以下详细特征, 可打开查看内部结构:

- 额窦、垂直板和犁骨可打开, 以查看鼻腔侧壁以及蝶窦
- 左侧颞骨在骨膜区域可取下并折叠起来
- 颅骨的上颌骨和下颌骨打开, 以展示牙槽神经
- 颞骨的右侧打开, 以展示乙状窦、面神经管以及半规管
- 在上颌骨窦的右侧以及下颌骨的右半边皮瓣悬垂, 可见下颌的前磨牙和磨牙的齿根

各个牙齿可自然咬合并可独立取下或更换, 是极富价值的牙科用模型。其可作为牙科的颅骨模型使用, 也可在其他用途中使用。使用该模型, 易于进行人体颅骨解剖学的教学。

28 x 22.5 x 18.5 cm; 1.5 kg

A27 100059



带神经和血管的颅骨模型

实物大小的成人颅骨模型带有七块颈椎骨, 安装在支架上。模型右侧展示出动脉, 左侧展示出神经。颅顶骨可以拆卸, 展现出颅底主要的动脉与神经。使用此模型, 可以证明12根大脑神经及其分支。

17 x 16 x 30 cm; 1.3 kg

W19018 1005108



带面部肌肉的颅骨模型

使用这款高品质的带咀嚼肌的颅骨模型可以非常容易的展示颞下颌紊乱等功能性障碍的病因。模型具备精确的解剖学结构, 采用结实耐磨损材料制造。右半面展示了面部特征和咀嚼肌分布。使用了两种不同的颜色非常方便又精确地将面部肌肉与咀嚼肌加以区分。左半面使用不同颜色展示肌起端和肌止端(肌起端: 红色; 肌止端: 蓝色)。下颌骨可以运动, 因为肌肉是灵活的, 因此可对基本的咀嚼运动进行展示。模型根据真实人类颅骨扫描铸造, 德国原装进口。

18 x 18 x 25 cm; 1.08 kg

A300 1020181



3B BONElike™ 系列模型为您展现无与伦比的高仿真细节!

3B BONElike™ 豪华版半透明颅骨模型, 7部分

此模型为全球独一无二的高品质教学模型, 半透明设计以及精确的结构可以为您解答颅骨解剖学相关的所有问题。

它的特殊教学价值在于它能够将透明半边的可视结构转移至另一边骨质结构处进行分析。通过右边半透明处可以观察内部鼻窦结构, 内部结构通过不同颜色区分, 便于定位学习。

- 透明设计有助于了解颅骨内部解剖结构
- 鼻窦和动脉染色便于区分
- 很容易的分为7部分进行细节研究
- 3B BONElike™ 材质仿真度极高

通过透明的右半颅骨, 你可以很容易地找到副鼻窦和颅窦, 以及颈部和面部的动脉, 这些结构通过颜色区分, 易于识别。通过透明颅顶骨可以看到内部大脑和窦道。透明下颌可以观察到牙周和牙根。下颌灵活安装, 可以展示咀嚼运动。模型带有颈椎, 安装在支架上, 可拆卸为两半颅顶骨, 左半颅底、鼻中隔、完整下颌骨和半个大脑。

18 x 18 x 34 cm; 0.86 kg

A283 1000064



3B BONElike™ 半透明颅骨模型, 8部分

一半透明和一半骨质相结合的颅骨模型实现了其它颅骨模型无法展现的结构。右半透明颅骨可用于研究重要的解剖细节, 如鼻窦的位置等。与左边颅骨相结合, 可以对比学习。透明下颌骨可以清晰地显示牙周和牙根。牙齿可拆卸作详细研究。此外, 外咀嚼肌(咬肌、颞肌)在骨质一侧显示。为了演示咀嚼肌运动, 下颌灵活安装。这些特点对牙科医生研究特别珍贵。头颅可被拆卸为顶骨和两部分颅底、鼻中隔、完整下颌和双侧咀嚼肌。

16 x 14 x 20.5 cm; 0.54 kg

A282 1000063

3B BONElike™ 人类颅骨模型, 6部分

此模型展示了完整的颅骨, 并且具有正中矢状切面。为显示咀嚼肌运动, 下颌灵活安装。是研究人颅骨结构的极好工具。

此模型可以分解为以下几部分:

- 左右颅顶骨和颅底
- 鼻中隔和完整下颌

下颌可以灵活移动, 展示咀嚼运动。

16 x 13.5 x 20.5 cm; 0.5 kg

A281 1000062






带有颌裂和腭裂的颅骨模型

模型模拟男性头颅，左侧颅骨严重畸形，下颌和上颌有裂口。包含29颗牙齿，自然逼真。

28 x 23 x 19.5 cm; 0.8 kg

A29/3 1000067

 简单的磁性连接，使拆卸示范更加快速便捷。



胎儿颅骨模型

逼真地模拟了30周胎龄的胎儿头部，展示出孕期胎儿发育的特征。囟门随着时间变化会转化为骨骼，在颅骨上清晰可见。安装在支架上。

18.5 x 14.5 x 14 cm; 0.2 kg

A26 1000058

胎儿颅骨模型，无支架(未展示)

14 x 9 x 9 cm; 0.15 kg

A25 1000057



可以自行添加大脑结构
(不包含)



透明经典人类颅骨模型，3部分

值得收藏的教学工具！这款透明的人体颅骨模型可用于学习颅骨的内部构造！

- 高品质逼真铸造
- 颅骨模型由硬质不易破损的塑料材料制作而成
- 高度准确地展示裂隙，椎间孔过程与中缝线
- 被分解为颅顶、颅底和下颌骨
- 5部分组成的经典大脑模型可以插入颅骨中。

更多详情，请参阅第201页！

20 x 13.5 x 15.5 cm; 0.6 kg

A20/T 1020164



夜光颅骨模型

该颅骨模型除具备精确的解剖学结构外，还会在黑暗中发光！是能激发学生和朋友兴趣的好礼物。

20 x 13.5 x 15.5 cm; 0.6 kg

A20/N 1020163



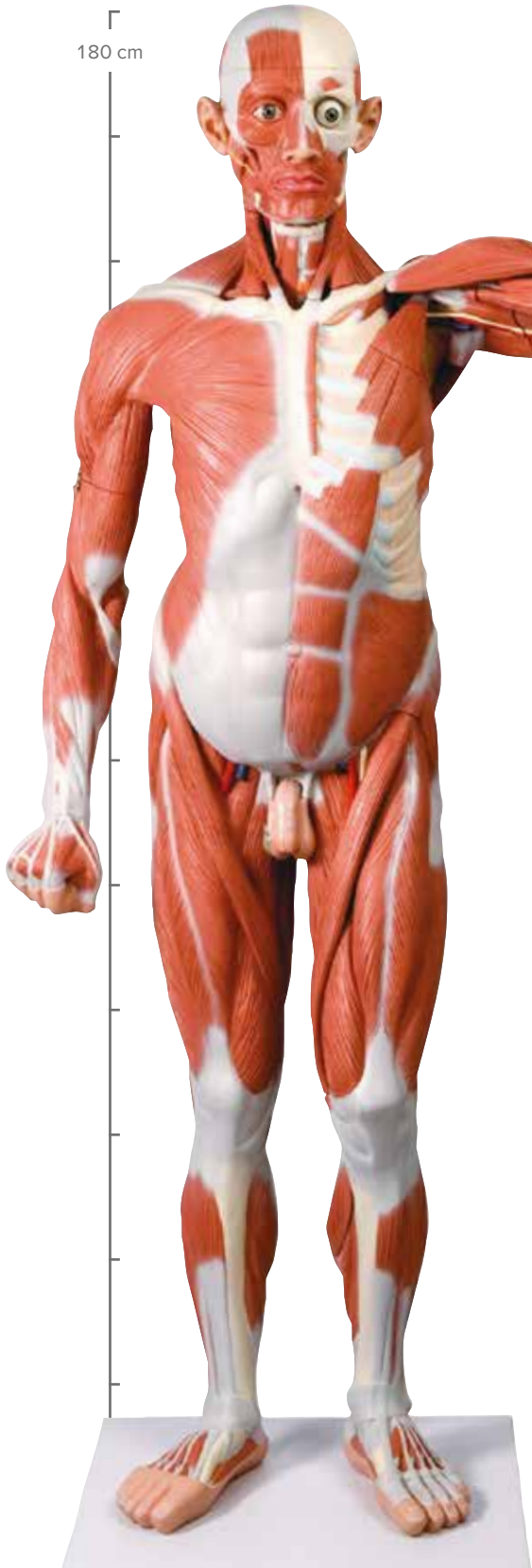
迷你颅骨模型，3部分

我们的小头颅，巧妙展示了真实的解剖学结构细节，可以分解成头盖骨，头颅和下颌。

10 x 8 x 8 cm; 0.1 kg

A18/15 1000041

肌肉模型



真实大小男性肌肉模型, 37部分

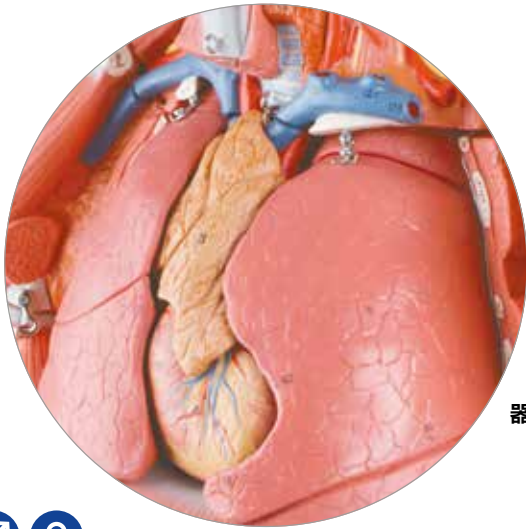
此模型展示了人体深层和浅层的肌肉组织。该经典作品极度精确性使它成为讲座大厅里讲课使用的最佳工具。模型采用结实耐用无毒的塑料材质制造。

以下部分可以拆卸以作详细观察研究:

- 颅顶骨
- 6部分大脑
- 眼球
- 胸腹壁
- 双臂
- 2部分喉
- 左右肺
- 隔膜
- 2部分胃
- 肝胆
- 肾
- 整个肠道
- 半个膀胱
- 2部分阴茎
- 10块肌肉(3块手臂肌肉和腿部肌肉、2块胸肌、胸锁乳突肌、臀大肌)

180 x 110 x 50 cm; 53 kg

VA01 1001235



器官可取出查看



豪华型两性人体肌肉模型, 45部分

全球最佳教学工具! 高度138cm, 是真实高度的3/4, 除精确详解人体主要神经, 血管, 组织和器官外, 复制了人体表层和深层肌肉结构。内脏可拆卸(共45块)以展现人类形态学的基本联系。

此款两性模型有内部变化的生殖器插入和女性乳腺以及各种语言的解码卡来说明手工数字标记的结构共有600多个组织结构。形象逼真的手工着色, 置于方便旋转底座上。

模型包含以下特征:

- 5块臂/肩肌肉
- 8块腿/臀肌肉
- 2部分可拆卸心脏
- 5部分含可拆卸大脑
- 2部分可拆卸肺
- 2部分胃
- 2部分肠
- 可拆卸4块男性和2块女性生殖器插件
- 可分离臂, 腿, 头和胸腹壁供详细研究

动手实践是最好的学习方法。此模型可以轻松打开颅骨, 查看3部分可取出的大脑。取出肝脏查看肝总管、胆囊、胆总管。打开腹壁可以观察肺、心脏、胃、阑尾、肾。可剥离手臂和腿部的13块肌肉进行更深入的学习研究。

138 x 50 x 32 cm; 12.4 kg

B50 1013881



豪华型女性人体肌肉模型, 23部分(未展示)

此女性人体肌肉模型有着B50一样的特征, 除却内脏器官, 脑及男性生殖器。此模型由23部分组成, 包括13块臂/腿肌肉。逼真着色, 置于方便底座上, 无以伦比。

女性肌肉模型包含以下特点:

- 5块臂/肩肌肉
- 8块腿/臀肌肉
- 可分离臂, 腿, 头和胸腹壁供详细研究

138 x 45 x 32 cm; 11.2 kg

B51 1013882



> 3/4 真实高度肌肉模型

具有惊人细节的1/2真实高度人体模型，
为您节省更多空间！



1/2真实高度两性人体肌肉模型, 带内部器官, 33部分

人体全身肌肉解剖模型。在空间有限的情况下, 84cm高度的模型能充分展示人体肌肉和内部器官。细节部分手工制作, 33个部分可拆卸或分解, 价格合理, 色彩逼真。完整的模型带有底座和多种语言的学习指南。

此模型包含以下特征:

- 5块臀/肩肌
- 8块腿/臀肌
- 2部分可拆卸心脏
- 2部分可拆卸大脑
- 2部分肠
- 2叶可拆卸肺
- 可拆卸2部分男性生殖器和2部分女性生殖器
- 可拆卸臂, 腿, 头和胸腹壁以供详细研究
- 400处手标数字和实物结构

84 x 30 x 30 cm; 4.95 kg

B55 1019231



1/2真实高度女性人体肌肉模型, 21部分

与上面的两性同体版本一样, 这一版本没有内部器官、大脑和男性生殖器。

84 x 30 x 30 cm; 4.1 kg

1019232



1/3真实高度的人体肌肉模型, 2部分

此台式小肌肉模型(57cm)有实用价值。所有人体表面肌肉色彩逼真, 结构精确。胸板可拆卸以显示内脏, 右半含女性乳腺。模型安装在底座上。

57x25x18 cm; 2.1 kg

B59 1000212



真实高度肌肉模型



真实高度的两性人体肌肉模型, 39部分

此款真人大小高质量模型精确详尽地展示了各种人体解剖结构。因而它特别适用于医学院的高要求教学。右半显示皮肤, 左半显示浅层和深层肌肉和神经, 血管和骨组织。此模型美观多用, 内脏器官精确展示使之趋臻完美。

模型39部分结构可取出, 具体如下:

- 2部分头
- 一半的大脑
- 胸锁乳突肌
- 三角肌
- 肱二头肌
- 肱三头肌
- 掌长肌附带腕桡屈肌
- 肱桡肌附带腕桡伸肌
- 左臂皮肤
- 左腿皮肤
- 上部腿肌肉
- 下部腿肌肉
- 胸/腹壁
- 乳腺结构
- 2部分肺
- 2部分心脏
- 肝脏附带胆囊
- 2部分胃
- 肾前半部
- 4部分肠
- 3部分女性生殖器带胚胎
- 4部分男性生殖器
- 臀大肌
- 股直肌
- 腓肠肌

模型安装在可旋转的木质底座上, 并配有解剖学习软件。

174 x 74 x 70cm; 28 kg

B53 1000209



真实高度两性亚洲人肌肉模型, 39部分

与上述B53/1000209模型具有相同的特征, 外观为亚洲人。

174 cm; 40.7 kg

B52 1000208

滑轮方便移动



39处精确结构展示, 并配有免费软件!

174 cm

置于可移动支架上，
便于近距离观察研究！



真实尺寸的豪华肌肉腿模型, 7部分

这是真实大小的豪华肌肉腿模型，具有精确的解剖学结构，可分解为大腿和小腿。

下列肌肉可分解:

- 缝匠肌
- 臀大肌
- 股二头肌长头附带半腱肌
- 腓肠肌

模型安装在底座上。

100 cm; 7 kg

M21 1000352



真实尺寸的小腿肌肉模型, 3部分

这是真实尺寸的小腿肌肉模型，包含膝关节、踝部脚。模型在膝处横切开以观察关节结构。可观察到腓肠肌。模型安装在可移动的底座上。

小腿展示特征:

- 可拆卸的膝部横截面，以观察膝关节
- 可拆卸的腓肠肌

58 cm; 2.6 kg

M22 1000353

3/4真实尺寸的腿部肌肉模型, 9部分

此模型展示了浅层肌和深层肌，包含膝关节，其中8块可拆卸。此外，跟腱、血管、神经和骨成分均详细展现。所有重要部分均数字标注。

模型安装在可拆卸底座上。

77 x 26 x 26 cm; 4 kg

M20 1000351



真实尺寸的豪华手臂肌肉模型, 6部分

此豪华手臂模型具有真实手臂尺寸, 解剖学精确, 由6部分组成。

下列肌肉可分解:

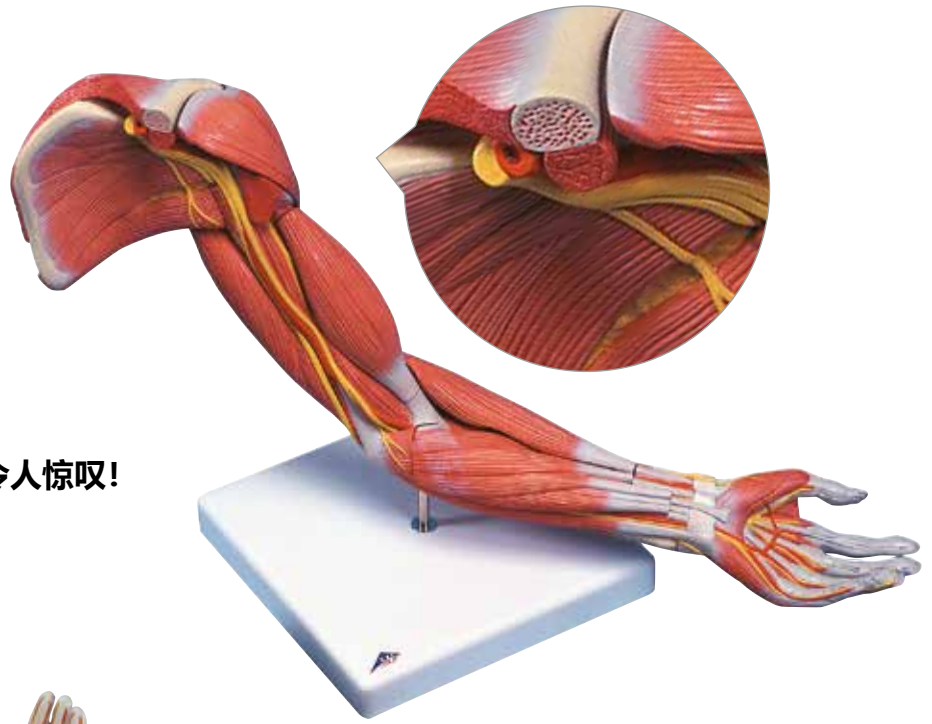
- 三角肌
- 肱二头肌
- 肱三头肌
- 长掌肌附腕上桡侧肌
- 桡腕肌附腕上桡伸肌

模型安装在底座上。

70 cm; 3 kg

M11 1000347

► 展示了表层和深层肌肉, 细节令人惊叹!

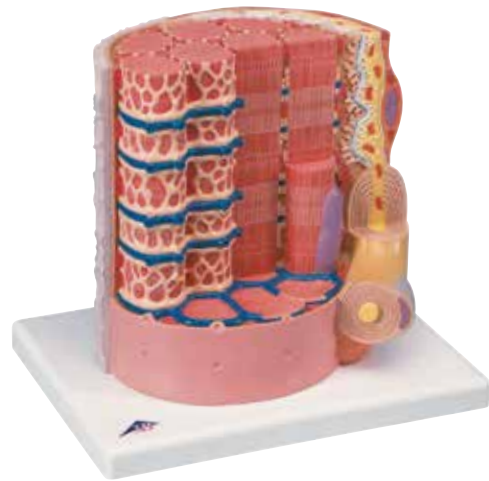


3/4 真实尺寸手臂肌肉模型, 6部分

此模型为3/4真实尺寸的手臂肌肉模型, 包含肩部, 展示出手臂的浅层肌肉和深层肌肉, 其中有5部分可以拆卸。肌腱、血管、神经和骨骼成分均详细展现。模型超过70个重要部分以数字编号, 并提供相应学习手册。模型安装在支架上。

60 x 18 x 18 cm; 1.9 kg

M10 1000015



3B MICROanatomy™ 微观解剖肌纤维模型

模型通过图解的方式说明骨骼肌纤维的组成及放大了一万倍的神经-肌终板的结构, 这些肌纤维是横纹骨骼肌的基本成分。

23.5 x 26 x 18.5 cm; 1.1 kg

B60 1000213



3B MUSCLEtrainer™ 学习软件

具有248张高品质的数码图片, 涉及241块肌肉以及超过200个相关的解剖学结构, 该3B MUSCLEtrainer™ 软件是学习应考或者单纯地供人体肌肉系统学习复习的理想工具。

使用语言: 英语、法语、西班牙语、葡萄牙语、德语、拉丁文。

关于系统要求, 请参见3bscientific.com。

1002489

躯干模型

> 解剖细节制造精密!

3B Scientific® 高品质躯干模型

- 无毒、材料极为经久耐用，手工上色，颜色逼真以展示每个细节
- 解剖结构准确，可供各个水平的医学教育使用，提供不同特征的多种选择，可满足您的特定需求

根据您的需要可从具有不同特征的多种躯干模型中加以选择:

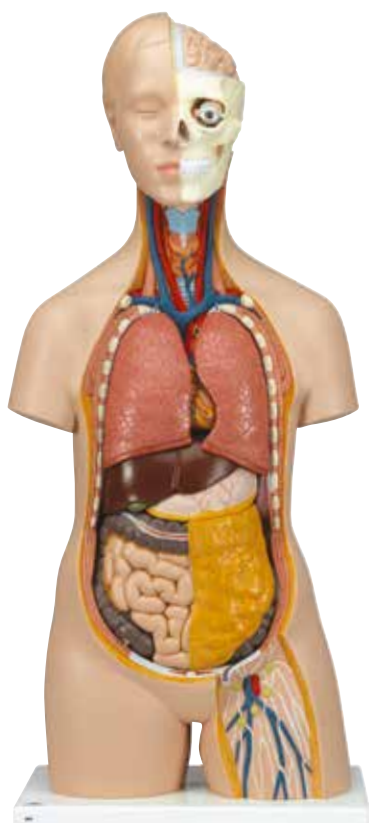
- 男性
- 女性
- 中性
- 不同种族
- 关闭解剖学的不同方面



登录官方网站 3bscientific.com 可以查看更多细节图片



所有躯干模型的详细功能比较请翻阅60页和第61页。



经典无性躯干模型, 12部分

此模型为真实尺寸人类躯干模型，手工绘制，使用高品质材料，展现出精确解剖结构。

以下部分可拆卸进行内部观察研究:

- 2部分头
- 2部分肺叶
- 2部分心脏
- 胃
- 带胆囊肝脏
- 2部分肠
- 前半部可拆卸肾

提供3B Scientific® 躯干学习指南，安装在结实的底座上，浅色皮肤。

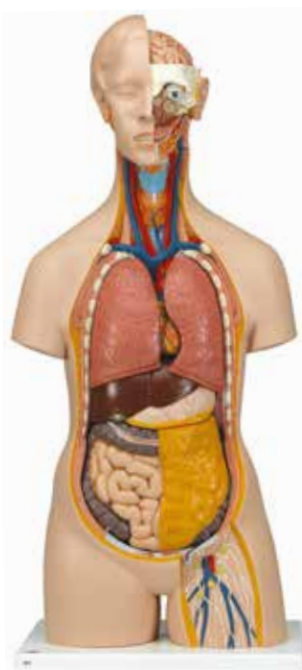
提供底座。

87 x 38 x 25 cm; 4.6 kg

B09 1000186



部分可拆卸进行详细研究



经典无性躯干模型, 14部分

此模型具有精确的人体解剖学结构，是非常理想的优质教学工具。手工绘制，展现出逼真的细节结构，采用高品质结实耐用的材料制作，并且安装在底座上。

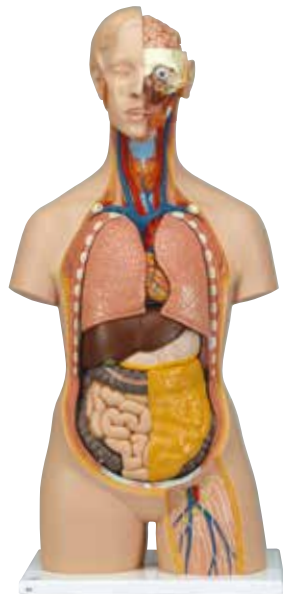
以下部分可拆卸进行详细观察学习:

- 3部分头
- 2部分肺
- 2部分心脏
- 胃
- 带胆囊的肝脏
- 2部分肠
- 前半部可拆卸肾
- 前半部可拆卸膀胱

提供3B Scientific® 躯干学习指南，浅色皮肤。

87 x 38 x 25 cm; 5.9 kg

B13 1000190



开放式背部显示出从小脑到尾椎的完整脊柱解剖细节

经典无性开放式颈部和背部躯干模型, 18部分

此模型具有开放式颈部和背部, 背部详细展现了小脑到尾椎的完整脊柱特征, 包含脊椎、椎间盘、脊髓、脊神经和椎动脉等结构可供详细研究。

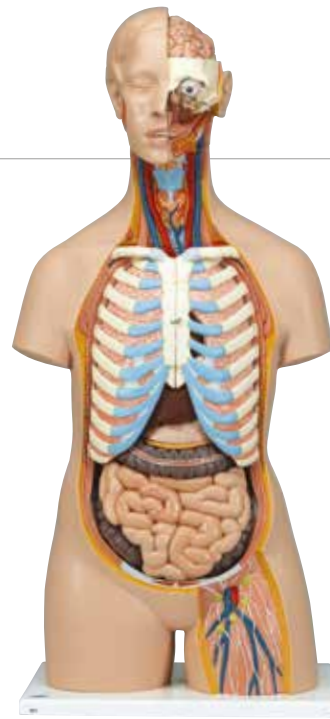
以下部分可拆卸进行详细观察学习:

- 2部分肺
- 2部分心脏
- 胃
- 带胆囊的肝脏
- 2部分肠
- 前半部可拆卸肾
- 前半部可拆卸膀胱
- 可拆卸第7胸椎
- 6部分头

提供3B Scientific® 躯干学习指南, 模型安装在结实的底座上, 浅色皮肤。

87 x 38 x 25 cm; 5.8 kg

B19 1000193



经典无性背部开放躯干模型, 21部分

此教学模型以B11为基础, 从小脑到尾骨背部颈部和背开放, 详细展现脊椎、椎间盘、脊髓、脊神经、脊动脉和许多其它特征。

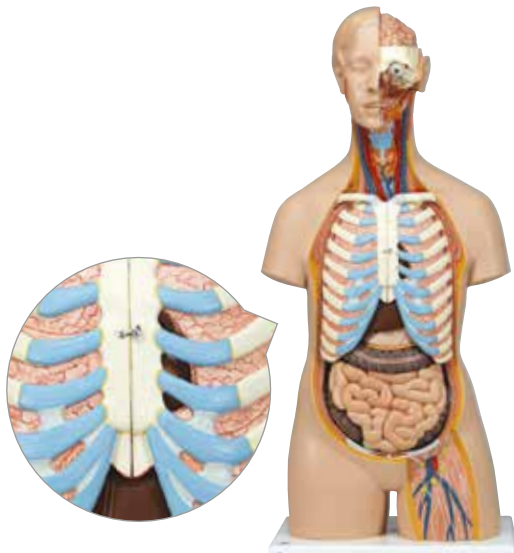
以下部分和脏器可拆卸进行详细研究:

- 第7胸椎
- 6部分头
- 2部分胃
- 肺
- 2部分心脏
- 带胆囊的肝脏
- 4部分肠
- 前半部可拆卸肾
- 前半部可拆卸膀胱
- 开放式背部
- 大脑

提供3B Scientific® 躯干学习指南, 模型安装在结实的底座上, 浅色皮肤。

87 x 38 x 25 cm; 6.5 kg

B17 1000192



经典无性躯干模型, 16部分

此模型为真实人体躯干大小, 由16个可拆卸部分组成, 每部分均手工绘制细节特征, 展现出惊人的逼真细节, 采用高品质结实耐用的材料制作, 可供长期近距离观察。

以下部分可拆卸进行内部观察研究:

- 3部分头
- 2叶肺带胸骨和肋骨
- 2部分心脏
- 胃

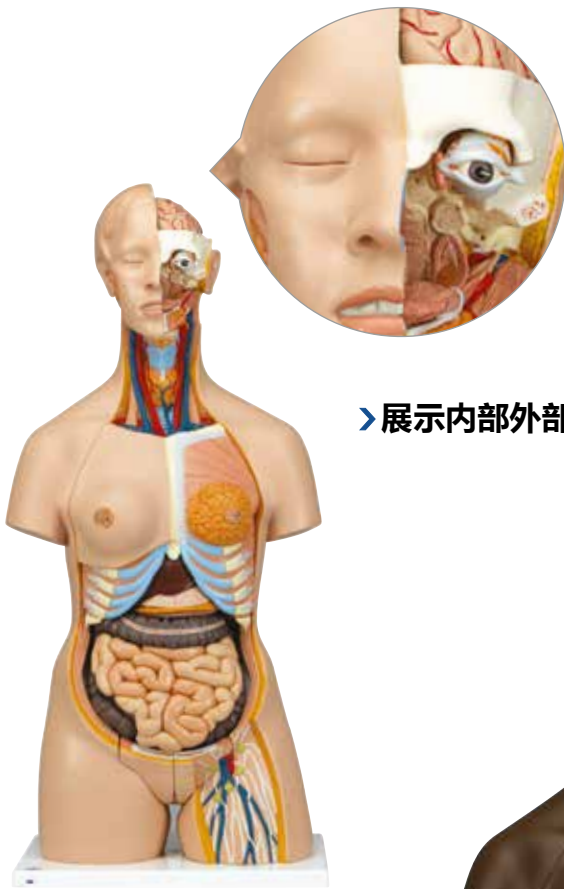
- 带胆囊的肝脏
- 4部分肠
- 前半部可拆卸肾
- 前半部可拆卸膀胱

提供3B Scientific® 躯干学习指南, 模型安装在结实的底座上, 浅色皮肤。

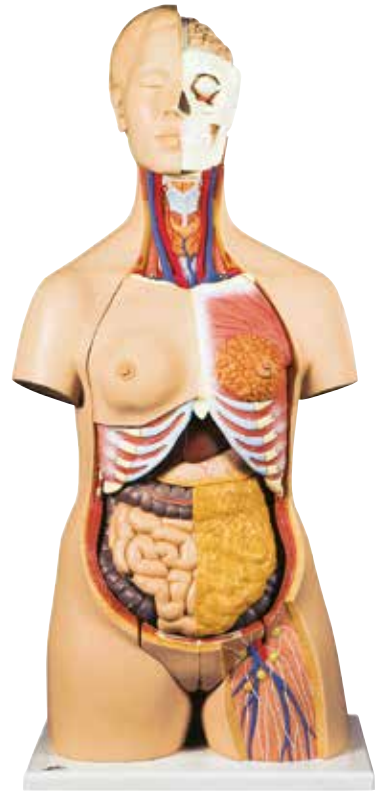
87 x 38 x 25 cm; 6.8 kg

B11 1000188

3部分头, 部分大脑
和眼睛可拆卸



►展示内部外部细节结构!



豪华型两性躯干模型, 24部分

此模型具有真人大小, 提供了令人印象深刻的细节展示与24个可拆卸的部分。可以回答所有关于人体解剖学的问题。采用非常结实耐用的材料制作, 可以作为持久的教学展示工具。

以下部分可拆卸, 进行深入研究学习:

- 3部分头
- 2部分胃
- 4部分肠道
- 女性胸部
- 2部分肺
- 2部分心脏
- 肝脏带胆囊
- 肾前半部
- 4部分男性生殖器
- 3部分女性生殖器带胚胎

手工绘制颜色, 模型安装在底座上, 浅色皮肤。

87 x 38 x 25 cm; 7.5 kg

B30 1000196



非洲人两性躯干模型, 24部分

此模型为真人大小, 自带两性躯干的所有特征, 分为24部分, 与B30具有相同特征, 非洲人外观。

87 x 38 x 25 cm; 7.5 kg

B37 1000202

亚洲人躯干模型, 18部分

头部不可拆分, 无女性胸壁, 其他功能特征与B32相同。

B32/4 1000199

两性躯干模型, 20部分

此躯干模型的质量高, 且价格合理。它可以用来回答人体解剖中所有的问题。同时供应3B躯干模型指南。

它包括下列可拆卸部件:

- 2部分头
- 女性胸壁
- 2部分肺叶
- 2部分心脏
- 胃
- 肝脏带胆囊
- 2部分肠
- 前半部可拆卸肾
- 3部分女性插入生殖器, 带胚胎
- 4部分男性插入生殖器

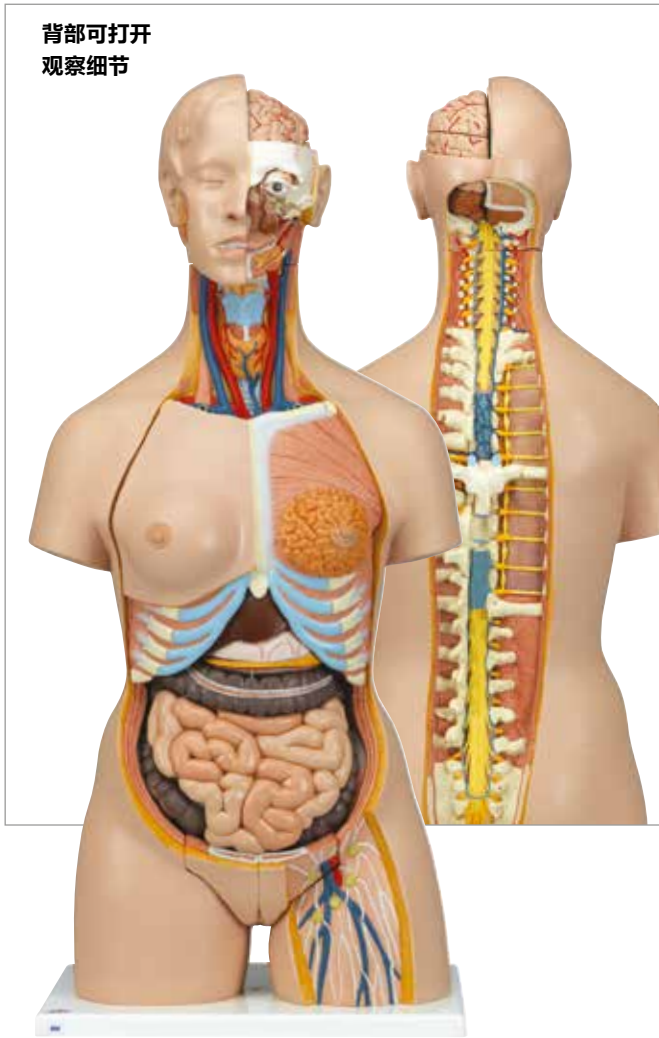
模型安装在底座上。

87 x 38 x 25 cm; 7.3 kg

B32 1000197



背部可打开
观察细节



豪华型两性背部开放躯干模型, 28部分

此模型具有真实人类躯干尺寸, 具有完整的可拆卸的男性和女性生殖器插件, 颈椎和背部为开放式, 其中脊椎、椎管、脊神经、椎动脉等结构可供进一步详细研究。

以下结构和器官可拆卸进行细节观察:

- 第7胸椎
- 女性特征的胸壁
- 6部分头 (包含4部分大脑)
- 女性乳腺
- 2部分肺
- 2部分心脏
- 2部分胃
- 带胆囊的肝
- 4部分肠
- 前半部可拆卸的肾
- 4部分男性生殖器
- 3部分女性生殖器带胚胎

提供3B Scientific® 躯干学习指南。模型安装在结实的底座上, 浅色皮肤。

87 x 38 x 25 cm; 7.6 kg

B35 1000200



详细展示了肌肉
纹理结构

豪华型两性躯干模型, 31部分

此模型为真实人类躯干尺寸, 它显示了浅层和深层肌肉, 两块主要肌肉, 三角肌和臀大肌可拆卸以供详细研究。您也可研究脊椎, 脊髓, 脊神经和椎动脉, 替换男女生殖器, 观察脑内部结构等。

以下部分可拆卸进行详细观察:

- 6部分头
- 胸腹壁肌肉
- 第7胸椎
- 女性乳腺
- 臀大肌和三角肌
- 2部分肺
- 2部分心脏
- 2部分胃
- 带胆囊的肝脏
- 4部分肠
- 前半部可拆卸的肾
- 3部分女性生殖器带胚胎
- 4部分男性生殖器

提供3B Scientific® 躯干学习指南, 安装在结实的底座上, 浅色皮肤。

87 x 38 x 25 cm; 8.5 kg

B40 1000203

► 真实尺寸的躯干模型

带肌肉手臂的豪华型两性躯干模型, 33部分

此模型为全世界独一无二的真人尺寸的躯干模型, 具有6部分可拆卸肌肉手臂。品质优良, 做工精细, 全面展现了人体躯干的全部解剖细节。使其特别适用于高水平的医学教学。模型右半部带皮肤, 左半部显示浅层和深层肌肉以及神经、血管和骨结构。此外模型包含精确美观的内部脏器结构。

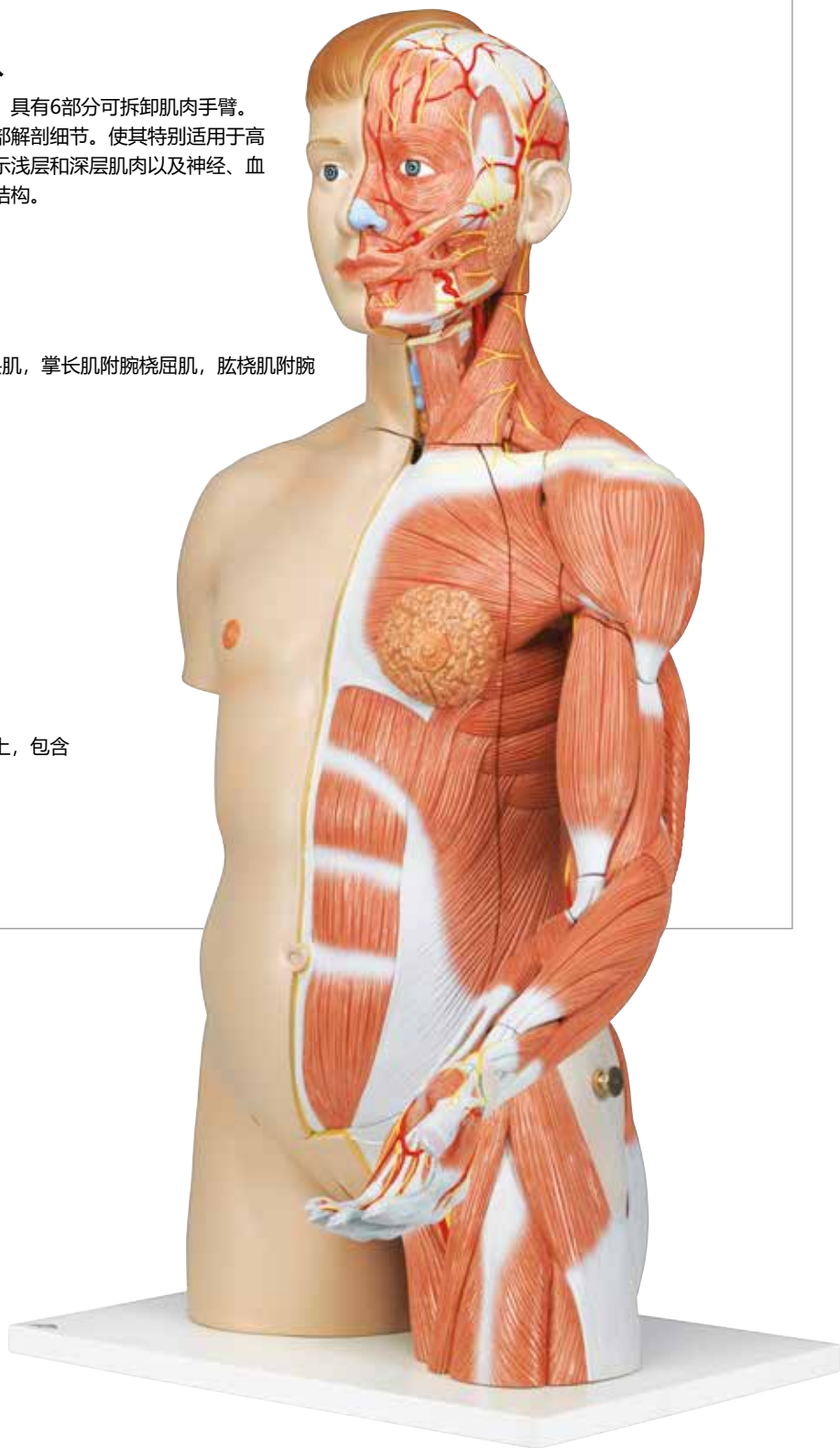
以下部分可拆卸进行近距离观察学习:

- 2部分头
- 一半大脑
- 胸锁乳突肌
- 6部分手臂(可拆卸: 三角肌, 肱二头肌, 肱三头肌, 掌长肌附腕桡屈肌, 肱桡肌附腕桡伸肌)
- 大腿上部肌肉
- 胸腹壁带可拆卸的乳腺结构
- 躯干
- 2部分肺叶
- 2部分心脏
- 带胆囊的肝脏
- 2部分胃
- 前半部可拆卸的肾
- 4部分肠
- 3部分女性生殖器带胚胎
- 4部分男性生殖器

手工绘制细节部位颜色, 模型安装在结实的底座上, 包含
3B Scientific® 躯干学习指南, 浅色皮肤。

90 cm; 22.8 kg

B42 1000205

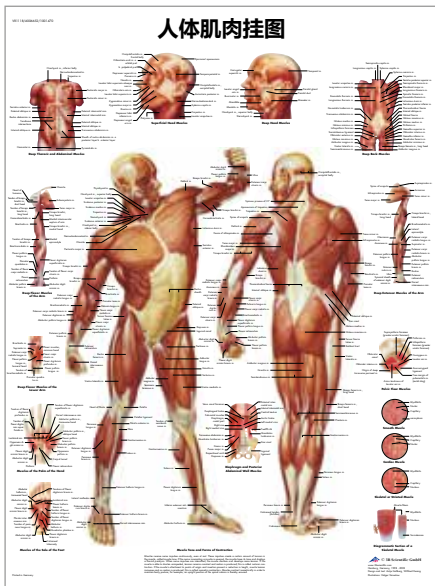


带肌肉手臂的亚洲两性躯干模型, 33部分

该真实大小的人体躯干模型, 具有上述B42模型的所有特征, 亚洲人外观。

90 cm; 22.8 kg

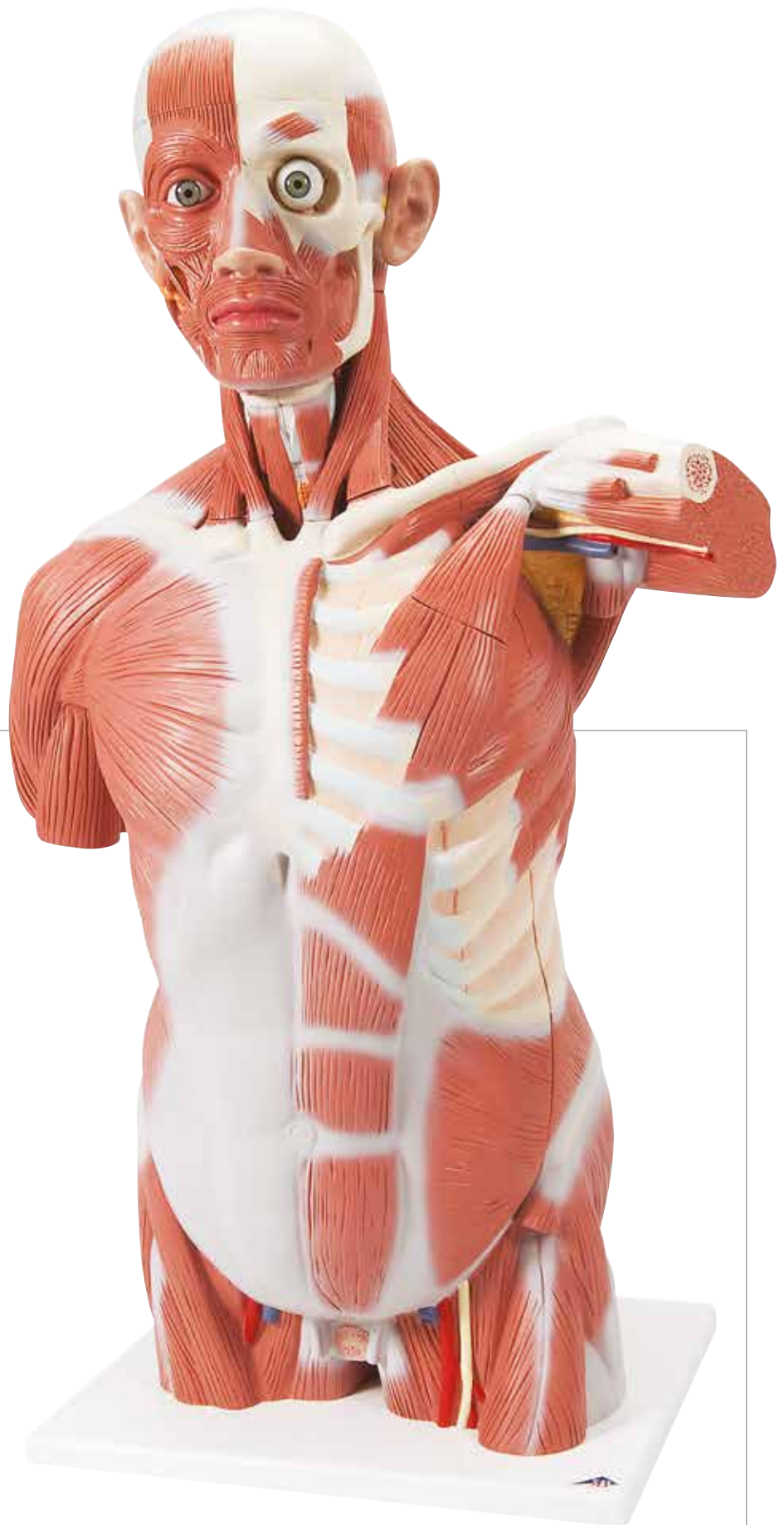
B41 1000204



人体肌肉挂图

压膜版
纸质版

VR1118L 1001470
VR1118UU 4006652



真实尺寸的肌肉躯干模型, 27部分

此肌肉模型高标准详细显示了深层和浅层肌肉。极度精确，真人大小，此经典作品是大型讲座厅解剖演示的最理想选择。

下列部分拆卸供细节研究：

- 颅盖
- 6部分大脑
- 眼球带视神经
- 胸/腹壁
- 2部分喉
- 2部分肺叶
- 2部分心脏
- 横膈膜
- 2部分胃
- 肝脏带胆囊
- 完整肠道带阑尾
- 前半肾
- 半膀胱
- 4块肌肉

配有牢固的底座。

95 x 60 x 35 cm; 14 kg

VA16 1001236

每个产品都配有一张卡片，扫描二维码可获取产品使用指南。



每一层切片都可移动
进行不同角度观察

MRI 盘状躯干模型, 15片

此躯干模型水平分割成15片。每片为人体解剖彩色浮雕，为了能够更深入地研究躯干的内部解剖结构，每一片都以脊椎为矢状轴进行旋转。模型的每片都可以单独移出。MRI躯干模型是一个伟大的可以在任何医学教室使用的理想教学工具。

130 x 40 x 35 cm; 11.5 kg

VA20 1001237



厚质躯干模型保护罩

保护罩为黑色，适合所有尺寸的躯干模型，带拉链和加固提手方便携带。

W40104 1020762

躯干模型功能对照指南

产品型号	1000186 B09	1000190 B13	1000188 B11	1000193 B19	1000192 B17
页码	54	54	55	55	55
独立部分	12	14	16	18	21
开放式背部，露出脊柱	-	-	-	✓	✓
头部可以分解	2部分	3部分	3部分	6部分	6部分
肺叶可打开观察内部结构	✓	✓	✓	✓	✓
显示肋骨	-	-	✓	-	✓
心脏可以拆卸	2部分	2部分	2部分	2部分	2部分
胃可以拆卸	1部分	1部分	1部分	1部分	2部分
带有胆囊的肝脏，可被取出	✓	✓	✓	✓	✓
肠可以分解并取出	2部分	2部分	4部分	2部分	4部分
肾前半部分可拆卸观察内部结构	✓	✓	✓	✓	✓
膀胱前半部分可拆卸观察内部结构	-	✓	✓	✓	✓
包含肌肉手臂	-	-	-	-	-
女性特征胸壁可拆卸	-	-	-	-	-
无性别特征	✓	✓	✓	✓	✓
两性特征	-	-	-	-	-
男性生殖器插件可拆卸	-	-	-	-	-
女性生殖器插件可拆卸	-	-	-	-	-
肤色	浅色	浅色	浅色	浅色	浅色
提供3B Scientific® 躯干学习指南	✓	✓	✓	✓	✓
真实尺寸	✓	✓	✓	✓	✓

› 为您的办公桌增添色彩!

迷你躯干模型, 12部分

此模型约为真实尺寸的一半, 但仍然保持并展现精确清晰的细节结构!

以下部分可拆卸进行详细观察:

- 2部分头
- 一半大脑
- 2部分肺部
- 2部分心脏
- 胃
- 带胆囊的肝脏
- 2部分肠

如果您追求高性价比产品, 此模拟躯干模型就是您最好的选择!

所有部分都进行了编号, 并提供编号说明手册。

54 x 24 x 18 cm; 1.89 kg

B22 1000195

3B Scientific® 躯干学习指南(未展示)

大部分躯干模型产品都配有该学习指南。

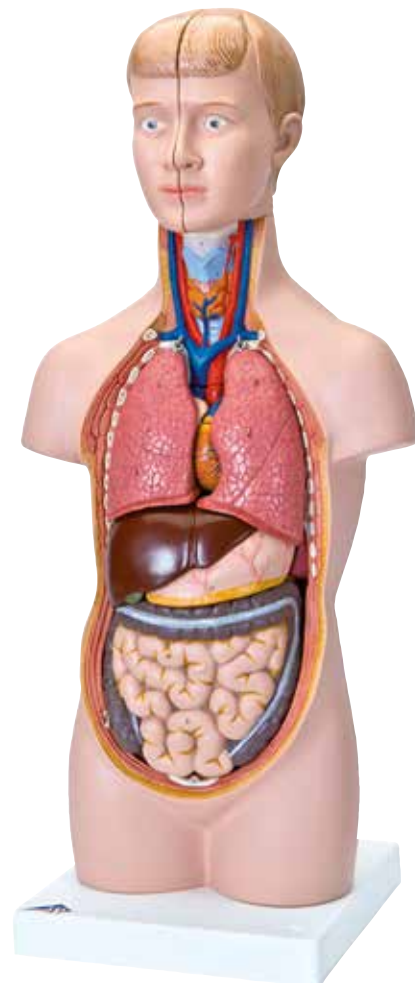
- 躯干各个部分均配有清晰彩图, 对所有结构都进行了详细阐释
 - 包含教学技巧, 可使课堂教学更有趣味性
 - 7种语言版本(拉丁语、英语、德语、西班牙语、葡萄牙语、法语和日语)
- 包含PDF格式的CD-OM光盘, 可帮助进行测试或备课。

B01 1000183

3B Scientific® 躯干模型课堂教学工具(未展示)

包含33张清晰的投影机幻灯片, 躯干各个部分均配有清晰彩图。

B02 1000184



 **登录官方网站 3bscientific.com 可以查看更多细节图片!**

1000196 B30	1000197 B32	1000199 B32/4	1000200 B35	1000202 B37	1000203 B40	1000204 B41	1000205 B42	1000195 B22
56	56	56	57	26	57	58	58	61
24	20	18	28	24	31	33	33	12
-	-	-	✓	-	✓	-	-	-
3部分	2部分	1部分	6部分	3部分	6部分	3部分	3部分	3部分
✓	✓	✓	✓	✓	✓	✓	✓	✓
✓	✓	✓	✓	✓	✓	✓	✓	-
2部分	2部分	2部分	2部分	2部分	2部分	2部分	2部分	2部分
2部分	1部分	1部分	2部分	2部分	2部分	2部分	2部分	1部分
✓	✓	✓	✓	✓	✓	✓	✓	✓
4部分	2部分	2部分	4部分	4部分	4部分	4部分	4部分	2部分
✓	✓	✓	✓	✓	✓	✓	✓	-
-	-	-	-	-	-	-	-	-
-	-	-	-	-	-	6部分	6部分	-
1部分	1部分	1部分	1部分	1部分	2部分	2部分	2部分	-
-	-	-	-	-	-	-	-	✓
✓	✓	✓	✓	✓	✓	✓	✓	-
4部分	4部分	4部分	4部分	4部分	4部分	4部分	4部分	-
3部分	3部分	3部分	3部分	3部分	3部分	3部分	3部分	-
浅色	浅色	亚洲人	浅色	深色	浅色	亚洲人	浅色	浅色
✓	✓	✓	✓	✓	✓	✓	✓	-
✓	✓	✓	✓	✓	✓	✓	✓	1/2

皮肤模型



皮肤解剖模型, 70倍放大

此模型独特地从三维角度展示了人体皮肤部分。皮肤的每一层都有所区别, 详细显示了重要结构如毛发, 脂腺和汗腺, 接受器, 神经和血管。模型安装在底座上。

44 x 24 x 23 cm; 3.6 kg

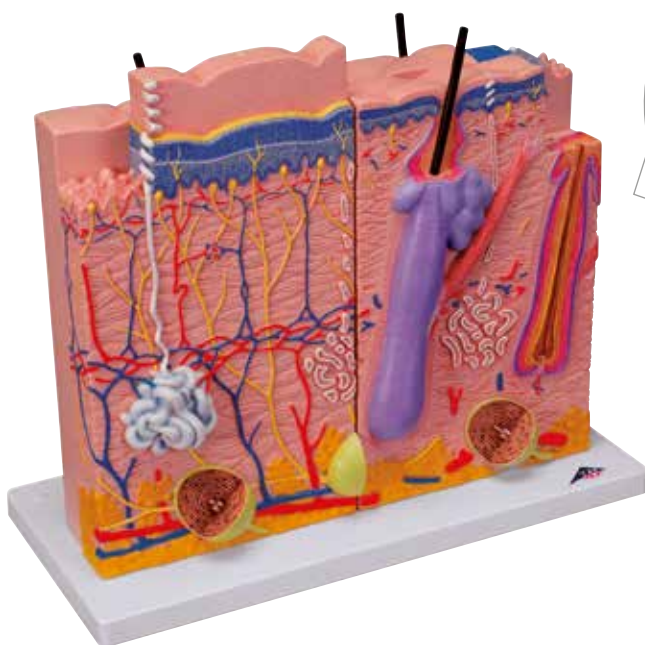
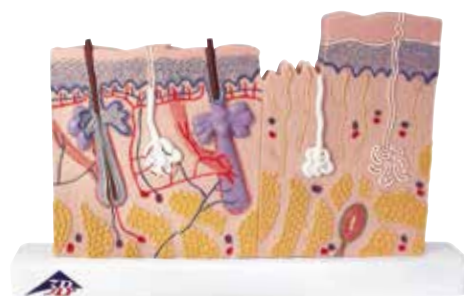
J13 1000291

皮肤切面模型, 40倍放大

两半立体模型显示3层有毛和无毛皮肤以示区别, 并详细演示了毛囊、脂腺、汗腺、皮肤感受器、神经和血管。模型安装在底座上。

24 x 15 x 3.5 cm; 0.2 kg

J11 1000290



>3合1模型!

皮肤解剖模型, 3部分

该模型由三个单独部分组成, 展示了人类皮肤放大80倍时的截面。皮肤截面的解剖差异以一个可以理解的教学方式进行了呈现。乳头层的显微表征(例如位于手掌中), 网状层的显微表征(例如位于手背), 带毛囊和根鞘的人类头皮的纵截面, 组成皮肤和微观结构, 如神经、血管和触觉小体的所有层次已精确立体地在模型上得以展现。

34 x 39 x 15.5 cm; 2 kg

J16 1000294



皮肤、头发和指甲的显微结构模型

此模型详细地展示了皮肤的显微结构。借助于无毛皮肤(如手掌)和有毛皮肤(如小臂)的不同,可展示不同的细胞层和深埋汗腺、触觉感受器、血管、神经和毛发根。此外,底座上指甲模型可显示甲板,甲床和甲根。带细胞层的毛根使此皮肤模型更完善。

10 x 12.5 x 14 cm; 0.35 kg

J14 1000292

双面皮肤痤疮模型

双面皮肤截面放大模型。模型一侧显示三种

“痤疮”情况:白头、黑头、脓疱/囊肿。另一侧显示正常皮肤。

15.2 x 5.7 x 10.2 cm

1019568



皮肤切面模型

70倍放大

此立体模型显示了头部毛发覆盖的三层皮肤。

展现如下特征:

- 展现肤毛囊和脂腺
- 汗腺
- 皮肤感受器
- 神经
- 血管

模型安装在底座上。

26 x 33 x 5 cm; 1.0 kg

J10 1000289



6个不同阶段的皮肤癌模型, 8倍放大

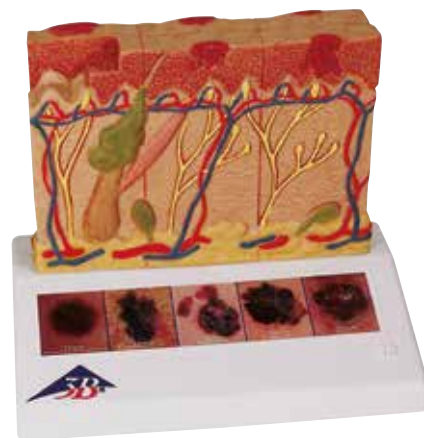
- 正常健康模型
- 癌细胞位于表面但是局限在表皮层的模型
- 癌细胞布满表皮层而少量侵入乳头层的模型
- 癌细胞布满乳头层的模型
- 癌细胞侵入网状层的模型
- 恶变细胞到达皮下脂肪组织模型、卫星细胞接近静脉模型

上视图显示外部皮肤发生肉眼可见变化的各个不同时期的特点,这样就可以根据“ABCDE”标准对肿瘤作以评估分析。

模型的各个侧面显示了癌细胞各种侵入皮层的水平(根据Clark(I-V)分级标准设计),以及肿块的厚度(根Breslow(mm)设计)。底座上的5原色图例显示各种型式的恶性黑色素瘤状况。模型安装在底座上。

14 x 10 x 11.5 cm; 0.2 kg

J15 1000293

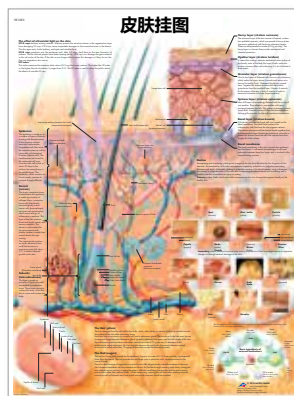


3B Scientific® 皮肤挂图

海报以丰富的色彩表现出放大的皮肤结构,方便理解和研究学习。带挂杆。

84 x 200 cm

V2023M 1001177



3B Scientific® 皮肤挂图

挂图表现人体皮肤的解剖结构,包含所有皮肤层,并显示一些常见的皮肤病。压膜版。

50 x 67 cm

VR1283L 1001512

头部和大脑模型

+

3B Scientific® 解剖模型值得信赖:

- + 采用优质材料制成, 持久耐用
- + 无毒, 可供日常操作使用
- + 精心铸造, 由技术娴熟的工匠手绘而成
- + 精准的解剖细节

带肌肉头半部模型

此模型展示了头颈部的外观和内部(正中切面)详细的解剖结构。安装在可拆卸的支架上。

22 x 18 x 46 cm; 1.1 kg

C14 1000221



A. 头部正中切面模型

此立体浮雕模型显示了人类头部所有相关结构。模型安装在底座上。

26 x 33 x 5 cm; 1.0 kg

C12 1000219



A

B. 头部切面模型

人体鼻旁窦的额切面, 由粘膜覆盖。其右侧有鼻窦炎迹象(鼻窦炎), 其左侧则正常。模型安装在底座上。

41 x 31 x 5 cm; 1.1 kg

C13/1 1012789



B

C. 头部正中和额部切面模型

此模型组合包含头部正中切面和额部切面, 这两种视角包含了人类头部所有重要的解剖细节, 显示了头部、脊髓和鼻窦的横切面。

模型安装在底座上。

41 x 31 x 5 cm; 1.15 kg

C13 1000220



C

► 展现人类神经系统和大脑解剖结构的伟大教学工具!

经典头部肌肉模型

展现了头部和颈部的表层肌肉。

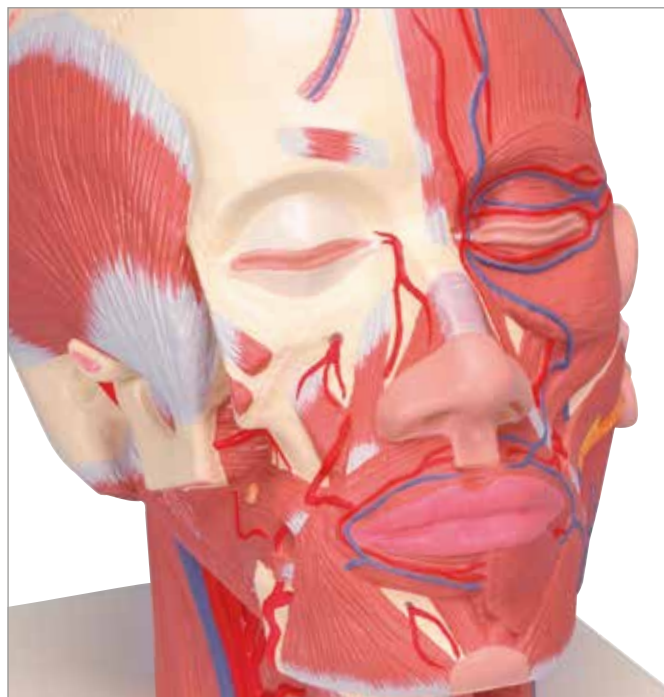
包含以下部分:

- 腮腺
- 下颌下腺(右半)
- 深部肌肉组织(左半)
- 下颌部分暴露

模型安装在底座上。

24 x 18 x 24 cm; 1.2 kg

VB127 1001239



带血管的头部肌肉模型

除具备经典头部模型VB127的特征外, 还显示了血管分布。

模型安装在底座上。

24 x 18 x 24 cm; 1.2 kg

VB128 1001240



带神经的头部肌肉模型

除具备经典头部模型VB127的特征外, 还显示了神经分布。

模型安装在底座上。

24 x 18 x 24 cm; 1.2 kg

VB129 1008543



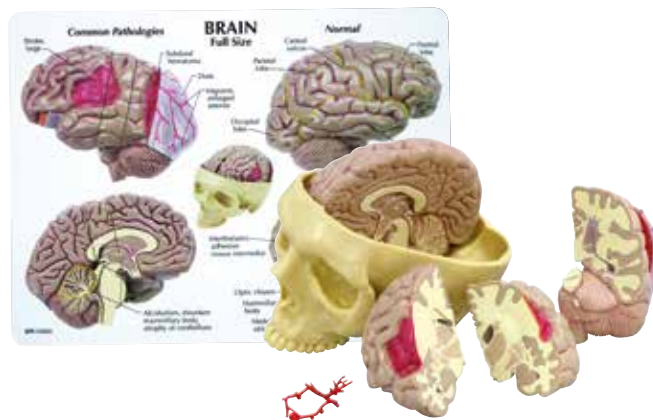
包含包含3部分组成的大脑，
并对各个细部进行了编号！

头颈肌肉模型, 5部分

此模型展示了表层肌肉和深层肌肉、神经和血管，可分解到头骨和3部分脑。解剖细节通过手绘及编号表现出来，并提供对照学习指南。模型安装在可拆卸的底座上。

36 x 18 x 18 cm; 1.8 kg

C05 1000214



大脑模型

全尺寸分段脑模型，一半为正常大脑，另一半为三段病理大脑。以及 Willis 环和动脉瘤。大脑放置于部分颅骨内，可用于展示以下疾病：阿尔茨海默病、动脉瘤、抑郁症相关肿瘤、癫痫相关肿瘤、偏头痛、多发性硬化、帕金森病、中风、硬膜下血肿。

12.7 x 17.1 x 12.7 cm

1019542



带颈部的亚洲人头部模型, 4部分

具有与C07相同的特征与细节，亚洲人外观。模型安装在底座上。

28 x 19 x 23 cm; 2.2 kg

C06 1000215

豪华型带颈头模型, 4部分

实物大小的中分头颅左半显示了肌肉，带神经，血管和骨结构，并包括可拆卸半脑。头置于可分离颈部，可分水平面和斜面部分。模型安装在底座上。

28 x 19 x 23 cm; 2.2 kg

C07 1000216





包含颅底及其他细节



带动脉的脑模型, 安装在头部外观底座上, 10部分

此模型配有开放式头部, 用于放置大脑模型, 并进行大脑位置的研究与学习。颅骨在颅底上以水平方式切割, 大脑左右均分, 并包含脑动脉。

左右大脑可拆分为:

- 额顶叶
- 枕叶颞叶
- 脑干
- 小脑

模型安装在底座上。

15 x 15 x 23 cm; 1.6 kg

C25 1017869

带动脉的大脑模型, 9部分

此中分豪华脑模型显示了脑动脉及可拆卸基底动脉。

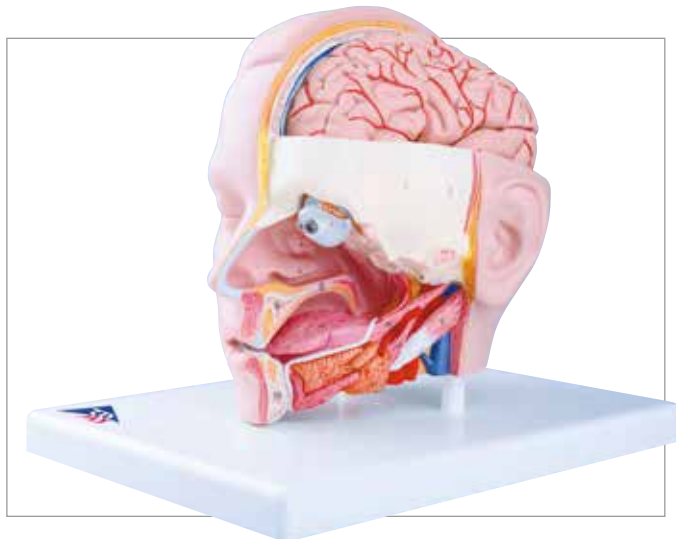
左右大脑可拆分为:

- 前顶叶
- 颞枕叶
- 脑干
- 小脑

安装在可拆卸底座上。

14 x 16 x 14 cm; 0.9 kg

C20 1017868



头部解剖模型, 6部分

此模型为最详细的头部模型! 真实尺寸, 由6部分组成, 包含可拆分为4部分的大脑, 并带有脑动脉。眼球和视神经也可拆卸, 一侧展示出鼻、口腔、咽、枕部和颅底等结构。

19 x 23 x 22 cm; 1.0 kg

C09/1 1000217



头部和颈部模型, 5部分

此模型以头部正中切面分开展示。右侧外部的皮肤和面部肌肉可取下, 用来展示其深层结构。眼球、覆盖上颌窦的骨骼以及右半边舌头可取下, 以供进行细部学习。各部分采用颜色加以区分。

38 x 36 x 25 cm; 3.0 kg

W42512 1005536



3B Scientific® 大脑模型参照真实标本铸造而成，呈现出最为精细的解剖结构。

- + 磁性连接装置，便于拆卸观察
- + 采用结实耐用的材料，品质优良
- + 手工绘制精确细小的解剖结构



登录官方网站 3bscientific.com 可以查看更多细节图片!



与以下颅骨模型兼容:

- A20 1020159
- A20/N 1020163
- A20/T 1020164
- A21 1020165
- A22 1020166
- A22/1 1020167
- A23 1020168
- A24 1020169



经典大脑模型, 5部分

此脑模型以正中切面分为左右两部分，完全仿制真人脑的解剖结构。

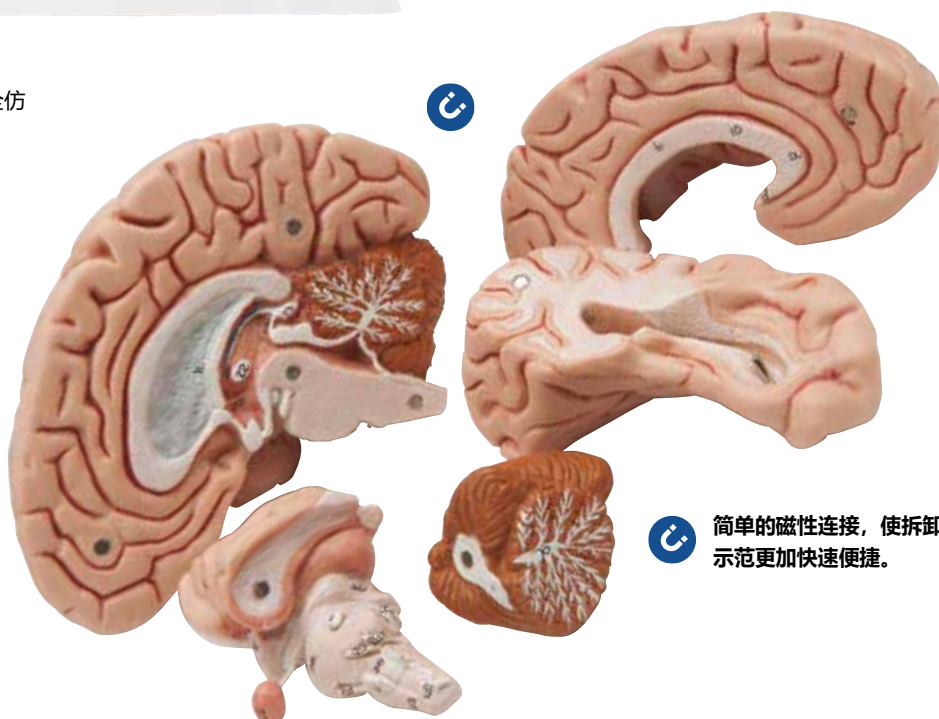
左半部分可拆分为:

- 额顶叶
- 颞枕叶
- 脑干
- 小脑

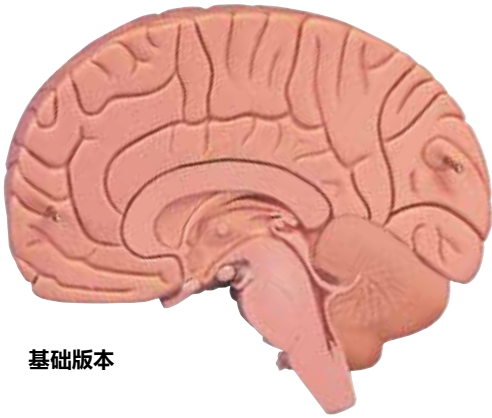
模型安装在可拆卸底座上。

13 x 14 x 17.5 cm; 0.9 kg

C18 1000226



简单的磁性连接，使拆卸示范更加快速便捷。



基础版本



颜色对比鲜明便于区别

初级大脑模型, 2部分

该中间分开的基础大脑模型, 解剖学准确, 具有真实的尺寸且不易破损! 大脑的结构具有统一的颜色, 介绍了人体神经系统和大脑的解剖学构造。大脑模型的各个结构并未进行标记或加以编号。该初级大脑模型交付时配有可取下的底座。

15 x 14 x 17.5 cm; 0.7 kg

C15/1 1000223

大脑模型, 2部分

用对比色来列明该中间分开的人体大脑模型中的多种解剖学结构, 是人体大脑解剖学初学者的完美教具。

模型安装在底座上。

15 x 14 x 17.5 cm; 0.7 kg

C15 1000222

人类脑模型, 4部分

此模型呈中分状。所有结构手工着色, 标号并在产品手册中有标识。

右半大脑可拆分为:

- 额顶叶
- 脑干附带颞枕叶
- 小脑

模型安装在可拆卸架上。

14 x 14 x 17.5 cm; 0.9 kg

C16 1000224



8部分用于细节研究学习



豪华型脑模型, 8部分

中分脑模型, 包含精确的细节结构。

左右两半均可拆分为:

- 前脑顶叶
- 颞枕叶
- 脑干
- 小脑

模型安装在可拆卸底座上。

该大脑模型是人体神经系统和大脑解剖学教学与学习的极好教具。

14 x 14 x 17.5 cm; 0.9 kg

C17 1000225



脑神经解剖模型, 8部分

此豪华脑模型中分。右半彩色显示系统群和脑叶。

左半模型展示:

- 前后中央区
- 布罗卡氏区和韦尼克区
- 颞横回
- 脑神经

脑室两半均分解为:

- 额顶叶
- 颞枕叶
- 半脑干
- 半小脑

模型放在可移动的底座上。

14 x 14 x 17.5 cm; 0.95 kg

C22 1000228



取下模型可观察到更多细节

脑切面模型

右半脑的解剖切面, 扩大并详细展示, 包括部分头颅。软脑膜被切除。此模型双面显示, 色彩精致。一个表面处于中分线, 包括大脑镰切面。纵断切面显露了脑后室。模型上有49处标识, 并提供英语学习手册。模型安装在底座上。

25 x 18 x 12 cm; 0.9kg

W19026 1005113



脑脊液循环模型

右半脑解剖切面扩大详细的模型, 展现了软脑膜, 蛛网膜和硬脑(脊)膜。该模型清晰逼真显示了脑脊液流域并用箭头指出流向。鲜艳的色彩突出了重要特征, 置于底座上。

25 x 18 x 12 cm; 0.9 g

W19027 1005114



脑室模型

此模型展示了两侧脑室, 第3、4室和中脑导水管。实物大小, 安装在底座上。

14 x 11 x 14 cm; 0.6 kg

VH410 1001262



大脑分区模型, 4部分

该倍受欢迎的模型再现了惯用右手人员的大脑。采用了对比鲜明的颜色以及手工上色的文字说明, 显示运动和感觉功能中心。除了着重于显示左脑发挥的智力功能和右脑发挥的创造力功能之外, 该模型还重点展示了大脑边缘系统的感情、记忆和学习功能。

- 区分了感觉区以及20个特定主体区域的接收中心
- 区分出控制19个主体区域的运动中枢
- 在附带的手册中注明了超过120个手工编号的特征模型安装在底座上。

23 x 20 x 30 cm; 2.38 kg

W42565 1005555

► 此超大模型实现了真正的实践教育!

巨型脑模型, 2.5倍放大, 14部分

令人难忘的巨大脑模型! 全方位展示的脑模型, 特别适用于大教室的教学辅助。通过中分、前分和平分, 脑和脑室的所有结构均可见。采用结实耐用, 安全环保的材料制造, 并提供学习手册。

- 坚固耐用的 PVC 材料
 - 14个可拆卸的部分
 - 3D 教学的理想选择
- 模型置于可拆卸底座上。

34 x 30 x 37 cm; 5.6 kg

VH409 1001261



鼠大脑比较解剖学模型

该模型显示鼠大脑的6倍放大像结构, 可以在中线处, 分成两个对等部分。右半部模型显示大脑、小脑以及脑干的结构, 每个部分标以特定的颜色供教学用, (大脑=粉红色, 小脑=蓝色, 脑干=黄色), 各颜色标记区均可在表面及正中切面观察到。左半部呈半透明, 彩色标记出左侧脑室与海马体的部位, 也可以在正中切面看到。为了进行比较, 实物大小的鼠大脑模型连同一个缩小比例的人大脑模型以正中切面的位置安装在同一个台座上, 而用相同的颜色标记不同的对应区域。

14 x 10 x 16 cm; 0.24 kg

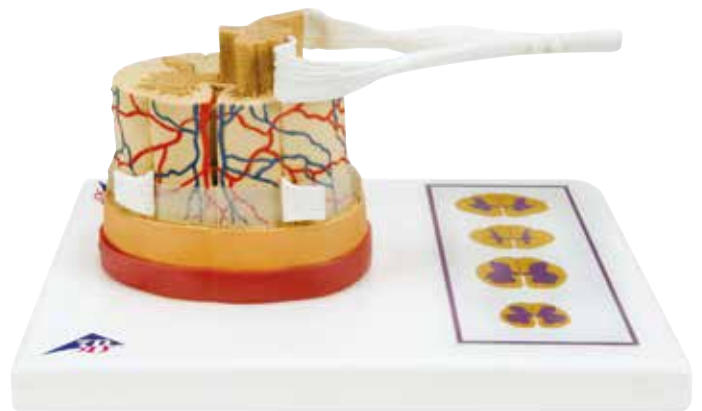
C29 1000230



神经系统模型



5倍真实尺寸



脊髓与末梢神经模型, 5倍放大

模型说明脊髓的组成。脊髓被放大5倍。可见脊髓的中央管的周围被“灰质”包绕, 其外层是“白质”。模型显示不同部位脊髓的灰、白质断面的不同形态组成—颈部、躯干部、腰部与骶骨部。模型安装在底板上。

26 x 19 x 13 cm; 0.4 kg

C41 1000238

1/2真实尺寸的神经系统模型

此立体模型用图解形式演示了中枢和周围神经系统, 是研究人类神经系统结构的上乘之作。模型安装在底板上。

80 x 33 x 6 cm; 3.5 kg

C30 1000231



神经生理学系列模型

5块磁化模型置于金属显示板展现了人类神经系统的基本结构。五个断切面都显示了各种主要神经键的彩塑立体模型。所有断切面磁吸于演示板上，用鲜艳的色彩突显了神经成分。

该组模型中包含以下部分，每个部分也可单独购买：

- 神经元细胞体
- CNS的髓鞘
- PNS的神经鞘细胞
- 运动终板
- 神经元突触

68 x 51 x 10 cm; 4,2 kg

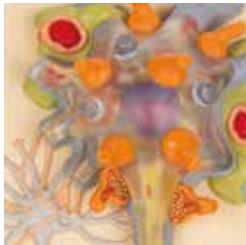
C40 1000232



磁性粘贴



独立模块：



神经元细胞体

带细胞器的典型神经体。
12 x 11.7 x 6.2 cm; 0.26 kg
C40/1 1000233



CNS的髓鞘

胶质细胞，在中枢神经系统轴突周围形成绝缘层。
12 x 11.7 x 6 cm; 0.26 kg
C40/2 1000234



PNS的神经鞘细胞

带有芯部截面的神经鞘细胞。
12 x 11.7 x 6 cm; 0.26 kg
C40/3 1000235



运动终板

展示了带有横纹肌纤维的肌肉神经接点。
12 x 11.7 x 6 cm; 0.26 kg
C40/4 1000236



突触

具有内质网、线粒体以及突触间隙膜。
12 x 11.7 x 6 cm; 0.26 kg
C40/5 1000237

> 放大2500倍以上！

运动神经元立体模型

此模型为实物的2500倍，从三维角度展现了内环境交互神经元和骨骼肌纤维内的运动神经细胞。神经元膜被切除以显露细胞外结构，小器官和细胞体的其它组成。染色体联合及糖脂磷绕轴与郎飞氏结从神经元面突出。轴切面可移开观察，糖脂磷和神经紧绕层以及构成他们的神经鞘。模型置于木底座上。

43 x 20 x 28 cm; 3.0 kg

W42537 1005553



眼模型



A. 眼模型, 3倍放大, 6部分 此模型可分解为:

- 两半巩膜及角膜与眼附着肌
- 两半脉络膜及虹膜与视网膜
- 晶状体
- 玻璃体

安装在底座上。

9 x 9 x 15 cm; 0.1 kg

F15 1000259



B. 眼模型, 5倍放大, 6部分 可拆卸部分如下:

- 上半巩膜与角膜和眼附着肌
- 两半脉络膜与虹膜及视网膜
- 晶状体
- 玻璃体

安装在底座上。

13 x 14 x 21 cm; 0.6 kg

F10 1000255



C. 眼模型, 5倍放大, 7部分 此模型包含以下结构:

- 上半巩膜与角膜和眼附着肌
- 两半脉络膜与虹膜及视网膜
- 晶状体
- 玻璃体

安装在骨性眼眶底座上。

18 x 18 x 20 cm; 1 kg

F11 1000256



眼球模型

此模型展示的是放大的正常眼球模型, 包含视神经、视神经盘、黄斑、视网膜、视网膜中央动脉和静脉。晶状体和角膜可以拆卸。模型安装在底座上供应。

12.7 x 7.6 x 10.2 cm

1019533



眼模型, 5倍放大, 8部分

该眼部模型比实际尺寸大, 是人体眼睛解剖学学习的极好工具。

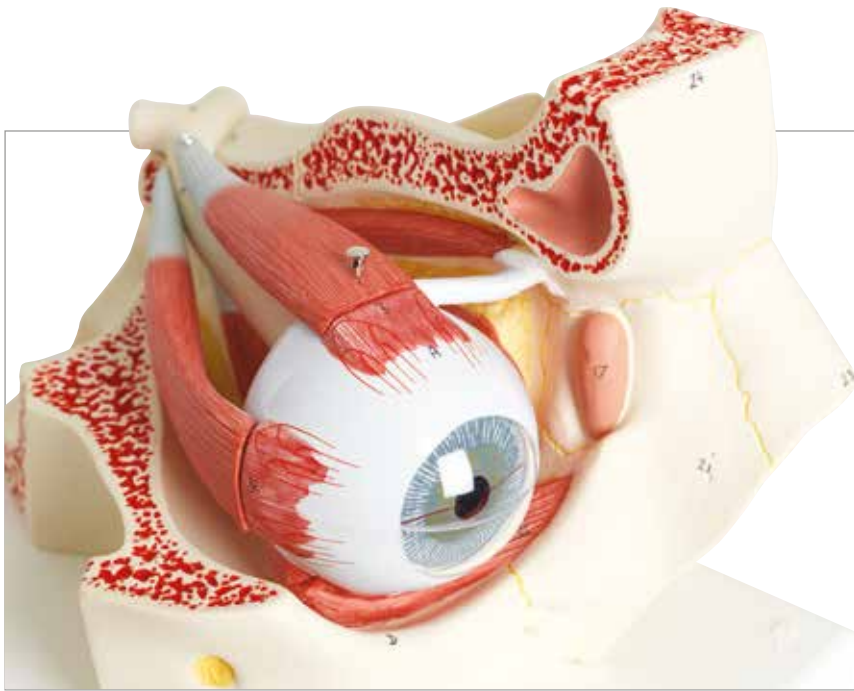
放置于骨性眼眶的基座上。

可被拆开成为以下部分供细致学习使用:

- 上半巩膜与角膜和眼附着肌
- 两半脉膜与虹膜及视网膜
- 晶状体
- 玻璃体
- 眼睑
- 泪腺系统
- 眼外周解剖结构

20 x 18 x 21 cm; 1.2 kg

F12 1000257



带骨性眼眶的眼模型, 3倍放大, 7部分

该放大的解剖学人眼模型, 展示了视神经, 放置于眼睛的骨性眶中准确的位置上(底部和中间壁)。

此模型可分解为:

- 两半巩膜及角膜与眼附着肌
- 两半脉络膜及虹膜与视网膜
- 晶状体
- 玻璃体
- 骨性眼眶

18 x 26 x 19 cm; 1.1 kg

F13 1000258

眼模型, 5倍放大, 12部分

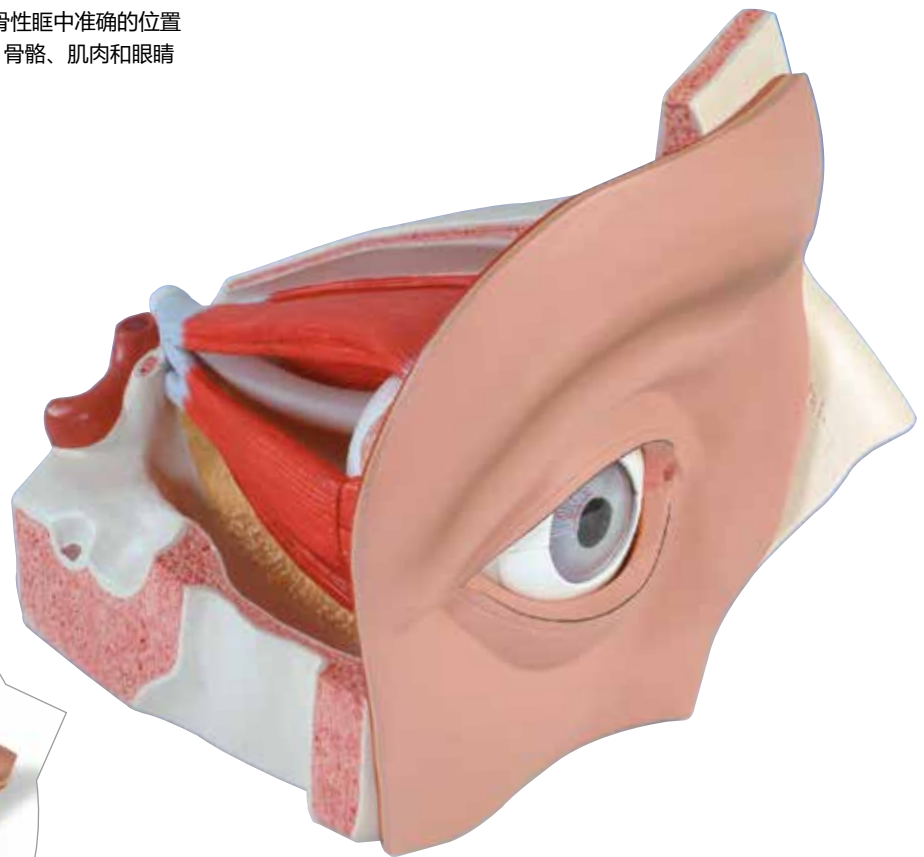
该眼睛模型展示出带视神经的眼球, 放置于眼睛的骨性眶中准确的位置上(底部和中间壁)。另外, 该眼睛模型展示出眼睛、骨骼、肌肉和眼睛外部结构之间的关系。

可分解成为以下几部分:

- | | |
|--------|--------|
| • 两半巩膜 | • 视神经 |
| • 上直肌 | • 外侧直肌 |
| • 半角膜 | • 晶状体 |
| • 泪系统 | • 玻璃体 |
| • 泪腺 | • 相关结构 |

33 x 30 x 38 cm; 4.9 kg

VJ500A 1001264





病理学眼部模型, 5倍放大

该眼模型对于患者教育而言是非常理想的。视网膜和晶状体便于使用和更换, 也可使得讲解得以简化, 从而能够清晰解释由于存在以下疾病而导致的健康眼睛出现的典型变化:

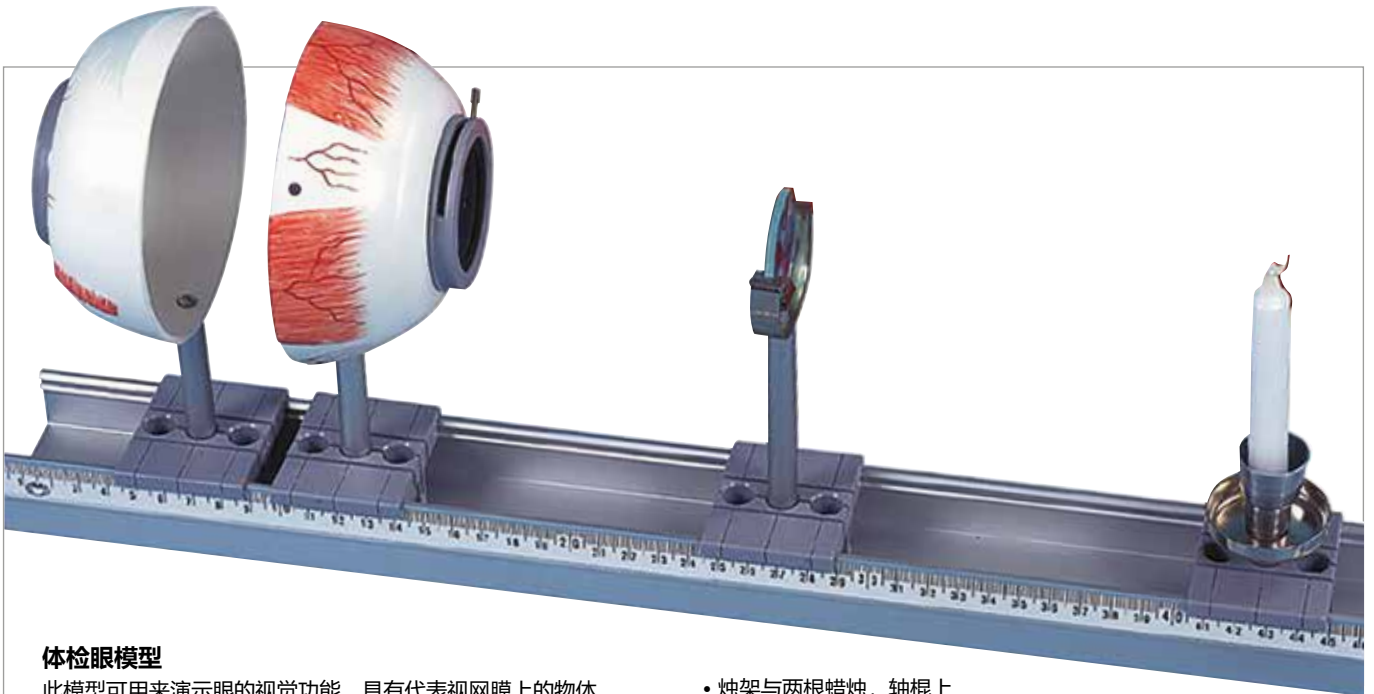
- 囊下皮质和核性白内障
- 糖尿病和高血压性视网膜病变
- 乳头状改变的青光眼
- 年龄相关性黄斑变性
- 视神经乳头水肿
- 视网膜中央动脉闭塞, 静脉闭塞
- 裂孔性视网膜脱离

26 x 26 x 21 cm; 0.73 kg

F17 1017230

视网膜和晶状体可以转换





体检眼模型

此模型可用来演示眼的视觉功能，具有代表视网膜上的物体(改变晶体曲光)可模拟近视和远视。

包括以下部分:

- 半球眼调节虹膜曲线，晶体支架和凸面晶体($f=65\text{mm}$ 和 80mm)，轴棍上
- 带视网膜的眼半球(透明屏幕)，轴棍上
- 晶体架及凹凸面正确晶体，轴棍上

- 烛架与两根蜡烛，轴棍上
- 铝杆，长 50cm ，4个滑夹
- 箱子

$49 \times 5.5 \times 18 \text{ cm}$; 2.0 kg

W11851 1003806

内核层和外核层



3B MICROanatomy™ 眼球模型

模型显示视网膜、脉络膜以及巩膜的微观结构。左侧模块显示视网膜的完整结构及其血管层组成，巩膜部位的光镜微观结构。模型右半部被部分放大，显示出感光细胞的显微结构以及色素层细胞的形态。

$25 \times 23 \times 18.5 \text{ cm}$; 1.2 kg

F16 1000260



耳鼻喉模型



台式耳模型, 1.5倍放大

展现外耳、中耳和内耳。

模型安装在底座上。

14 x 10 x 14.7 cm; 0.35 kg

E12 1000252



耳模型, 3倍放大, 4部分

此模型3倍真实尺寸, 展示外耳、中耳和内

耳。鼓膜, 锤骨, 砧骨, 镫骨, 2部分迷路及听小骨和听觉/平衡神经均可拆卸。

模型安装在底座上。

34 x 16 x 19 cm; 1.25 kg

E10 1000250



耳模型, 5倍放大, 3部分

这个高品质耳模型展示了外耳、中耳和内耳。

包含可拆卸的鼓膜与锤骨, 砧骨和镫骨

2部分迷路与耳蜗和听觉/平衡神经, 包含关闭中耳和内耳的两个可移动的骨头部分的细节

模型安装在底座上

25 x 41 x 25 cm; 3 kg

VJ513 1008553

▶ 部分可拆卸可供详细研究人耳解剖学!

耳模型, 3倍放大, 6部分

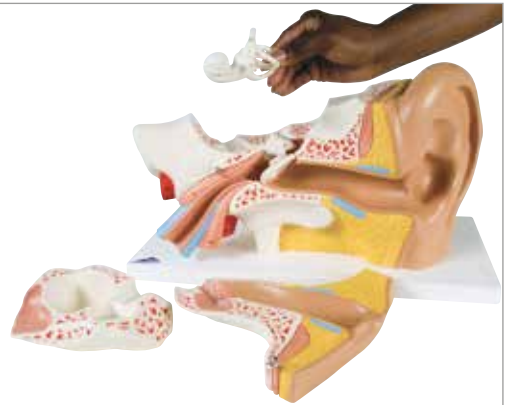
此高品质人耳模型展示了外耳、中耳和内耳。

此模型包含以下部分:

- 鼓膜, 锤骨, 砧骨, 镫骨
- 2部分迷路及听小骨和听觉/平衡神经均可拆卸
- 此外增加2块可拆卸骨层面以关闭中耳和内耳。

34 x 16 x 19 cm; 1.55 kg

E11 1000251



透明耳模型

此模型为正常尺寸的透明耳模型, 有助于观察耳道、鼓膜、镫骨、砧骨、马勒肌和内耳的耳蜗等结构。

7.9 x 7.6 x 5.8 cm

1019527

耳模型

此耳模型是一个真实尺寸的正常耳模型, 显示了耳的半圆管和耳蜗, 中耳的听骨、鼓膜、颞部和鼓膜张肌肌肉。

9.5 x 6.4 x 7 cm

1019526





功能型耳模型

此模型展示了鼓膜、听小骨、复杂内耳及耳蜗和基底听膜震动交互作用。内附镜可从模型上同时从各个角度研究各种耳功能。几个学生可同时一个模型上动态学习。包括四色解释图谱。

30 x 20 x 15 cm; 1.0 kg.

W16010 1005052



耳螺旋器

该模型展示的是整个耳蜗的三维截面，这是人体内耳中听觉感应所在位置。并特别强调了不同细胞成分及膜的详细展示。在突出位置有模型概览，也展示出了该器官在耳蜗中的准确位置。

26 x 19 x 26 cm

E14 1010005



3B BONElike™ 听小骨模型 20倍放大

这三个人体中相互连接的最小的骨骼位于中耳，被称为听小骨：锤骨(hammer)、砧骨(anvil)和镫骨(stirrup)。我们使用微型CT技术，采用按照实际标本铸造的方式，制造了这个实物20倍大小的模型。

17 x 12 x 21 cm; 0.4 kg

A100 1009697

听小骨模型, 20倍放大(未展示)

17 x 12 x 21 cm; 0.29 kg

A101 1012786



实物大小听小骨模型

根据真实标本铸造，具备真实自然的标本结构和自然位置，并包裹于亚克力中。

0.05 kg

E13 1000253

可拆卸的听小骨
和内耳迷路



➤ 在教室的任何地方都可以看到详细结构!

全球最大耳模型, 15倍放大, 3部分

由于是实物的15倍，此3部分模型适用于博物馆特殊收藏和大教学厅及大会场。清晰展示了外耳、中耳和内耳。听小骨、内耳迷路及耳蜗和前庭耳蜗神经可拆卸供详细研究。

模型安装在底座上。

130 x 120 x 60 cm; 52 kg

VJ510 1001266



鼻与鼻窦模型, 5部分

模型说明颜面右上部的鼻与鼻窦的组织结构, 1.5倍大小。下列结构可以从模型的外面看到, 均被标以不同的颜色(透过可拆卸的透明皮肤也可观察到):

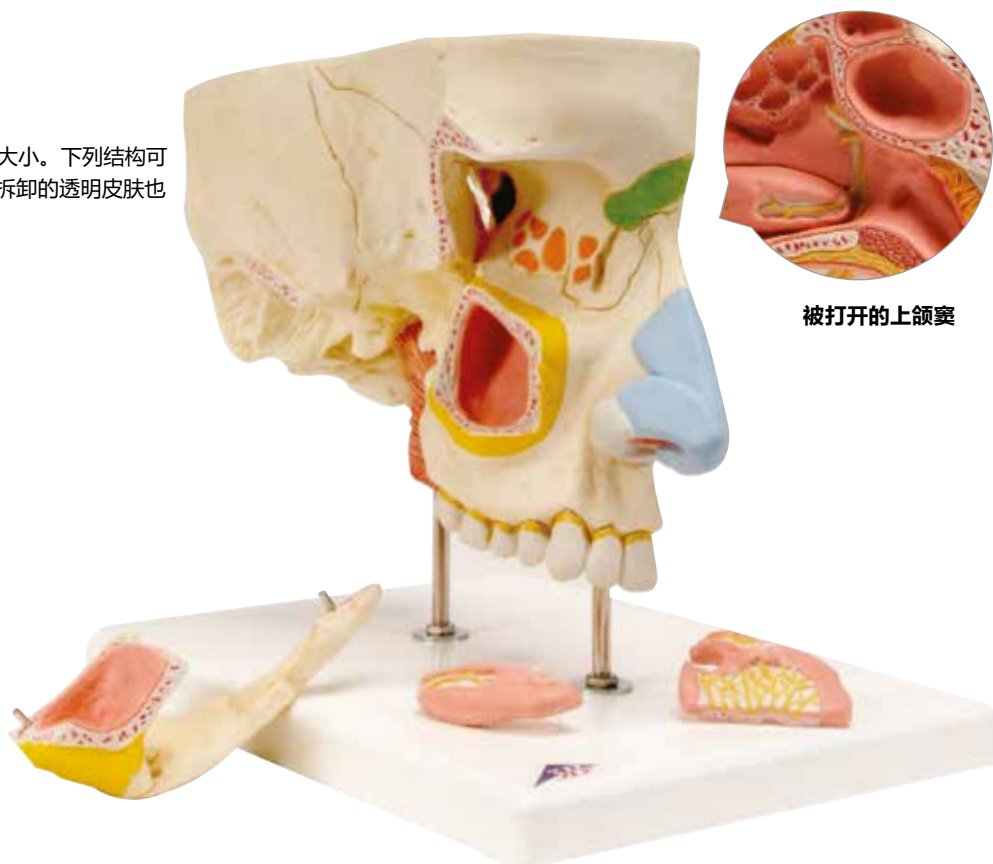
- 外部鼻软骨
- 鼻窦、上颌骨窦、额窦以及蝶窦
- 移除颧弓即可打开上颌窦

正中切面显示下列结构:

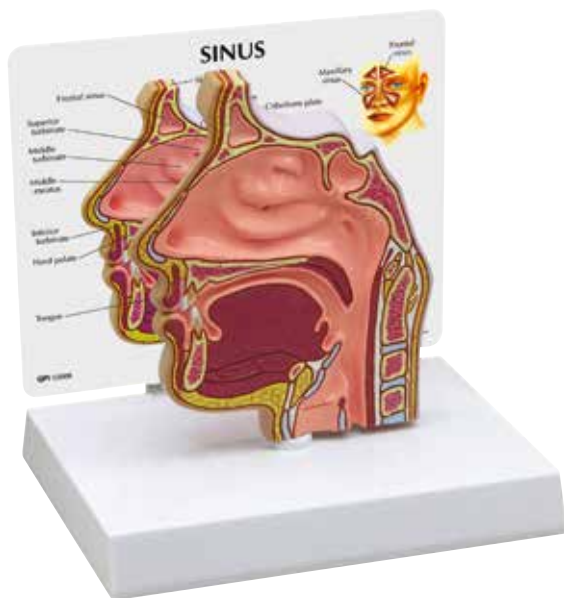
- 鼻腔衬有粘膜、鼻甲(可拆卸)
- 粘膜动脉
- 嗅觉神经
- 鼻腔外侧壁的神经分布, 鼻甲以及上颌硬腭

26 x 19 x 24 cm; 0.8 kg

E20 1000254



被打开的上颌窦



鼻窦截面模型

此模型是真实尺寸的矢状切面模型, 展示了靠近正中部分的鼻与鼻通道。模型一侧包含: 鼻腔、软硬腭、悬雍垂、咽鼓管和咽扁桃体。另一侧展示了筛骨和上颌窦腔。

11.4 x 1.6 x 13.3 cm

1019537



甲状腺模型

此模型包含4个甲状腺和1个喉。模型展示了正常甲状腺、桥本甲状腺炎(淋巴细胞性甲状腺炎)、Graves病、乳头状癌。喉模型包括舌骨、甲状腺膜、甲状软骨、环状软骨和气管。

1019548

喉部模型, 2倍放大, 2部分

此模型具有详细的解剖结构, 分为左右两部分。

模型中切面展示出以下部分:

- 喉
- 舌骨
- 气管
- 韧带
- 肌肉
- 血管
- 神经
- 甲状腺

14 x 14 x 28 cm; 0.29 kg

G22 1000273



咽喉模型, 2倍放大, 7部分

此模型具有详细精确的解剖结构。

此模型中切面展示出以下部分:

- 咽喉
- 舌骨
- 气管
- 韧带
- 肌肉
- 血管
- 神经
- 甲状腺

甲状软骨、2块肌肉和2甲状腺的一半可拆卸。模型安装在底座上。

12 x 12 x 23 cm; 0.8 kg

G21 1000272



功能型咽喉模型, 2.5倍放大

会厌, 声带及杓状软骨可拆卸。

另增加如下特征:

- 舌骨
- 轮状软骨
- 甲状软骨
- 甲状腺
- 甲状旁腺

模型安装在底座上。

9 x 9 x 14 cm; 0.66 kg

G20 1013870



功能型咽喉, 3倍放大

该功能性模型是语言障碍矫正的极好的工具!

会厌, 声带和杓状软骨均可拆卸。置于底座上。

32 x 13 x 15 cm; 0.8 kg

VC219 1001242

牙齿模型

病牙模型, 2倍放大, 21部分

此模型为真实尺寸的2倍大小, 便于观察和学习。16颗可拆装成人牙齿, 放大2倍。模型一半为8颗健康牙齿与牙龈, 另一半是病牙。

病齿包括:

- 菌斑
- 牙垢(酒石)
- 牙周病
- 牙根炎
- 裂纹型、邻接型以及平滑面龋齿

移开模型前端的骨组成部分可以看到牙根、血管与神经。两磨牙的长轴纵断面上可见牙齿的内部构造。模型安装在底座上。

25.5 x 18.5 x 18 cm; 0.6 kg

D26 100016



▶ 使用这款模型自带的巨型牙刷讲授正确的清洁技巧。



颌骨形状的支架

牙齿形态模型系列

7部分, 实物的10倍。侧切牙、犬齿、第一前磨牙、带金牙冠的人工第一臼齿以及第二臼齿均可拆卸。所有相关结构在模型上均有标识。置于透明、颌状架中。

70 x 25.5 x 15 cm; 2.1 kg

W42517 1005540



巨型牙齿护理模型, 3倍放大

此模型大得足以从教室后部看清楚, 显示了成人的上、下部活动关节使其移动自如, 用大牙刷教育孩子恰当的刷牙技术。

18 x 23 x 12 cm; 1.5 kg

D16 1000246

A. 半下颌模型, 3倍放大, 6部分

此模型代表了年轻人的左下颌。一部分骨可拆卸以展现牙根、海绵质、血管和神经。犬齿和第一臼齿可拆卸, 纵切开。

模型安装在支架上。

35 x 18 x 36 cm; 1.2 kg

D25 1000249



B. 带8颗龋齿的半下颌模型, 19部分

骨头的前半部分及所有的牙齿均可拆卸, 其中一颗为纵切的切牙。在该模型上可看见神经、血管、舌下腺和下颌下腺。模型上呈现了不同时期的龋齿, 从比较小且容易治疗的切牙龋齿, 到整个牙冠全被破坏、牙根完全显露的磨牙龋齿。通过该模型可告诉人们牙齿护理的重要性与必要性。

22 x 32 x 9 cm; 1.1 kg

VE290 1001250



C. 牙齿成长过程模型

扫描真实标本铸造而成, 包含4副上下颌, 4个不同的生长阶段:

- 新生儿
- 约五岁儿童
- 约九岁童
- 青年人

模型安装在支架上。

33 x 10 x 20 cm; 0.5 kg

D20 1000248

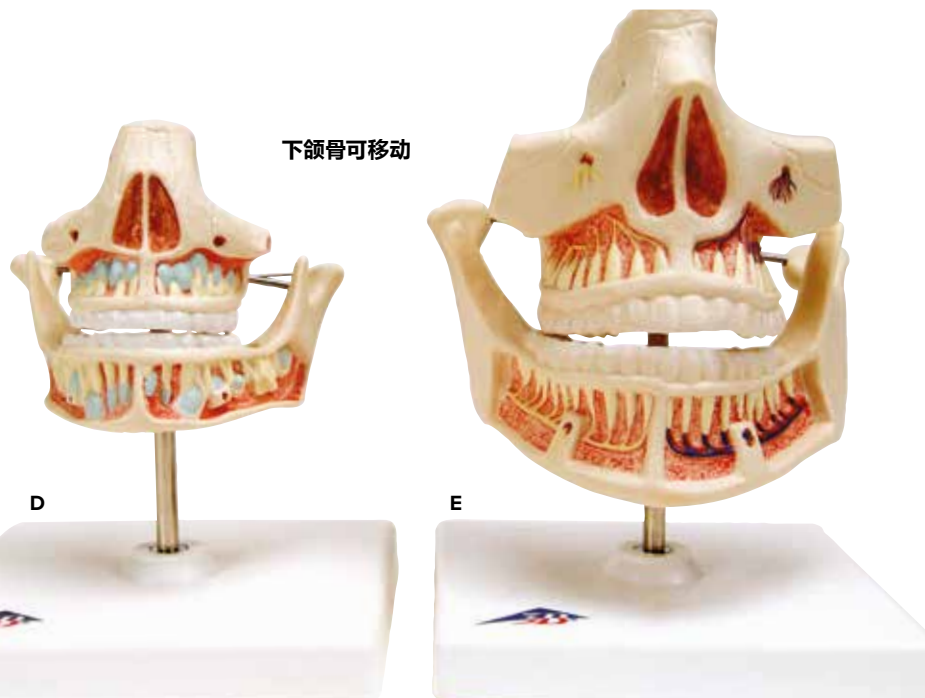
C

D. 恒牙模型

牙根、海绵质、血管、神经均显露。下颌可拆卸。模型安装在支架上。

16 x 12 x 13 cm; 0.9 kg

VE281 1001247



E. 乳牙模型

上下颌打开以显示所剩牙齿之排列。

模型安装在支架上。

13 x 12 x 13 cm; 0.6 kg

VE282 1001248

D

E



带龋的大臼齿模型, 15倍放大, 5部分

此模型仿造上颌3根臼齿, 分为5部分。它的纵切面展示了牙冠, 2个牙根和牙髓腔。包含可拆卸牙髓和3个牙根, 以及不同阶段的龋齿进展。模型安装在底座上。

24 x 12 x 13 cm; 1.5 kg

D15 1013215



3阶段龋齿可轻松更换

每个牙齿模型也可单独使用

经典牙齿模型

该经典牙齿系列模型展示出5种具有代表性的成人牙齿。并配有可取下的支架。

包含以下部分:

- 2部分组成的下切牙, 带纵向剖面
- 2部分组成的下犬齿, 带纵向剖面
- 下部单牙根双尖牙
- 2部分组成的下双牙根磨牙, 带有横剖面, 展示出龋齿情况
- 3部分组成的上三牙根磨牙, 带有横剖面, 存在龋齿。

该系列模型高度为23-29 cm。

各个牙齿在交付时都安装在底座上。

D10 1017588



下颌切齿纵切面模型
2部分
D10/1 1000240

下颌犬齿纵切面模型
2部分
D10/2 1000241

下颌单根前臼齿模型
D10/3 1000242

下颌双根臼齿纵切面模型, 2部分
D10/4 1000243

上颌三根臼齿纵切面模型, 3部分
D10/5 1017580



牙齿可被拔出的颅骨模型, 4部分

上下颌的牙齿可被拔出, 并各被全形牙根所代替。右下颌的骨板可打开以观察牙根、海绵层、神经管和一颗嵌入的智齿。自然呈现下颌关节。

- 每个牙齿都带有牙根
- 可重复练习
- 生物学仿真下巴

22 x 13.5 x 17 cm; 0.8 kg

W10532 1003625



透明的人类颌骨和牙齿模型

此模型为真实大小的透明的颌骨模型, 可以清晰的看到牙根。模型一侧显示健康的牙齿及咬合情况。另一侧显示了多种病理情况, 包括: 牙周炎、牙周病、侧脓肿、屈曲、不规则根曲率、埋伏尖牙、腐蚀、牙齿断裂、牙髓炎、根管与冠、内部吸收、消耗、外部吸收、植入体和断裂的根源。

7.1 x 6.4 x 6.4 cm

1019540

高仿真模型展示舌部的各种乳突和味蕾



可以轻松拆分



3B MICROanatomy™ 微观解剖舌模型

该舌部模型为微观解剖系列模型中的最新产品, 其引人注目之处在于将舌部的具体部位以放大的方式组合为一体, 展示了真实大小的舌宏观结构(背面观)以及各种舌乳头(实物大小的10-20倍)与味蕾(约450倍)的微观结构特征。这些宏观与微观结构均被装配在一底座上, 而底座的特色又在于它能显示舌的感受器分布与感觉神经的支配情况。该模型设计独到, 可供深入细致研究舌结构而用。

14.5 x 32.5 x 20 cm; 0.8 kg

D17 1000247

舌模型, 2.5倍放大, 4部分

此模型展现下颌到第二臼齿, 舌带口腔底肌的半切面以及右边舌下和颌下腺。置于可拆卸底座上。

23 x 17 x 16 cm; 0.8 kg

T12010 1002502

心脏模型

+

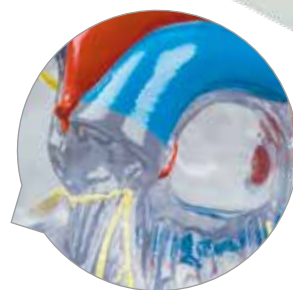
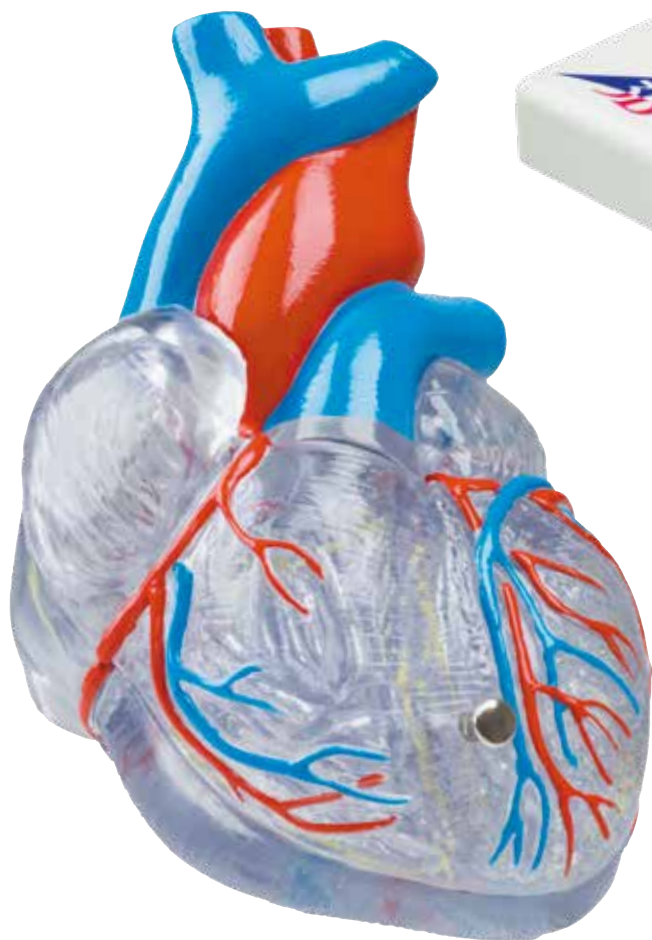
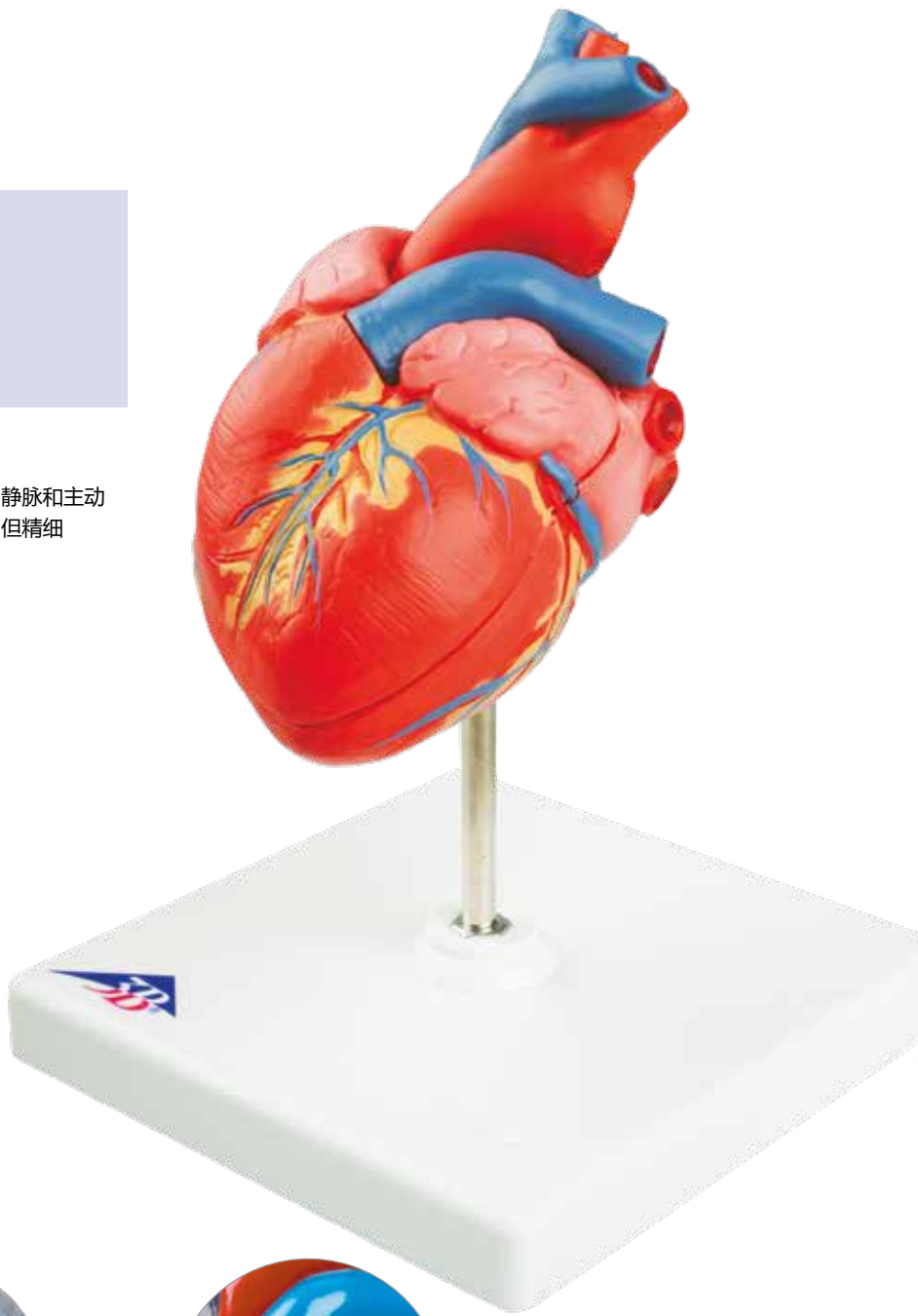
经典心脏模型

- + 可拆卸进行近距离观察学习
- + 非常适用于学生学习和患者健康教育
- + 采用结实耐用的材料制作

经典心脏模型, 2部分

这款心脏模型详细地展示心脏各解剖结构, 心室、心房、静脉和主动脉。前心壁可分解以显示心腔和内部瓣膜。略小于实物, 但精细详尽。置于基架上。

G08 1017800



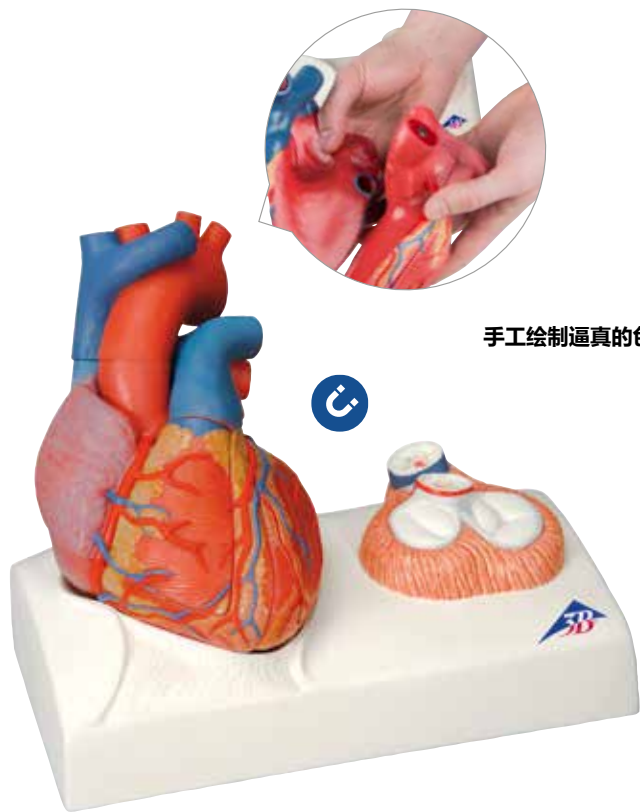
内部传导系统

带心传导系统的经典心脏模型, 2部分

此透明心脏模型具有完整的心脏解剖结构, 以及显示出心传导系统并用色彩标明, 前心壁可以拆卸。模型安装在可拆卸底座上。

19 x 12 x 12 m; 0.2 kg

G08/3 1019311



手工绘制逼真的色彩

› 根据人体标本扫描铸造, 具有真实大小尺寸

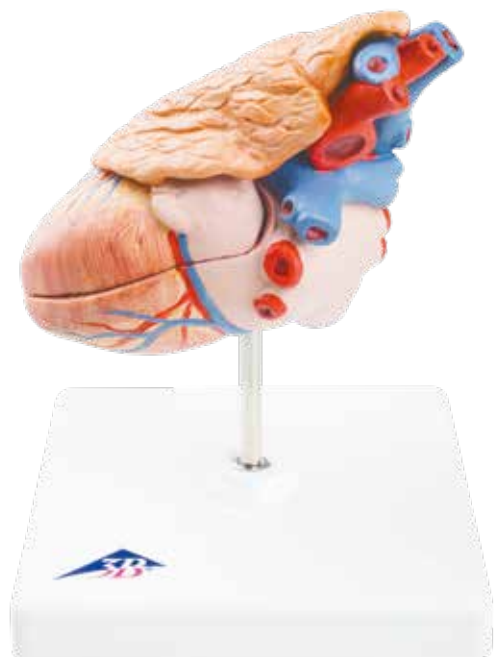
真实尺寸磁性心脏模, 5部分

使用该细节丰富的模型, 使得对于心脏舒张和收缩的学习更为便捷。其独特的剖析, 使得在心脏舒张期间, 肺动脉瓣闭合, 二尖瓣和三尖瓣打开的情况下, 对心脏瓣膜进行的观察更为容易。除此之外, 在底座上的第二个模型中展示了心脏收缩期间的二尖瓣和三尖瓣闭合, 和肺动脉瓣打开的情况。

- 易于打开, 磁力连接
- 细节极为丰富, 具有真实尺寸的模型
- 参照真实标本铸造而成
- 显示出心脏舒张和心脏收缩状态
- 手工上色, 色彩逼真

25 x 21 x 13 cm; 1.5 kg

G01 1010006



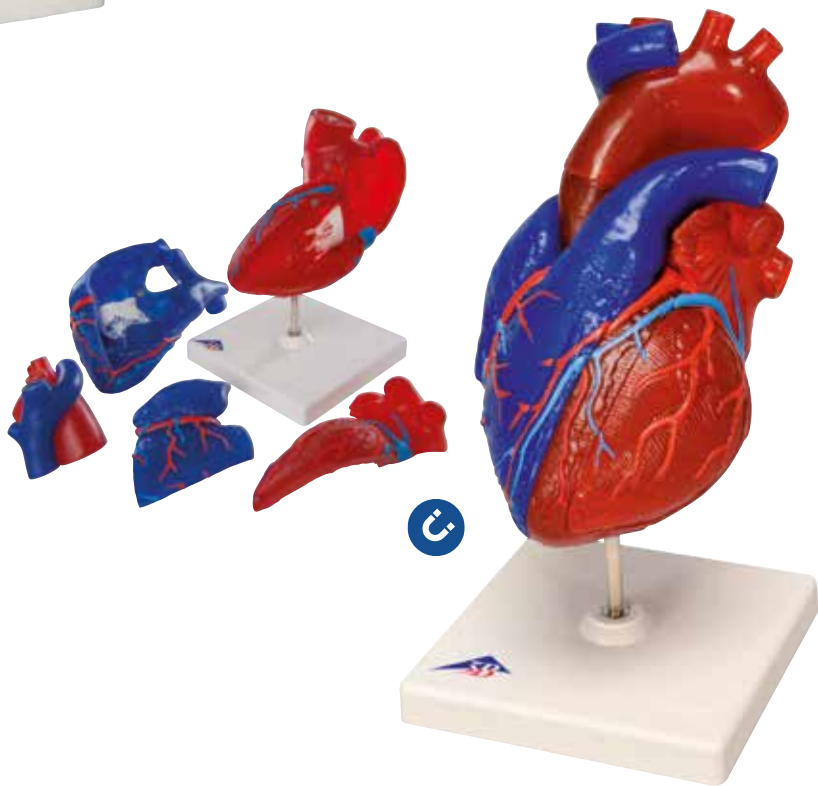
› 带胸腺组织

带胸腺的心脏模型, 3部分

此模型除包含经典心脏的所有特征外, 还增加胸腺组织, 显示出其大小以及与心脏的位置关系。

20 x 12 x 12 cm; 0.3 kg

G08/1 1000265



真实尺寸教学版着色心脏模型, 5部分

此模型由真实心脏标本铸造而成, 有助于学生更好的了解并掌握心脏的解剖结构和血流走行方向。模型可拆卸成5部分, 通过中间部分使得演示清晰易懂。此外模型以颜色划分区域, 红色代表富氧血液流经的心脏和血管, 蓝色代表低氧血液流经的心脏和血管。

13 x 19 cm; 0.6 kg

G01/1 1010007

► 放大的心脏模型, 便于识别所有解剖结构

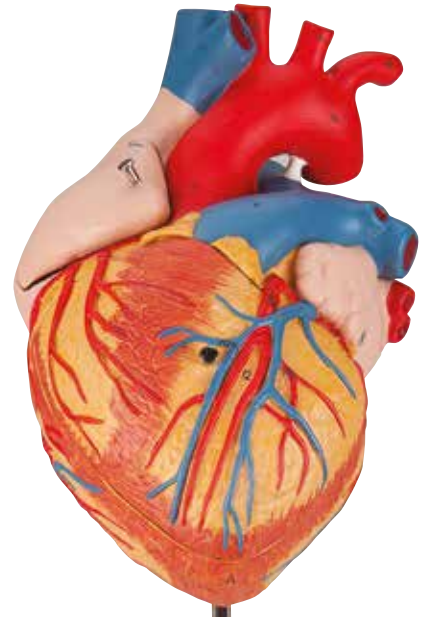
心脏模型, 2倍放大, 4部分

此模型详细再现了心脏的所有结构, 是真实尺寸的2倍大小, 是大课堂和演讲厅内理想的教学辅助手段。心房壁和心前壁可拆卸, 可对实际心脏进行专业化的详解。手工着色逼真再现了几十处解剖细节。

置于可拆卸底座上供货。

32 x 18 x 18 cm; 1.3 kg

G12 1000268



横膈膜上心脏模型, 3倍放大, 10部分

此心脏模型展现出真实心脏解剖结构, 并且表达了心脏与横膈膜间的关系, 真实尺寸的3倍大小, 心脏可从横膈膜上取下。

仿制于横膈膜(基)之上。

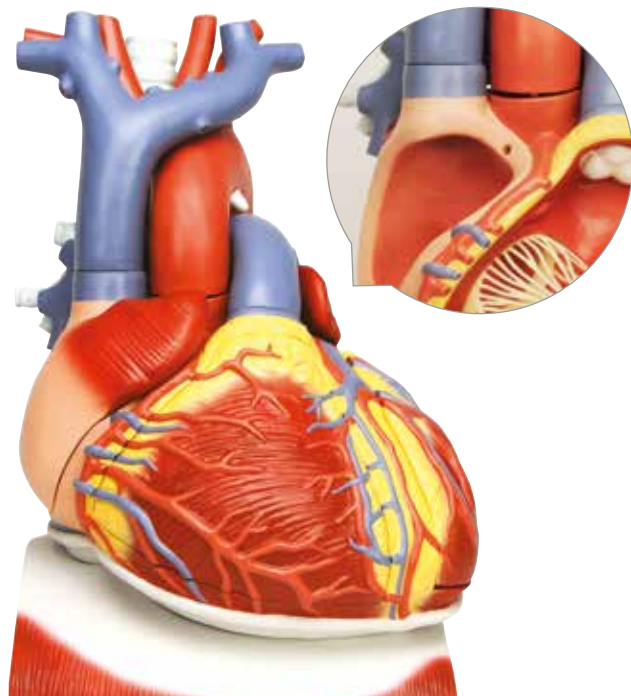
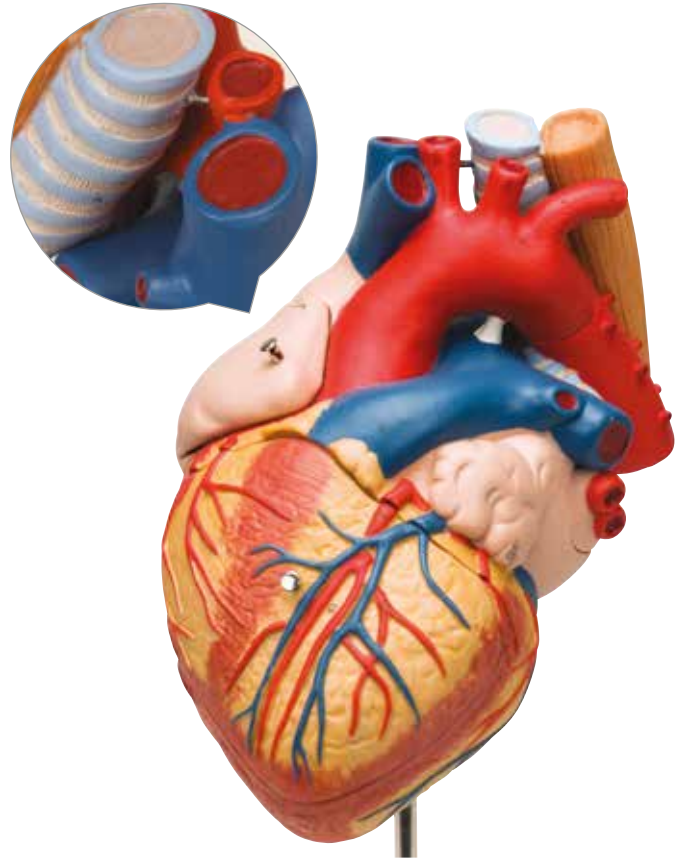
下列部分可拆卸:

- 食道
- 气管
- 上腔静脉
- 主动脉
- 肺动脉
- 两心房壁
- 两心室壁

提供多语言产品说明。

41 x 33 x 28 cm; 3.6 kg

VD251 1008547

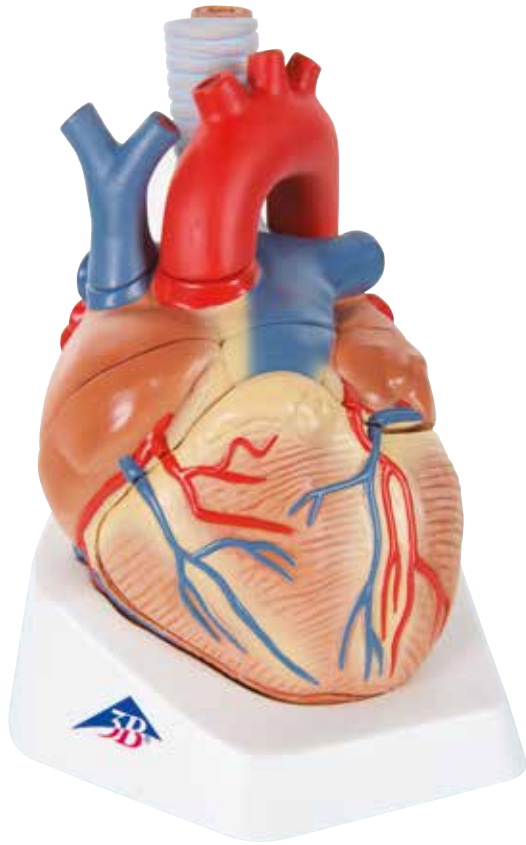


带有食管和气管的心脏模型, 2倍放大, 5部分

该2倍真实大小的心脏模型可非常容易地识别人体心脏中的所有结构。心房壁和心脏前壁可取下, 以展示其内部。除此之外, 食管的上半段, 主支气管以及升主动脉, 心脏前壁和心房都可取下。手工上色, 色彩逼真! 模型安装在可拆卸底座上。

32 x 18 x 18 cm; 1.3 kg

G13 1000269



心脏模型, 7部分

此模型展示出30多处不同的心脏解剖结构, 并可在瓣膜平面上水平分割。包含学习指南。

以下部分可拆卸进行详细观察:

- 食道
- 气管
- 上腔静脉
- 主动脉
- 心前壁
- 心脏上半部

模型安装在底座上。

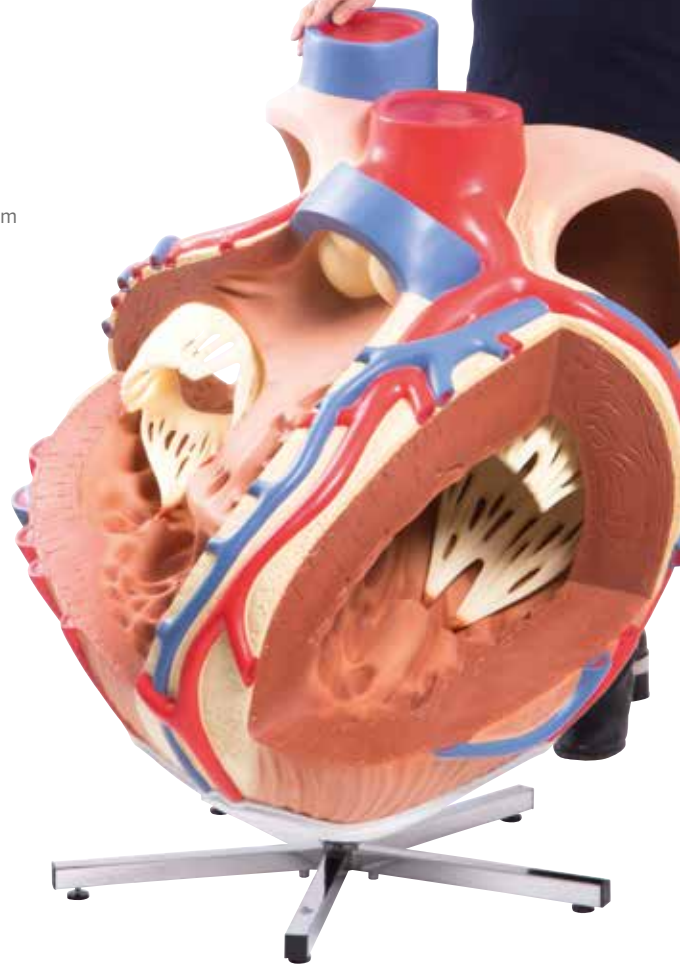
20 x 15 x 17 cm; 1.1 kg

VD253 1008548



准确模拟心脏瓣膜和主要血管

100 cm

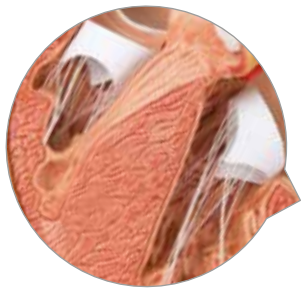


巨型心脏模型, 8倍放大

此巨大模型展示了心脏各详细部位! 是真实心脏的8倍大小。手工制作, 是展览的注意焦点, 特别适用于演讲厅。心室和心房开放以展现内部, 精确仿制了二尖瓣和连接心脏的主要血管以及冠状血管。置于基架上。

100 x 90 x 70 cm; 35 kg

VD250 1001244



左心室肥厚



> 心肌肥厚

左心室肥厚的心脏模型, 2部分

与G08特征一致, 此外, 这款独特模型展示了由高血压导致的增加心脏活动的长期后果。左心的肌肉壁显著增厚, 心尖明显变圆。

模型安装在可拆卸底座上。

20 x 15 x 16 cm; 0.45 kg

G04 1000261

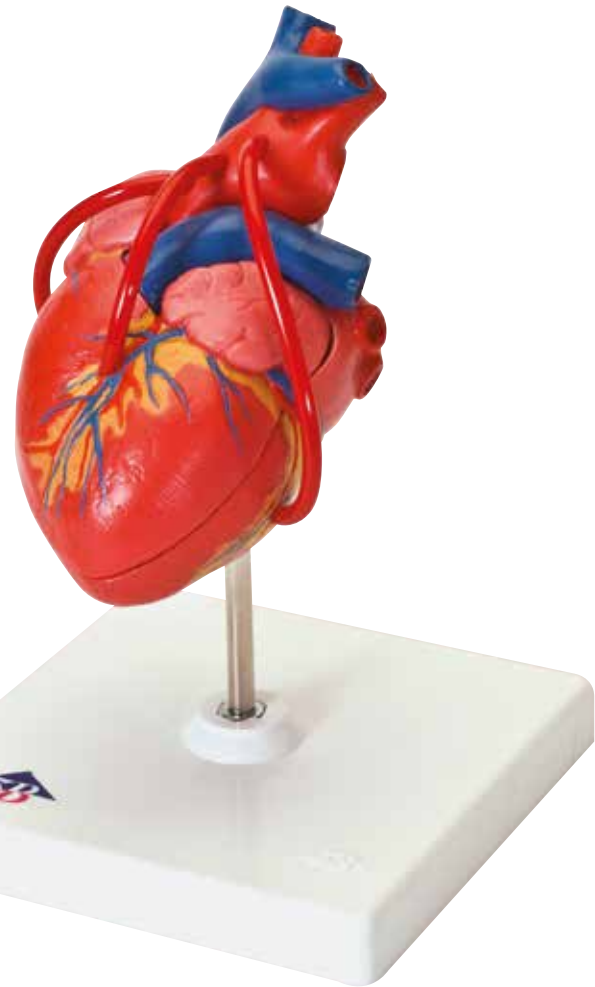
> 心脏搭桥

心脏搭桥的心脏模型, 2倍放大, 4部分

此模型是极好的教学辅助手段, 可用于大教室和演讲厅。心前壁可拆卸以显示内心腔。除心脏解剖外, 此模型还展示了右冠状动脉后侧支、室间支、左冠状动脉前室间支静脉旁路以及左冠状脉回旋支静脉旁路。置于可拆卸底座上。

32 x 18 x 18 cm; 1.1 kg

G06 1000263

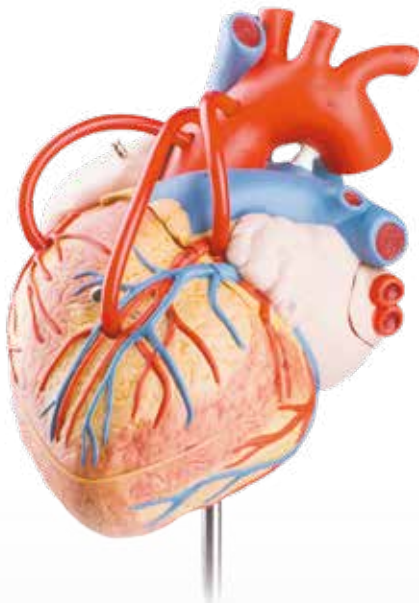


经典心脏搭桥模型, 2部分

此模型具备经典心脏模型G08所有特征外, 还包括血管搭桥到右冠状动脉, 左冠状动脉的前降枝和回旋枝的旁路, 用色彩分区显示。此模型是解释治疗冠心病的极好辅助手段。模型安装在可拆卸底座上。

19 x 12 x 12 cm; 0.35 kg

G05 1017837



准确展示循环系统解剖结构!



3B MICROanatomy™ 动脉和静脉

模型显示了一个中等大小的肌性动脉，有两条来自前臂区域的伴行静脉，附着着比邻的脂肪组织和肌肉，是真实组织的14倍大小。

• 模型说明了动脉和静脉相互的解剖关系，和静脉瓣基本的功能技术(“瓣功能”和“肌肉泵”)。

• 左侧的动脉和中间的动脉在上部的前段有开孔，揭示了横断面和纵断面及顶视图中，管壁结构的各个层次。

• 右侧的静脉的前段整个是打开的，显示了一个滋养静脉和两个静脉瓣，即“静脉瓣”，是通过两层内膜折叠形成。

• 在模型的后面，用两条静脉的释放来显示说明静脉瓣的功能部分。模型安装在底座上。

26 x 19 x 18.5 cm; 0.9 kg

G42 1000279



动脉粥样硬化4阶段模型

此模型展示了动脉粥样硬化的4个阶段。通过动脉横截面展示出导致粥样硬化的原因是脂肪组织(胆固醇)堆积和斑块的形成。

4个阶段包括：正常动脉、脂肪堆积、纤维斑块形成、动脉堵塞。这些发展会导致血流减少，从而导致血栓或栓塞。4个模型安装在同一个旋转把手上，因此方便携带。

8.1 x 3.2 x 4.6 cm

1019532



动脉硬化模型, 带有动脉的横截面, 2部分

使用该模型, 可以很方便快捷地解释因为动脉硬化导致的血管变化。该水平分段的动脉通过四个阶段展示了动脉硬化性改变, 从轻微沉积到血管完全堵塞。

该型安装在底座上。

15 cm; 0.2 kg

G40 1000278

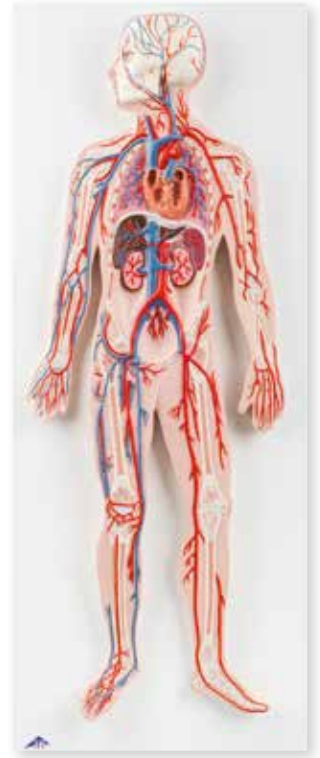


高血压对器官影响展示模型

此模型为高血压对器官影响展示模型, 包含: 大脑、眼睛、心脏、肾脏和动脉。教育卡片描述了与高血压有关的脏器病变, 如: 眼球病变、动脉硬化、动脉斑块、肾衰竭和中风。

16.5 x 12.7 x 27.9 cm

1019572



血液循环系统模型

此立体模型为实物的1/2, 详细展示出以下循环系统:

- 动脉/静脉系统
- 心脏
- 肺
- 肝
- 脾
- 肾
- 部分骨骼

模型通过彩色分区, 并安装在底座上, 是非常精确的教学辅助用具。

80 x 30 x 6 cm; 13.6 kg

G30 1000276



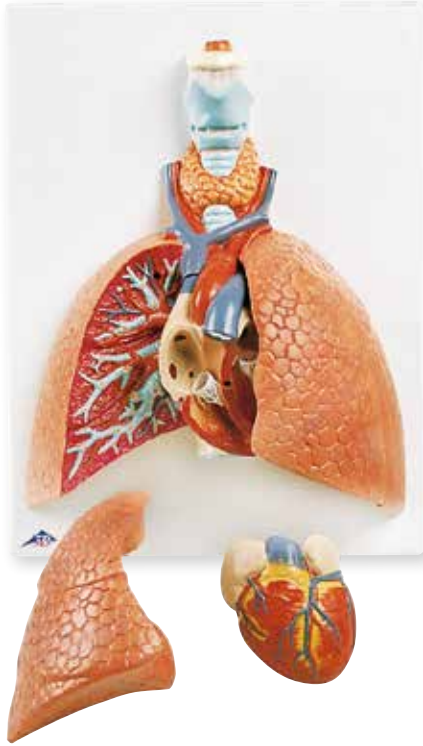
动脉模型

模型模拟了一个巨大的“Y”型动脉分支, 部分动脉被打开, 显示出内部胆固醇堆积。

15.9 x 5.1 x 10.2 cm

1019531

肺部模型



喉肺部模型, 5部分

此高品质模型由5部分组成, 心脏和肺可以拆卸, 肺部打开后可以查看肺内动静脉, 心脏打开后可查看内部瓣膜结构, 模型安装在底座上。

12 x 28 x 37 cm; 1.25 kg

VC243 1001243



彩色教学肺部模型

该高级肺部模型可拆解为两个肺叶和单个分段。其单个分段采用不同颜色标记, 可以非常方便地在支气管树上识别出其位置。支气管树包含肺叶支气管和肺段支气管。所有分段都使用磁体连接在一起, 可安全方便地搬运。

25 x 25 x 35 cm; 4 kg

G70 1008494



喉肺部模型, 7部分

此高品质喉肺部模型安装在底座上, 由7部分组成, 可以拆卸进行详细观察。

31 x 41 x 12 cm; 2.2 kg

G15 1000270

喉支气管树及透明肺整合模型

该模型是根据人(男性, 大约40岁)的计算机断层扫描成像(CT)资料特制而成的。其独到之处在于, 用逼真方法形象显示了肺段支气管的三维空间结构以及相互位置。喉部可以在第二气管软管水平面拆卸。安装的会厌能够灵活地弯曲, 各节段支气管由弹性材料制成, 用各种透明的颜色进行描绘, 使其更易于分辨。透明肺可以拆卸。

19 x 18 x 37 cm; 1.3kg

G23/1 1000275



喉支气管树及透明肺整合模型

与G23/1相同, 但是没有透明肺结构。

22 x 18 x 37 cm; 0.43 kg

G23 1000274



带有周边血管的肺小叶模型

该模型显示了放大130倍时的表面肺叶, 呈现以下: • 段支气管, 及其终端分支(小支气管) • 右边打开的肺 • 肺血管和毛细血管网 • 支气管动脉分支 • 肺胸膜 • 左侧结缔组织隔膜 • 后侧放大大约1000倍的单个打开肺泡与其周围毛细血管网络模型架上的图示法显示了空气在肺中的肺泡上升的路径。

26 x 13 x 19 cm; 1.4 kg

G60 1008493



COPD 模型

COPD是一种慢性肺部疾病, 带有严重的气道变窄症状。该模型展示了支气管组织的变化, 由正常变为永久性损伤, 以及在用药之后的变化, 使人印象深刻。

15 x 11 x 7.9 cm; 0.18 kg

G50/1 1012788

4段支气管模型套装

此模型是4段支气管截面模型, 展示了哮喘和慢性支气管炎的组织变化。4个阶段分别为: 正常支气管、粘液分泌增多、淋巴肿胀汇聚、平滑肌痉挛。此模型展示部分包括: 软骨、粘液腺和栓塞、螺旋平滑肌、纤维结缔组织、支气管上皮细胞。所有模型都安装在同一个把手上。

9.4 x 3.8 x 4.4 cm

1019547



消化和泌尿系统模型



消化系统模型, 3部分

实物大小模型用曲线展示了整个消化系统。

特征如下:

- 鼻
- 口腔咽喉
- 食道
- 胃肠道
- 肝与胆囊
- 胰
- 脾

十二指肠、盲肠和直肠开放。横结肠和胃前壁可拆卸。肝、胃、横肠可以移除。模型安装在底座上。

81 x 33 x 10 cm; 4.4 kg

K21 1000307

消化系统模型, 2部分(未展示)

与3部分组成的模型具有相同的特征, 不具备可取下的一半的胃部。

K20 1000306



3B MICROanatomy™ 消化系统模型, 20倍放大

模型以图解的方式说明了组成消化系统4大特征性部位, 并展示了精美组织结构。

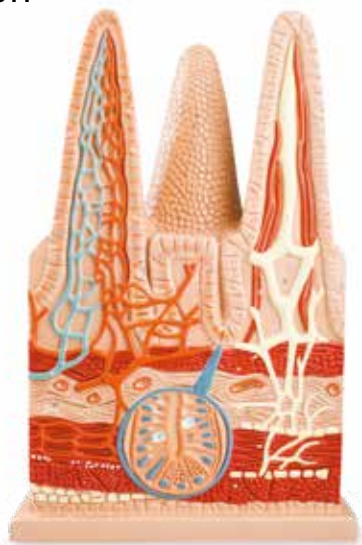
具体包含以下几部分:

- 食管
- 胃
- 小肠
- 大肠

在模型的正面, 自上而下显示消化系统各个部分的断面组织结构放大视图, 并可见到精美的组织构成特点。模型背面, 正面部分需要强调的组织成分, 极具教学吸引力。

29.5 x 26 x 18.5 cm; 1.5 kg

K23 1000311



肠绒毛膜模型, 100倍

此模型包括整个绒毛, 一纵切面显示了毛细动脉和静脉, 另一绒毛切面展示了淋巴血管。此模型还包括肠腺纵切面。模型安装在底座上。

43 x 28 x 10 cm

W42507 1005532



胃模型, 3部分

此模型显示了从贲门到幽门的完整结构, 与K15特征一致, 增加了可拆卸的十二指肠与胰腺。

展示了以下特征:

- 食管下段
- 血管
- 神经
- 十二指肠
- 胰腺

模型安装在底座上。

25 x 22 x 12 cm; 0.8 kg

K16 1000303

胃模型, 2部分

此模型与一面K16具有相似特征, 胃前半部可拆卸, 但没有十二指肠和胰腺。安装在底座上供货。

25 x 22 x 12 cm; 0.6 kg

K15 1000302

胃束带模型

一种让人印象深刻的教具, 供进行患者教育之用! 该模型基于两部分组成的胃部模型开发而成, 带有一个SAGB Quick Close®

胃束带。在保守治疗不成功的情况下, 胃束带通过外科手术插入, 用以治疗病态肥胖症。该模型是向患者解释此装置的极为适合的教具。

3 x 3 x 4 cm; 0.5 kg

K15/1 1012787

胃溃疡模型

此病理模型演示了从轻微胃溃疡到穿孔的胃炎各个阶段。实物的一半大小, 胃剖切面的食道和十二指肠。

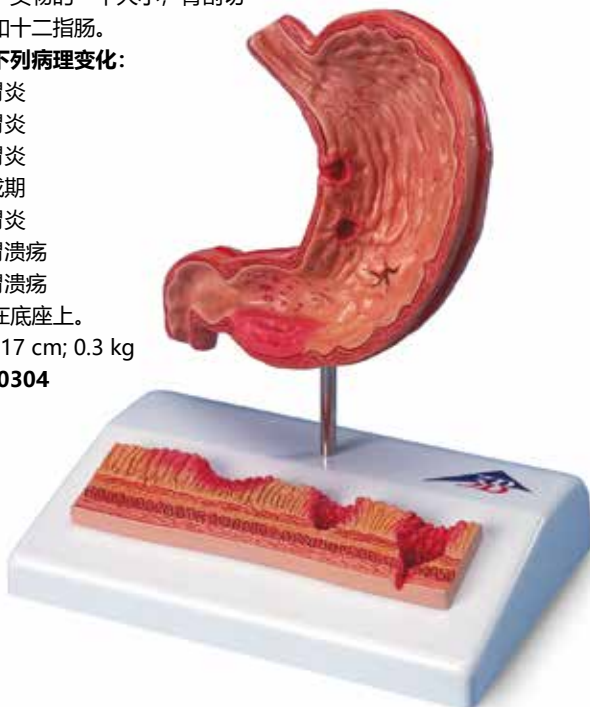
模型显示下列病理变化:

- 红斑状胃炎
- 糜烂性胃炎
- 出血性胃炎
- 瘢痕形成期
- 萎缩性胃炎
- 出血性胃溃疡
- 穿孔性胃溃疡

模型安装在底座上。

14 x 10 x 17 cm; 0.3 kg

K17 1000304



2部分组成的胃模型





带胆囊的肝模型

逼真的肝胆模型展示以下结构：

- 4叶肝
- 肝外管道
- 肝门血管

置于可拆卸底座上。

18 x 18 x 12 cm; 0.5 kg

K25 1014209

肝、胆、胰和十二指肠模型

此高级立体模型展示了肝以及以下结构：

- 管道
- 胆囊
- 胰
- 十二指肠
- 血管
- 肝外道与胆管
- 主胰管和管口

模型安装在底座上。

4 x 20 x 18 cm; 0.8 kg

VE315 1008550

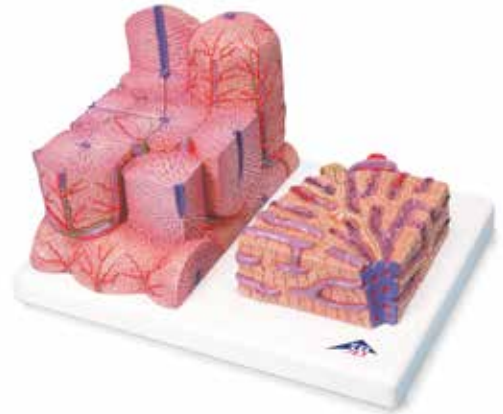
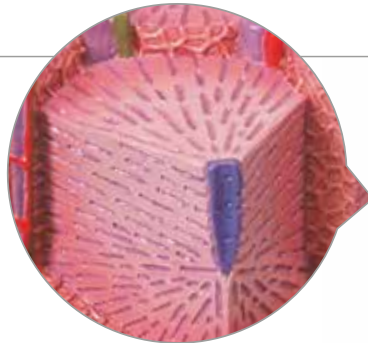


3BMICROanatomy™ 微观解剖肝脏模型

有两部分组成的肝脏模型显示出部分组织的高倍放大视图：左侧部分显示肝脏的肝小叶结构，右侧即为左侧肝小叶的高倍放大结构。

15 x 26 x 18.5 cm; 0.7 kg

K24 1000312

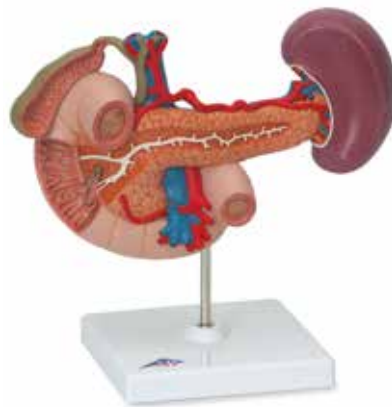


肾脏血管模型, 2部分

模型显示肾与肾上腺的结构。还有输尿管、肾血管以及肾临近部位的大血管(实物大小)。右肾的前半部移开后能显示肾盂、肾盏、肾皮质以及肾髓质。模型安装在底座上。

21 x 18 x 28 cm; 1.0 kg

K22/1 1000308

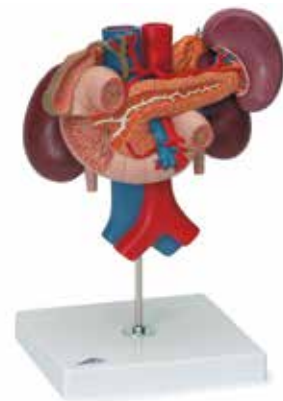


上腹部后位器官模型

模型显示十二指肠(部分切开)、胆囊与胆管(切开)、胰腺(显示大量导管)、脾以及周围的血管(实际尺寸)。模型置于底座上。

23 x 12 x 20 cm; 0.55 kg

K22/2 1000309



肾与上腹部后位器官模型, 3部分

此模型是模型K22/1与K22/2结合在一起而成的。上腹部器官附着在自然位置上，可以同肾脏分离。模型安装在底座上。

24 x 18 x 29 cm; 1.4 kg

K22/3 1000310

病理模型



食管病理模型

此模型高度仿真食管的多种疾病表现。

仿真的疾病有：

- 反流性食管炎
- 溃疡
- Barrett 溃疡
- 食道癌
- 食道静脉曲张
- 食管裂孔疝

模型安装在底座上。

14 x 10 x 19 cm; 0.2 kg

K18 1000305



胆结石模型

该立体模型显示胆管系统的解剖学特征，其周围组织为实物的一半大小。急性炎症(胆囊炎)与慢性炎症所引起的组织变化都可以在胆囊壁上显示出来。

结石的典型发生部位是：

- 胆囊底区域
- 螺旋瓣区域
- 胆总管区域
- 小肠的乳突开口处

可置于底座上。

14 x 10 x 19 cm; 0.2 kg

K26 1000314



痔模型

模型为实物大小的直肠纵切面结构，并显示一小部分附加结构。除显示直肠的解剖结构(括约肌，粘膜，静脉丛)，之外还显示内痔的I期、II期以及外痔的形态变化。附加结构显示II、IV期的痔形态。模型安装在底座上。

14 x 10 x 14 cm; 0.2 kg

K27 1000315



肠道病理模型

该模型展示出在结肠与直肠中常见的良性与恶性变化。其中包括憩室、息肉、痔、瘻、裂隙、慢性炎症(克罗恩病与溃疡性结肠炎)，以及不同阶段的肠癌。

21 x 17 x 27 cm; 1.0 kg

K55 1008496

病理性直肠截面放大模型

此模型为放大1.5倍的病理性直肠截面模型。

显示了以下几种病理情况：溃疡性结肠炎、内外瘻、内外痔、环状癌、无梗息肉、粘膜下血肿、皮垂、花梗息肉、坐骨直肠间隙脓肿、盆腔直肠脓肿、隐窝炎、憩室、尖锐湿疣、裂隙和扁平湿疣。

14 x 6.4 x 17.8 cm

1019557



肾结石模型

肾盂、肾盂与输尿管被切开以便于观察出典型位置的凝固物或结石:

- 肾锥体区域
- 盖上部起始区域
- 肾皮质
- 肾盂下部的导管区, 充血导致肾盂减少(部分闭合、部分开放)
- 输尿管

4种颜色显示不同的肾结石特点。

14 x 10 x 16.5 cm; 0.18 kg

K29 1000316



肾脏与肾上腺模型, 2部分

该模型肾脏的前半部分可以取下, 从而展示皮质髓质和血管。肾脏的肾盂也同样得以展示。在该肾脏解剖学模型中, 包含了20种重要的结构。

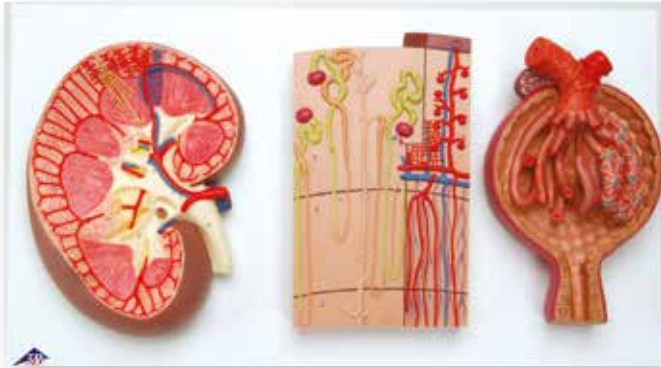
此模型包含以下结构:

- 肾和肾上腺
- 肾和肾上腺血管
- 尿道上部前半肾可拆卸以演示皮质、髓质和血管以及肾盂

模型安装在底座上。

20 x 12 x 12 cm; 0.3 kg

K12 1014211



肾切面, 肾单位, 血管和肾小体模型

3个模型(K10, K10/1, K10/2)的完整系列, 详细研究肾和肾的各种不同结构。

人体肾脏模型显示的是:

- 右肾的纵剖面, 是真实尺寸的 3倍。
- 肾元, 展示的是穿过肾皮质和髓质的断面。肾元具有带近端和远端肾曲小管的肾小体, 髓袢, 集合小管和血管, 实际大小的120倍。
- 第三个肾脏切面展示出打开的肾小体, 带肾小球和肾小囊, 是人体肾脏实际大小的700倍。

模型安装在底座上。

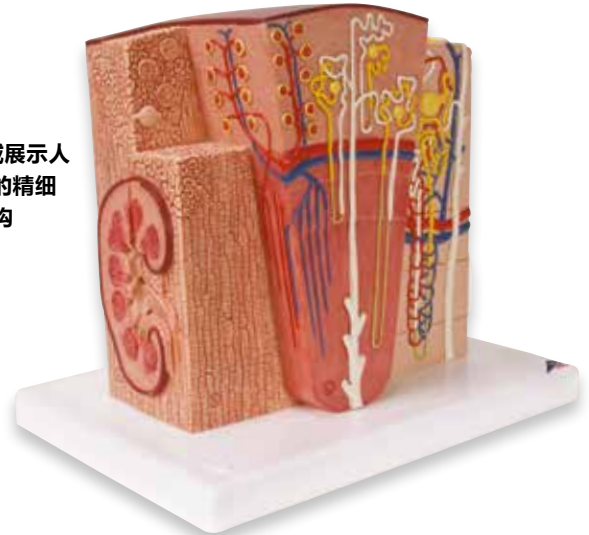
29 x 52 x 9 cm; 2.8 kg

K11 1000299

独立模型:

- | | |
|--------|----------------------|
| 肾脏 | K10 1000296 |
| 肾单位和血管 | K10/1 1000297 |
| 肾小体 | K10/2 1000298 |

6个区域展示人类肾脏的精细组织结构



3BMICROanatomy™ 微观解剖肾脏模型

模型极尽详实的展示了肾脏的形态特征及功能单元结构的放大像。

6个模拟区域以图解的方式说明肾脏的精美组织结构:

- 肾脏纵断面
- 肾脏的皮质与髓质
- 肾叶的楔形结构, 其带有肾单位结构示意图——三个肾单位带有不同长度的髓袢导管, 以及肾脏血液供应的图示
- 示意图说明带有短髓袢的肾单位以及血液供应
- 示意图说明肾小球的—个切开肾小球结构以及肾小管近端、远侧部的光学显微镜横断像
- 切开的肾小球示意图及说明具有很强的教学吸引力

模型安装在底座上。

23.5 x 25.5 x 19 cm; 1.3 kg

K13 1000301

1/2真实尺寸的前列腺模型

前列腺模型提供了男性生殖器官的横截面，展示出健康的前列腺，带膀胱、尿道、睾丸、耻骨和直肠。因为前列腺变化导致的尿道变窄可通过前列腺模型基座上的四个横截面图清晰展示。

13.5 x 10 x 14 cm; 0.24 kg

K41 1000319



基础肾切面模型, 3倍放大

该彩色的解剖学准确的模型，详细展示了人体右肾的纵向剖面。人体肾脏的所有重要结构都得以显示。未包含底座板。

8.5 x 19 x 26 cm; 0.9 kg

K09 1000295

各部分结构编号便于识别

3/4真实尺寸男性泌尿系统模型

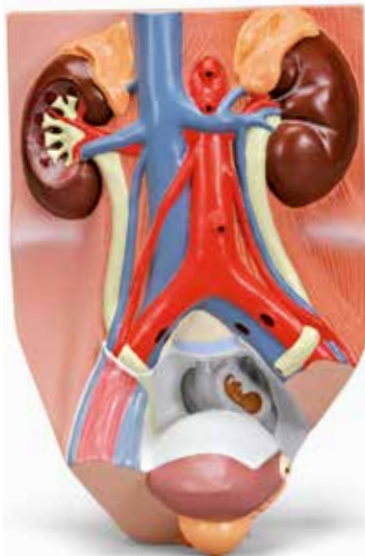
此泌尿系统模型非常详细的显示了腹膜腔结构。右侧肾为开放式，展示内部构造。

腹膜后腔结构详细展示如下：

- 下腔静脉
- 肾静脉
- 腹主动脉及分枝
- 髂血管
- 尿道
- 膀胱
- 前列腺
- 肾上腺
- 直肠
- 肌肉右肾打开

10 x 18 x 26 cm; 1.0 kg

VF325 1008551



两性泌尿系统模型, 6部分

人体泌尿系统二合一模型，其中一个肾的前半部可拆卸。可以轻松替换前后拆分的男性插件(膀胱、前列腺)和左右拆分的女性插件(膀胱、子宫、卵巢)。模型安装在底板上。

包含更多细节，此模型展示：

- 腹膜后腔结构
- 下腔静脉
- 上尿道
- 肾及肾上腺
- 大小骨盆及骨和肌肉
- 腹主动脉含髂血管
- 直肠

模型安装在底座上。

41 x 31 x 15 cm; 2.3 kg

K32 1000317

妊娠期模型



12个阶段的胚胎发育模型

此模型代表人类生殖细胞从受精到妊娠第二个月结束的12个阶段。

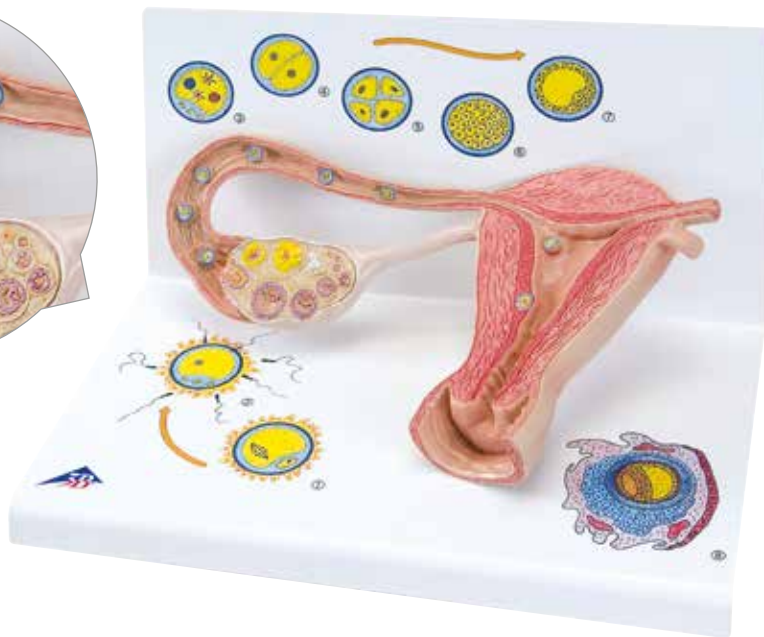
每个阶段可以单独从底座上取下观察：

1. 卵子与精子受精结合
2. 受精卵2细胞期，受精后30小时
3. 受精卵4细胞期，受精后40-50小时
4. 受精卵8细胞期，受精后50小时
5. 桑椹胚
6. 囊胚，约4天后
7. 囊胚，约5天后
8. 囊胚，约8-9天
9. 生殖细胞，约第11天
10. 生殖细胞，约第20天
11. 妊娠一个月的胚胎
12. 妊娠两个月的胚胎

VG391 1001257



登录官方网站 3bscientific.com 查看更多妇产科模型！



易于理解的教育模型

不同阶段的受精与胚胎发育模型, 2倍放大

模型用图解法向您说明卵子的成熟、排卵与受精的是怎样进行的，以及受精卵发育至不同的时期，其植入子宫壁的部位并开始向胚胎方向生长。以放大的方式显示不同阶段的卵巢、输卵管、子宫内发生的形态变化。并且有各个时期的更高倍放大图示印在底座上。

35 x 21 x 20 cm; 1.2 kg

L01 1000320



100 妊娠期模型

胎儿模型, 25倍放大

显示约4周的胚胎。为真实尺寸的25倍, 同时具备解剖细节编号。

12 x 12 x 23 cm; 0.3 kg

L15 1014207

Numbered details!



妊娠系列模型, 5个模型

此系列包括五个模型, 显示了最重要的发育阶段。分别是第一个月, 第二个月, 第三个月, 第五个月和第七个月带可拆卸胎儿。所有模型放置在一个底座上。

13 x 41 x 31 cm; 2.1 kg

L11/9 1018633



所有模型可单独销售

3B Scientific® 妊娠系列模型

最受欢迎的系统模型, 包括8个模型, 展示了所有阶段的发展过程。胚胎第4周到第7个月的胎儿模型, 供研究人的发育。所有胚胎或胎儿模型都在子宫中特有的位置上, 每个都分别安装在独立的支架上。后期发育的5个阶段胎儿模型可取下。

L10 1018627

豪华型妊娠与胚胎模型

包含以上妊娠模型, 此外增加初期胚胎模型, 4周龄, 25倍真实大小。

L11 1018628

本系列模型中包含:

- 一个月大胚胎 L10/1 1000322
- 两个月大胚胎 L10/2 1000323
- 三个月大胚胎 L10/3 1000324
- 四个月大胚胎(横位) L10/4 1000325
- 五个月大胚胎(臀位) L10/5 1000326
- 五个月大胚胎(肩先露) L10/6 1000327
- 五个月大胚胎(正常体位) L10/7 1000328
- 七个月大胚胎 L10/8 1000329

> 高品质, 外观真实!

妊娠骨盆, 3部分组成

该解剖学模型是孕40周沿着女性骨盆矢状面展示, 带有可取下的胎儿。使用这一模型可研究或展示分娩之前胎儿的正常位置, 带有人体生殖系统和泌尿系统。在底座上安装了一个孕3个月的带胚胎的子宫, 用以补充细节信息和加以比较。该逼真的高质量的女性骨盆包含女性生殖器官以及其他重要的解剖学细节。

38 x 25 x 40 cm; 3.8 kg

L20 1000333



正中矢状切面胎儿可取出



婴儿出生演示骨盆模型

此模型展示了分娩过程中胎头通过骨盆的过程。模仿物包括带耻骨联合的女性骨盆、髌骨、骶骨、尾骨和两根椎骨。胎儿头颅置于弯曲架上。置于底座上供货。

33 x 26 x 18 cm; 1.8 kg

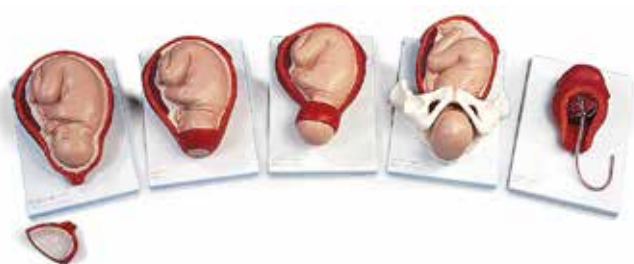
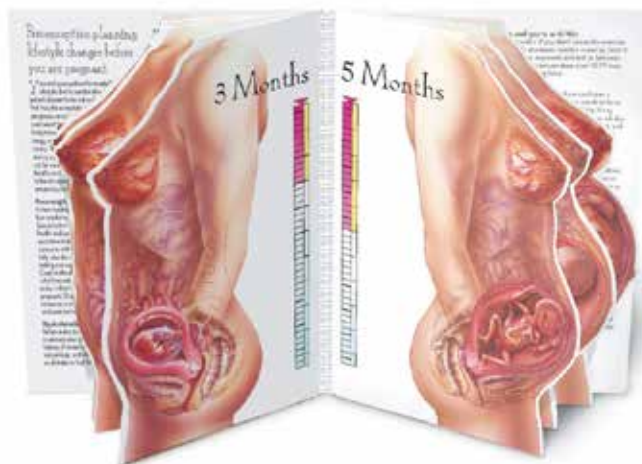
L30 1000334

子宫中的胎儿：“妊娠”展示图

使用该真实尺寸的妊娠展示图，方便了解从怀孕到产后六周的解剖学发展过程。本产品只提供英文版本。

45.7 x 61 cm

W43076 1018275



分娩过程, 5个阶段

此模型展示人类分娩5个阶段，分别分别置于单独的底座上。

- 胎儿在子宫内，宫颈口关闭
- 胎儿在子宫内，宫颈口扩张
- 胎儿在子宫内，头开始通过宫颈口
- 胎儿在子宫和骨盆内，头已娩出
- 胎盘在子宫内

17 x 28 x 46 cm; 8.6 kg

VG392 1001258



分娩挂图

该挂图探讨了胎儿分娩的阶段以及人类分娩的解剖学详细信息。高档铜版纸印刷。

51 x 66 cm

VR1555UU 4006704

妇科病患者教育模型

该模型是展示以及练习女性避孕装置插入的理想模型。其中包括女用避孕套、宫颈帽、阴道环、膜片和宫内节育器。可以插入不同类型的宫内节育器，如环形、碗型或方形，在子宫脱垂或尿失禁的情况下使用，透明部分可以观察内部情况。

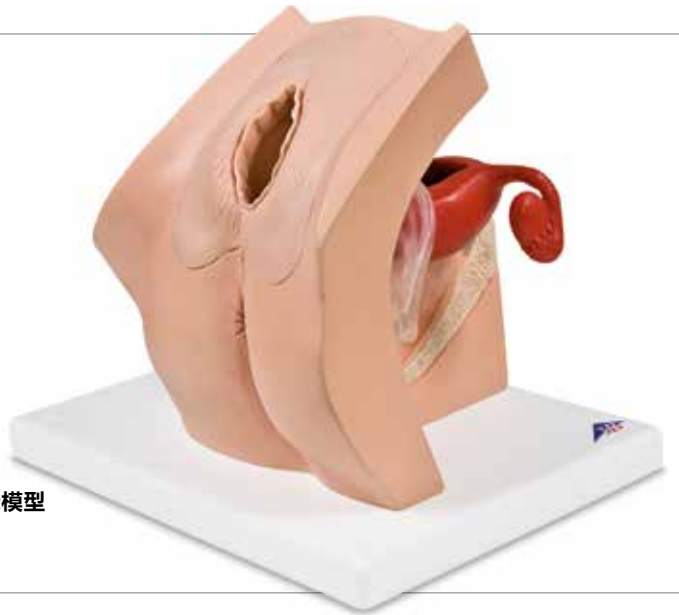
30x 19 x 22 cm; 1.5 kg

P53 1013705

可选工具包:

避孕工具套装 XP53-001 1017130

子宫托工具套装 XP53-002 1017131



理想的演示模型



女性乳房和胸壁不同疾病表现模型

这些模型包括一个泌乳右乳房和一个非哺乳期左乳房的例子。模型的两个部分都有一个矢状切口，显示了乳房的组织以及较深的解剖结构，如肌肉、肋骨、肋胸膜、肺胸膜和肺。乳腺炎症(乳腺炎)表现在右乳房和左乳房的其他各种疾病，包括良性肿瘤、两个恶性肿瘤和两个囊肿。这些模型通过磁铁固定在一起。

36.6 x 23 x 20 cm; 1.4 kg

L56 1008497

分娩过程模型

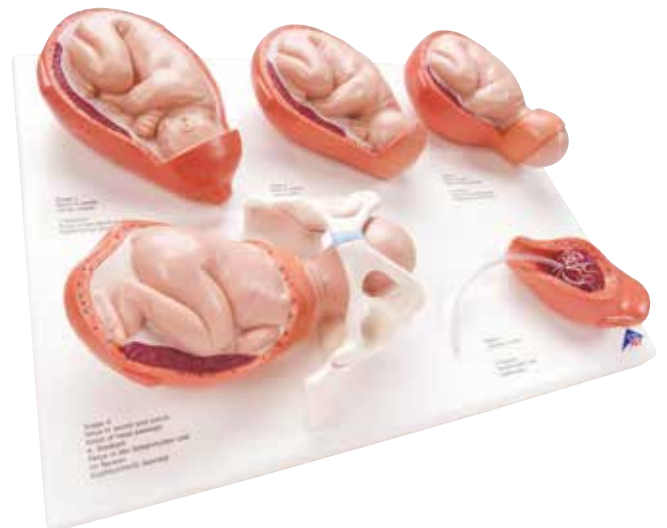
此模型是VG392模型的一半大小，这些模型详细的表述了人类分娩过程。模型安装在一个底座上。

包括以下阶段:

- 胎儿在子宫、宫口关闭
- 胎儿在子宫，宫颈扩张
- 胎儿在子宫内，开始着冠
- 胎儿在子宫内，骨盆中，头已娩出胎盘在子宫内

40 x 31 x 13 cm; 1.36 kg

VG393 1001259





3B ORTHObones 仿真骨

3B Scientific® ORTHObones 是人工制造的高仿真骨，专门为骨外科和整形外科及相关研究机构设计制造的用于替代真实人体骨骼进行手术训练或会诊讨论的骨骼，大大节省操作成本，并且符合真实骨骼标准，可以进行钢板接骨术或螺钉固定以及其他植入训练和示范培训。

- 高品质手术专用骨骼
- 卓越的生物力学特性
- 杰出的X射线透视对比度
- 精准的解剖要点，近乎真实
- 交货时间短

3B ORTHObones 标准版

+

3B ORTHObones 标准版

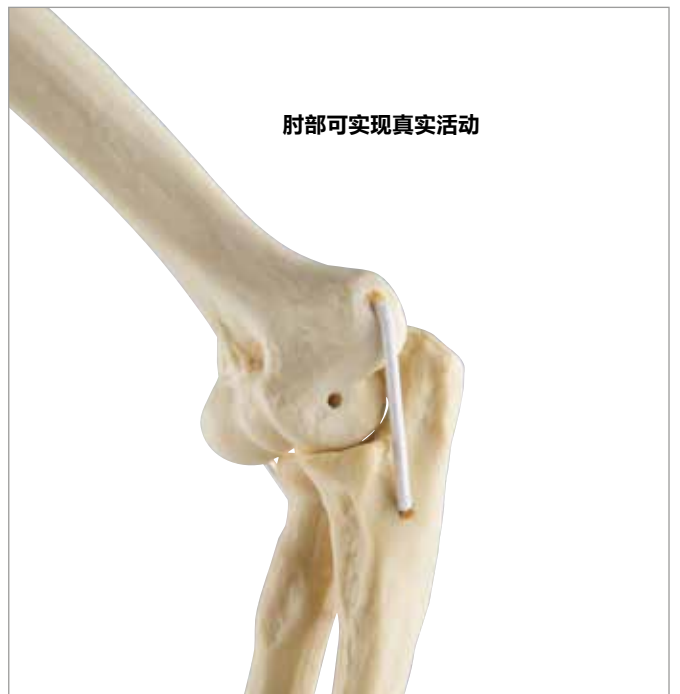
- + 非常经济实用的人造骨
- + 真实模拟人体骨骼中的皮质骨和松质骨结构
- + 解剖结构准确，适用于外科手术训练

3B ORTHObones 标准版	产品型号
右肱骨	1019604
左肱骨	1019609
右肘关节	1019616
左肘关节	1019617
右桡骨	1019605
左桡骨	1019610
右尺骨	1019606
左尺骨	1019611
手	1019618
手和腕部	1019619
右股骨	1019601
左股骨	1019607
左膝关节	1019621
右膝关节	1019622
右胫骨	1019602
左胫骨	1019608
锤状趾足	1019620
男性右半骨盆	1019603
男性左半骨盆	1019612
全骨盆	1019613
颈椎	1019614
胸椎	1019615
腰椎	1019700
腰椎和骶骨	1019701
青少年股骨, 右侧	1019702
小儿胫骨, 右侧	1019703
小儿股骨, 右侧	1019704
小儿中空颅骨, 带支撑	1019705

其多层构造模拟出坚硬的皮质骨以及较软的松质骨。使用此系列骨骼可以进行外科手术训练 (如螺钉、钢板或其他材料植入操作)。



肘部可实现真实活动



小儿中空颅骨

3B ORTHObones 高级版



3B ORTHObones 高级版

- + 此系列骨骼具有成年人(20-30岁)的生物力学特征
- + 具有逼真的表面外观和重量
- + 可针对外科手术进行高级训练
- + 特别适合于高对比度X光检查
- + 性能与标准版同样卓越, 骨表面更加坚固

使用乳胶带模拟关节运动, 在X射线之下不会产生任何痕迹



3B ORTHObones 高级版	产品型号
右肱骨	W19125 1005121
左肱骨	W19130 1016670
肘关节, 包括肱骨、尺骨和桡骨	W19141 1018335
右桡骨	W19126 1005122
左桡骨	W19131 1016671
右尺骨	W19127 1005123
左尺骨	W19132 1016672
手	W19142 1018336
左手和左前臂	W19143 1018337
男性右半骨盆	W19123 1005119
男性左半骨盆	W19133 1016702
全骨盆(含股骨)	W19148 1018342
右侧骨盆(含股骨)	W19150 1018344
左侧骨盆(含股骨)	W19149 1018343
全骨盆(含骶骨)	W19152 1018096
右股骨	W19121 1005117
左股骨	W19128 1016668
右膝关节	W19147 1018341
左膝关节	W19146 1018340
右胫骨	W19122 1005118
左胫骨	W19129 1016669
锤状趾、拇趾囊肿、足跟骨刺病理足	W19145 1018339
下颌, 具有牙齿	W19120 1005116
下颌牙龈	W19136 1018330
右肩胛骨	W19151 1018517
左肩胛骨	W19135 1017629

带弹力乳胶带的肘关节

灵活的肘关节, 包括肱骨、尺骨和桡骨。由于弹力乳胶带固定, 是灵活的和可以移动的。乳胶带紧附于其上, 因此不会对成像程序产生任何干扰。
W19141 1018335



使用 ORTHObones 骨骼模型拍摄的高对比度X光照片



3B 生物力学测试块



测试圆柱体，展示其矢状切面



3B 生物力学测试块适用于：

- + 测试植入物和设备
- + 骨密度测试训练
- + 模拟不同骨质特征，如骨密度和皮质厚度等

3B 生物力学测试块	骨密度	皮质厚度	产品型号
测试块	10 PCF	CP1	1019708
测试块	10 PCF	CP2	1019875
测试块	10 PCF	CP3	1019876
测试块	15 PCF	CP1	1019707
测试块	15 PCF	CP2	1019877
测试块	15 PCF	CP3	1019878
测试块	20 PCF	CP1	1019706
测试块	20 PCF	CP2	1019879
测试块	20 PCF	CP3	1019880
测试块	30 PCF	CP1	1019881
测试块	30 PCF	CP2	1019882
测试块	30 PCF	CP3	1019883

骨密度：10 – 30 PCF (磅每立方英尺)

实心坚固的聚氨酯泡沫有4种不同的密度可供使用：10、15、20 和 30 PCF。

皮质厚度：1 – 3 mm

在各块骨骼上使用一层皮质板来模拟皮质骨层。其密度为30 PCF，对于各种泡沫密度方案，有三种不同的厚度(1、2或3 mm) 可供选用。

规格尺寸：

CP1: 1毫米皮质层厚度: 9.5 x 4.5 x 3.1 cm

CP2: 2毫米皮质层厚度: 9.5 x 4.5 x 3.2 cm

CP3: 3毫米皮质层厚度: 9.5 x 4.5 x 3.3 cm



医学挂图

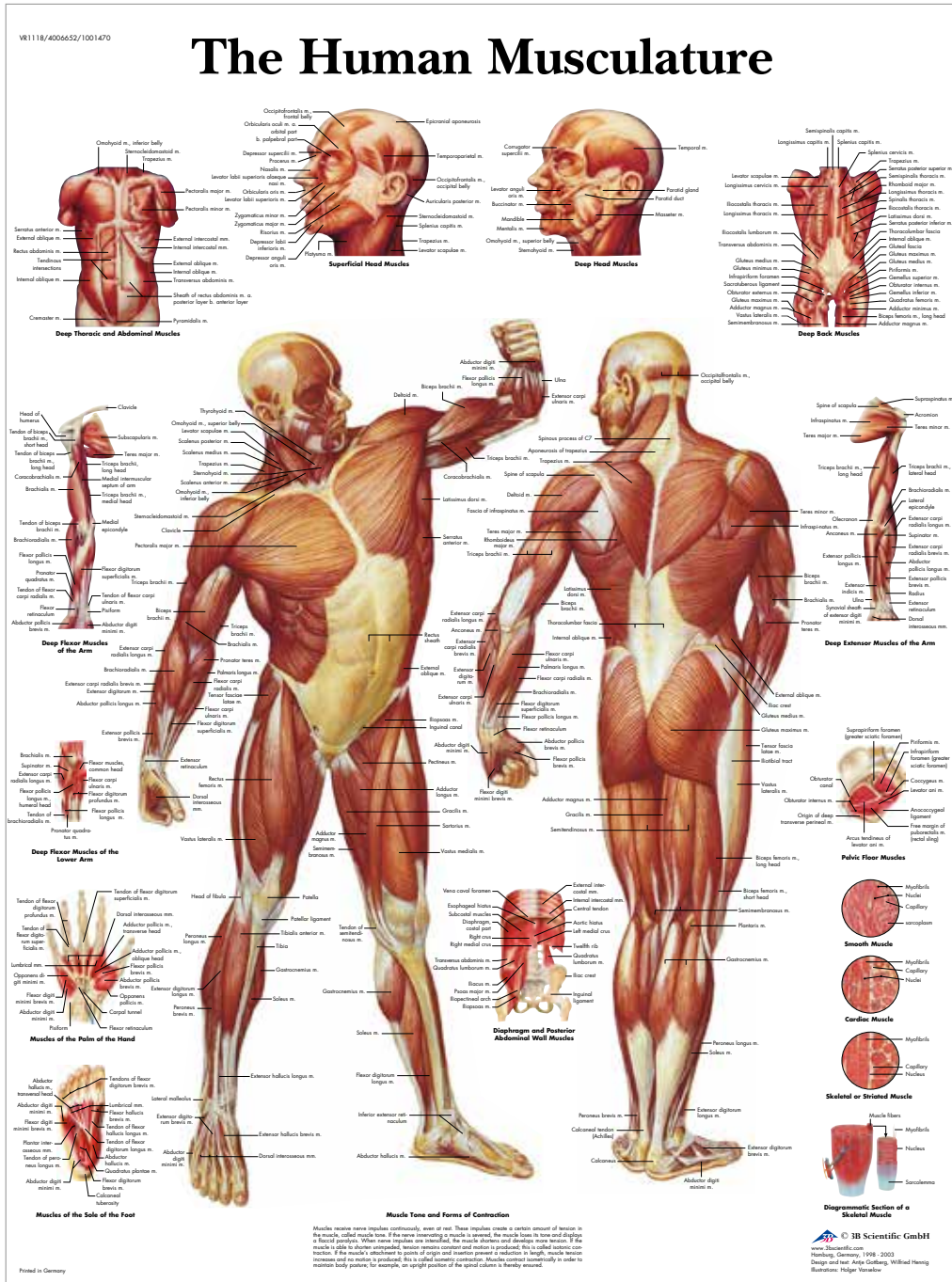
3B Scientific® 解剖学挂图和海报是您展示或教学的理想选择。
包含人体解剖学与健康教育内容。



扫描二维码或者登录我们的官方网站
3bscientific.com 可以查看更多挂图与海报。

3B Scientific® 挂图与海报

所有挂图都包含纸质版与压膜版, 其中30种有中英文两种版本, 都是您的理想选择。



人体肌肉挂图
压膜版
纸质版

VR1118L 1001470

VR1118UU 400652

医学挂图

我们的挂图与海报使用优等纸质，并且包含多种主题，如：人体骨架、人体躯干、眼睛、耳朵、心脏、呼吸系统、神经系统、糖尿病、肝炎、癌症、过敏等，您可以根据需要在官方网站上自行选购。

The Blood

Erythrocytes

The blood of an adult contains approx. 4.5 trillion red blood cells (erythrocytes) depending on the sex. They are produced in the bone marrow and then released into the blood. The formation is stimulated by a renal hormone (erythropoietin). The level of young erythrocytes (reticulocytes) is an indication of the rate of regeneration. This rate is usually 0.5 parts per thousand. The mature erythrocytes are anoxic discus. In average discus approx. 7.5 µm in diameter. To enable them to enter minuscule vessels they are deformable. In addition, because one third of them consists of the red blood pigment hemoglobin. This substance enables them to carry oxygen and carbon dioxide. Erythrocytes disintegrate after approx. 120 days. Their fragments are mainly broken down in the spleen.

Thrombocytes

One µl of blood usually contains 150,000 - 400,000 platelets (thrombocytes). These serve to stop bleeding. 2-6 minutes after an injury to a vessel, the platelets clump together and provide initial vessel closure that is not yet stable. They simultaneously trigger the complex process of blood clotting. This takes 5-7 minutes and can be inhibited by certain drugs (heparin, coumatin). After a life span of 9-10 days, thrombocytes are mostly broken down in the spleen.

Composition of the Blood

The blood volume of an adult is approx. 1/4 of the body weight.

55% Plasma	49.5% Water
	1.1% Nutrients (glucose, amino acids, vitamins, calcium, magnesium and various hormones, trace elements, uric acid)
	0.4% Proteins: albumin, globulin, fibrinogen
45% Cells	42.8% Red blood cells (erythrocytes)
	0.1% White blood cells (leucocytes)
	2.1% Platelets (thrombocytes)

General symptoms of anemia

Headache, Quick fatigability, "Foggy" blood before the eyes?, Dizziness, Fainting, Shortness of breath, Chest pain, Secondary to cold, Edema, Blood pale

Blood Formation

Except for the lymphocytes, the various blood cells are produced exclusively in the red bone marrow of the flat bones, the skull bones and the joint ends of the tubular bones. There they are formed from the same stem cells. After their replication and maturation the blood cells are eventually released into the blood or are initially stored. Only a part of the lymphocytes is formed in the bone marrow. These cells contain and migrate to the lymphatic organs (lymph nodes, spleen, thymus gland).

Erythrocyte Sedimentation Rate (ESR)

ESR is a nonspecific test indicating the presence of a disease. The object of the test is to measure the sedimentation rate of the erythrocytes. The normal sedimentation rate of erythrocytes is 2-8 mm after one hour in men and 0-17 mm in women. After 2 hours, the normal sedimentation rate is 2-12 mm in men, and 0-20 mm in women.

Differential Blood Count

When inspecting forms of the neutrophilic granulocytes appear in the blood count this is referred to as a shift. This is common in the presence of many infectious diseases, inflammations and purpuras. In case of a myeloid leukemia, immature preliminary stages of the granulocytes will appear in the blood count. Hypersegmented granulocytes are caused by overaging of the erythrocytes.

Blood Groups

Based on specific surface structures (antigens) of the erythrocyte there are four different blood groups distinguished: A, B, AB and O. Each blood group contains antibodies against foreign surface structures. Blood group A has contains antibodies against B, against A, AB none and O antibodies against A and B. If the antibodies meet the matching antigens during blood transfusions, this will lead to hemolysis (clumping of the erythrocytes). The incompatibility reaction will be stronger if the recipient's blood contains antibodies against the donor's blood. The Rh factor (Rh) is another incompatibility factor of the blood. In Rh negative persons (mother) antibodies will be formed only upon contact (birth) with Rh positive blood (child).

Chief complaints associated with white blood cell diseases

Leukemia: This malignant disease is associated with an uncontrolled growth of one cell group of the white blood cells in the bone marrow. This causes suppression of the normal blood formation. Once the cells have been released into the blood, uncontrolled proliferation occurs there as well. A distinction is made between acute and chronic forms of the disease. Chronic lymphocytic leukemia (CLL) is the most common type of leukemia with the lowest degree of malignancy. Chronic myeloid leukemia (CMML) is characterized by a gradual onset of medium age and has poor chances of recovery. The acute types of leukemia usually occur in lymphocytic leukemia in children (ALL) and in myeloid leukemia in adults (AML). Acute leukemia in childhood has good chances of recovery.

Monocytes

Monocytes have a diameter of 12-20 µm and are the largest white blood cells. They remain in the blood for 1-2 days and then migrate into the various organs. There they are converted into macrophages (large scavenger cells). Their functions include the ingestion and digestion (phagocytosis) of foreign particles and the presentation to lymphocytes.

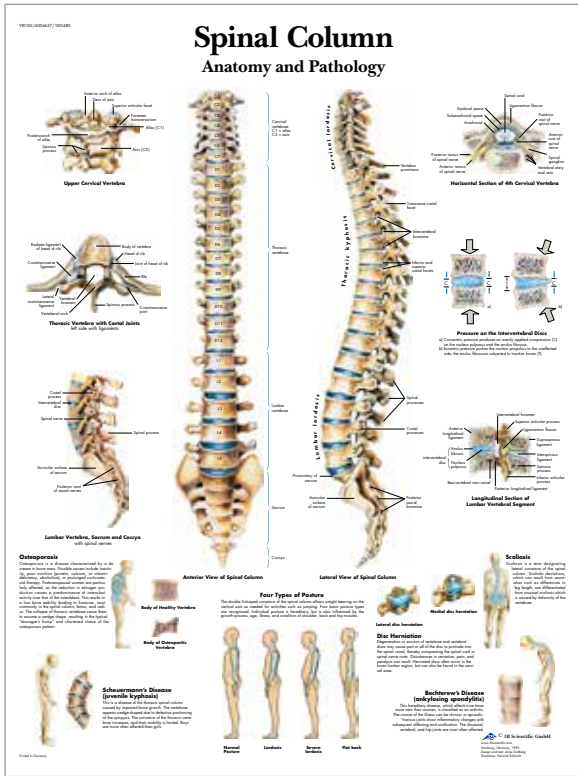


血液
压膜版
纸质版

VR1379L 1001538
VR1379UU 4006686

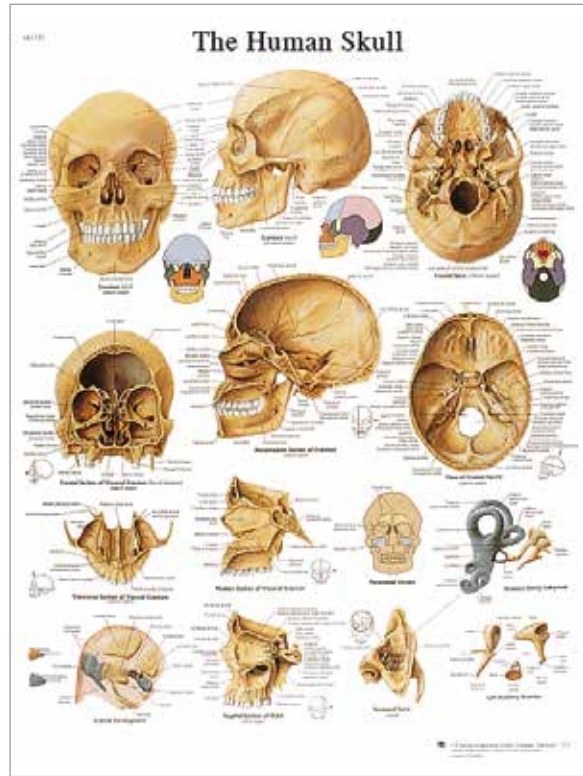


请访问 3bscientific.com 查看所有语言版本!



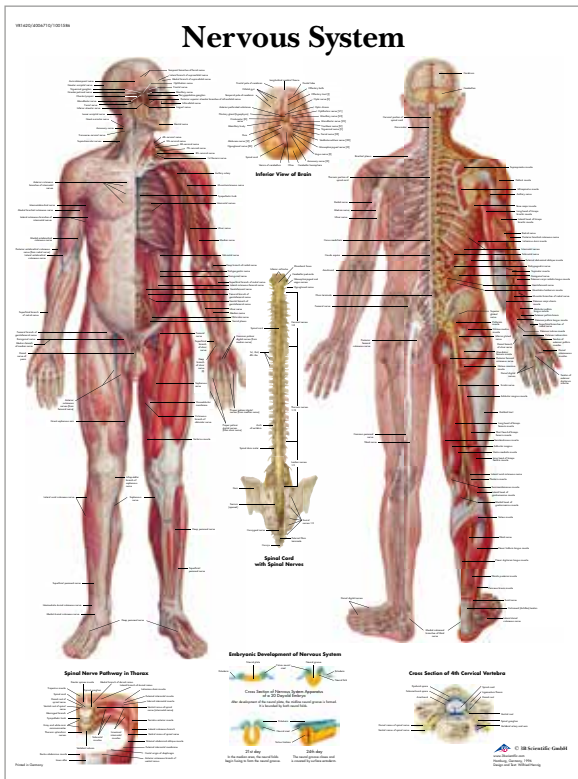
脊柱解剖学与病理学
压膜版
纸质版

VR1152L 1001480
VR1152UU 4006657



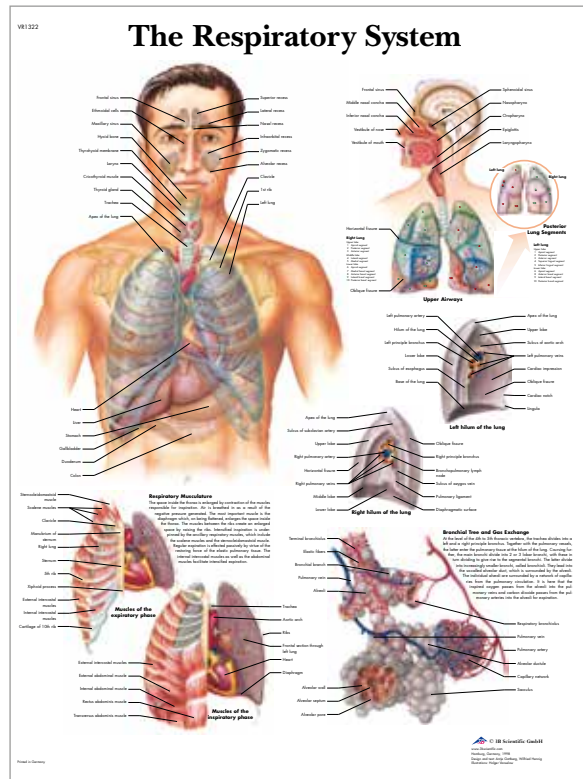
人类颅骨
压膜版
纸质版

VR1131L 1001478
VR1131UU 4006656



神经系统
压膜版
纸质版

VR1620L 1001586
VR1620UU 4006710



呼吸系统
压膜版
纸质版

VR1322L 1001516
VR1322UU 4006675

3B Scientific® 挂图与海报



访问官方网站 3bscientific.com 查看更多版本挂图!

挂图指南

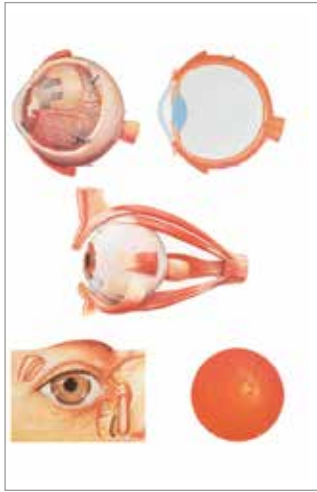
3B Scientific® 挂图与海报是人体解剖学研究 and 临床健康教育的理想选择。所有挂图尺寸均为 50 x 67cm, 如有特殊尺寸要求, 请联系我们。挂图有两种材质供选择, 纸质版(未塑封)和压膜版(塑封)。有多种语言可供选择。

	压膜版	纸质版
骨		
人体骨架	1001468	4006651
肩部和肘部	1001482	4006658
手和腕部	1001484	4006659
骨盆和髋关节	1001486	4006660
足和踝部	1001490	4006662
肌肉		
人体肌肉	1001470	4006652
病理学		
骨质疏松	1001472	4006653
关节炎	1001474	4006654
运动损伤	1001494	4006664
眼部疾病	1001498	4006666
鼻炎和鼻窦炎	1001504	4006669
耳部疾病	1001506	4006670
呼吸道感染	1001508	4006671
皮肤癌	1001514	4006674
酒精依赖	1001620	4006727
尼古丁依赖	1001622	4006728
过敏	1001596	4006715
褥疮	1001606	4006720
流感	1001608	4006721
艾滋病毒和艾滋病	1001610	4006722
肺炎	1001518	4006676
常见心脏病	1001526	4006680
静脉曲张	1001534	4006684
消化系统疾病	1001548	4006691
结肠癌	1001550	4006692
肝炎	1001552	4006693
糖尿病	1001554	4006694
胆固醇	1001558	4006696
脑卒中	1001590	4006712
阿尔兹海默病	1001592	4006713
器官		
人类眼睛	1001496	4006665
人类耳朵	1001500	4006667

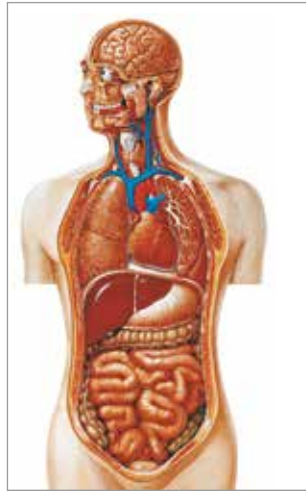
	压膜版	纸质版
喉	1001502	4006668
皮肤	1001512	4006673
淋巴系统	1001540	not available
肝脏	1001544	4006689
尿路	1001562	4006698
肾脏	1001564	4006699
前列腺	1001566	4006700
人类大脑	1001584	4006709
妊娠与分娩		
妊娠	1001572	4006703
分娩	1001574	4006704
母乳喂养	1001578	4006706
计划生育	1001580	4006707
妇科		
女性生殖器	1001568	4006701
女性乳房	1001576	4006705
胃		
胃肠道系统	1001542	4006688
胃	1001546	4006690
细胞遗传学		
人体代谢途径	1001556	4006695
血管与神经系统		
血液	1001538	4006686
植物神经系统	1001582	4006708
神经系统	1001586	4006710
脊神经	1001588	4006711
针灸		
足底反射区	1001624	4006729
耳针	1001628	4006731
身体针灸	1001626	4006730
牙科		
牙齿	1001510	4006672
CPR		
基础生命支持	1001616	4006725
肺		
呼吸系统	1001516	4006675

墙壁挂图

> 热卖产品!



A



B



A. 眼睛
木质挂轴 V2011M
1001163
无挂轴 V2011U
4006521

B. 躯干挂图
木质挂轴 V2008M
1001159
无挂轴 V2008U
4006519

C. 人体肌肉挂图
木质挂轴 V2005M
1001153
无挂轴 V2005U
4006516



C

墙壁挂图

大尺寸挂图，可以安装木质挂画轴悬挂在墙上，也可以直接粘贴。
挂图采用防水耐撕裂纸，尺寸为 84 x 200 cm / 84 x 118 cm.

	木质挂轴	无挂轴
肌肉		
人体肌肉组织, 背面	V2005M	V2005U
肌肉组织	V2052M	V2052U
神经系统		
中枢神经系统	V2034M	V2034U
皮肤		
皮肤	V2023M	V2023U
营养系统		
植物神经系统	V2059M	V2059U
内分泌系统		
内分泌腺	V2046M	V2046U
心脏		
心脏解剖结构 I	V2053M	V2053U
器官		
男性盆腔器官	V2020M	V2020U
女性盆腔器官	V2021M	V2021U
内部器官	V2006M	V2006U
肾脏	V2013M	V2013U
语言器官	V2007M	V2007U
耳	V2010M	V2010U
耳解剖结构 I	V2011M	V2011U

	木质挂轴	无挂轴
血液		
血液成分 I	V2031M	V2031U
人体血液循环	V2018M	V2018U
细胞		
人类细胞结构	V2027M	V2027U
细胞分裂 I, 有丝分裂	V2049M	V2049U
细胞分裂 II, 减数分裂	V2051M	V2051U
细菌和寄生虫		
细菌	V2041M	V2041U
肠道寄生虫 I	V2019M	V2019U
肠道寄生虫 II	V2028M	V2028U
骨		
骨结构	V2050M	V2050U
血管		
血管系统	V2004M	V2004U
牙科		
健康的牙齿	V2016M	V2016U
躯干		
人体躯干	V2008M	V2008U
妊娠与分娩		
胎位	V2068M	V2068U
分娩过程	V2048M	V2048U
胚胎 I	V2066M	V2066U
胚胎 II	V2067M	V2067U

索引

产品型号	SAP型号	页码	产品型号	SAP型号	页码	产品型号	SAP型号	页码
A04	1020155	14	A30	1019355	18	A71/9	1000143	19
A04/1	1020156	14	A30/2	1019356	17	A72	1000144	28
A05/1	1020157	14	A300	1020181	45	A73	1000145	28
A05/2	1020158	14	A31	1019357	18	A74	1000146	28
A10	1020171	8	A31/1	1019358	16	A75	1000147	28
A10/1	1020172	8	A35	1019359	18	A75/1	1000148	28
A100	1009697	79	A35/1	1019360	19	A76	1000149	28
A101	1012786	79	A35/2	1019362	19	A76/5	1000150	29
A11	1020173	9	A35/3	1019363	19	A76/8	1000151	28
A11/1	1020174	9	A35/4	1019364	19	A76/9	1000152	28
A12	1020175	10	A35/5	1019365	19	A78	1000153	28
A13	1020176	11	A36	1019366	18	A79	1000154	15
A13/1	1020177	11	A40	1019367	18	A790	1000021	30
A15	1020178	12	A40/2	1019368	17	A792	1000155	30
A15/3	1020179	12	A40/3	1019369	16	A793	1000156	30
A15/3S	1020180	13	A41	1019370	18	A794	1000157	31
A18	1000039	15	A45	1019371	18	A795	1000158	29
A18/1	1000040	15	A45/1	1019372	19	A80	1000159	26
A18/15	1000041	47	A45/2	1019373	19	A80/1	1000160	26
A18/20	1000042	36	A45/3	1019374	19	A81	1000161	26
A18/21	1000043	36	A45/4	1019375	19	A81/1	1000162	26
A18/5	1000044	15	A45/5	1019376	19	A82	1000163	26
A18/6	1000045	15	A46	1019377	18	A82/1	1000164	26
A20	1020159	42	A52	1000118	31	A83	1000165	26
A20/1	1020160	44	A56/2	1000120	33	A83/1	1000166	26
A20/2	1020161	8	A58/1	1000121	32	A84/1	1000168	27
A20/2	1020161	44	A58/2	1000122	32	A85/1	1000170	27
A20/9	1020162	43	A58/3	1000123	33	A86/1	1000172	27
A20/N	1020163	47	A58/4	1000124	33	A87/1	1000174	27
A20/T	1020164	47	A58/5	1000125	35	A88	1000175	27
A21	1020165	42	A58/6	1000126	35	A880	1000176	25
A22	1020166	43	A58/7	1000127	35	A881	1000177	25
A22/1	1020167	43	A58/8	1000128	32	A882	1000178	24
A23	1020168	42	A58/9	1000129	32	A883	1000179	25
A24	1020169	43	A59/1	1000130	34	A89	1000180	27
A25	1000057	47	A59/2	1000131	34	A95	1000182	28
A26	1000058	47	A59/8	1000132	36	A99	1009698	15
A27	1000059	45	A60	1000133	38	B01	1000183	61
A281	1000062	46	A61	1000134	38	B02	1000184	61
A282	1000063	46	A69	1000136	19	B09	1000186	54
A283	1000064	46	A69/2	1000137	19	B11	1000188	55
A29/3	1000067	47	A70/6	1000139	19	B13	1000190	54
A290	1000068	44	A71	1000140	19	B17	1000192	55
A291	1000069	44	A71/5	1000142	19	B19	1000193	55

产品型号	SAP型号	页码	产品型号	SAP型号	页码	产品型号	SAP型号	页码
B22	1000195	61	D10/3	1000242	84	H20/1	1000285	41
B30	1000196	56	D10/4	1000243	84	H20/2	1000286	41
B32	1000197	56	D10/5	1017580	84	H20/3	1000287	41
B32/4	1000199	56	D15	1013215	84	H20/4	1000288	41
B35	1000200	57	D16	1000246	82	H21/1	1013026	40
B37	1000202	56	D17	1000247	85	H21/2	1013281	40
B40	1000203	57	D20	1000248	83	H21/3	1013282	40
B41	1000204	58	D25	1000249	83	J10	1000289	63
B42	1000205	58	D26	1000016	82	J11	1000290	62
B50	1013881	49	E10	1000250	78	J13	1000291	62
B51	1013882	49	E11	1000251	78	J14	1000292	63
B52	1000208	51	E12	1000252	78	J15	1000293	63
B53	1000209	51	E13	1000253	79	J16	1000294	62
B55	1000210	50	E14	1010005	79	K09	1000295	99
B59	1000212	50	E20	1000254	80	K11	1000299	98
B60	1000213	53	F10	1000255	74	K12	1014211	98
C05	1000214	66	F11	1000256	74	K13	1000301	98
C06	1000215	66	F12	1000257	74	K15	1000302	95
C07	1000216	66	F13	1000258	75	K15/1	1012787	95
C09/1	1000217	67	F15	1000259	74	K16	1000303	95
C12	1000219	64	F16	1000260	77	K17	1000304	95
C13	1000220	64	F17	1017230	76	K18	1000305	97
C13/1	1012789	64	G01	1010006	87	K20	1000306	94
C14	1000221	64	G01/1	1010007	87	K21	1000307	94
C15	1000222	69	G04	1000261	90	K22/1	1000308	96
C15/1	1000223	69	G05	1017837	90	K22/2	1000309	96
C16	1000224	69	G06	1000263	90	K22/3	1000310	96
C17	1000225	69	G08	1017800	86	K23	1000311	94
C18	1000226	68	G08/1	1000265	87	K24	1000312	96
C20	1017868	67	G08/3	1019311	86	K25	1014209	96
C22	1000228	70	G12	1000268	88	K26	1000314	97
C25	1017869	67	G13	1000269	88	K27	1000315	97
C29	1000230	71	G15	1000270	92	K29	1000316	98
C30	1000231	72	G20	1013870	81	K32	1000317	99
C40	1000232	73	G21	1000272	81	K41	1000319	99
C40/1	1000233	73	G22	1000273	81	K55	1008496	97
C40/2	1000234	73	G23	1000274	93	L01	1000320	100
C40/3	1000235	73	G23/1	1000275	93	L10	1018627	101
C40/4	1000236	73	G30	1000276	91	L10/1	1000322	101
C40/5	1000237	73	G40	1000278	91	L10/2	1000323	101
C41	1000238	72	G42	1000279	91	L10/3	1000324	101
D10	1017588	84	G50/1	1012788	93	L10/4	1000325	101
D10/1	1000240	84	G60	1008493	93	L10/5	1000326	101
D10/2	1000241	84	G70	1008494	92	L10/6	1000327	101

索引

产品型号	SAP型号	页码	产品型号	SAP型号	页码	产品型号	SAP型号	页码
L10/7	1000328	101	VG393	1001259	103	W19151	1018517	106
L10/8	1000329	101	VH409	1001261	71	W19152	1018096	106
L11	1018628	101	VH410	1001262	70	W40104	1020762	60
L11/9	1000331	101	VJ500A	1001264	75	W42507	1005532	94
L15	1014207	101	VJ510	1001266	79	W42512	1005536	67
L20	1000333	101	VJ513	1008553	78	W42517	1005540	82
L30	1000334	102	VR1118L	1001470	59	W42537	1005553	73
L56	1008497	103	VR1118UU	4006652	59	W42565	1005555	71
M10	1000015	53	VR1152L	1001568	37	W43076	1018275	102
M11	1000347	53	VR1171L	1001484	23	W47500	1005866	29
M18	1000349	20	VR1176L	1001490	23	1000135	1000135	38
M19	1000350	21	VR1283L	1001512	63	1000281	1000281	39
M20	1000351	52	VR1555UU	4006704	102	1000282	1000282	39
M21	1000352	52	W10532	1003625	85	1000335	1000335	39
M22	1000353	52	W11851	1003806	77	1002489	1002489	53
M30	1000354	23	W16010	1005052	79	1019232	1019232	50
M31	1000355	23	W19007	1005101	29	1019500	1019500	27
M32	1000356	23	W19018	1005108	45	1019502	1019502	27
M33	1000357	21	W19026	1005113	70	1019505	1019505	25
M33/1	1000358	20	W19027	1005114	70	1019511	1019511	29
M34	1000359	22	W19120	1005116	106	1019512	1019512	29
M34/1	1019421	22	W19121	1005117	106	1019518	1019518	25
M36	1013683	21	W19122	1005118	106	1019522	1019522	22
P53	1013705	103	W19123	1005119	106	1019526	1019526	78
T12010	1002502	85	W19125	1005121	106	1019527	1019527	78
V2023M	1001177	63	W19126	1005122	106	1019531	1019531	91
VA01	1001235	48	W19127	1005123	106	1019532	1019532	91
VA16	1001236	59	W19128	1016668	106	1019533	1019533	74
VA20	1001237	60	W19129	1016669	106	1019537	1019537	80
VB127	1001239	65	W19130	1016670	106	1019540	1019540	85
VB128	1001240	65	W19131	1016671	106	1019541	1019541	25
VB129	1008543	65	W19132	1016672	106	1019547	1019547	93
VB84	1008545	34	W19133	1016702	106	1019548	1019548	80
VC219	1001242	81	W19135	1017629	106	1019557	1019557	97
VC243	1001243	92	W19136	1018330	106	1019568	1019568	63
VD250	1001244	89	W19141	1018335	106	1019572	1019572	91
VD251	1008547	88	W19142	1018336	106	1019601	1019601	105
VD253	1008548	89	W19143	1018337	106	1019602	1019602	105
VE281	1001247	83	W19145	1018339	106	1019603	1019603	105
VE282	1001248	83	W19146	1018340	106	1019604	1019604	105
VE290	1001250	83	W19147	1018341	106	1019605	1019605	105
VE315	1008550	96	W19148	1018342	106	1019606	1019606	105
VF325	1008551	99	W19149	1018343	106	1019607	1019607	105
VG391	1001257	100	W19150	1018344	106	1019608	1019608	105

产品型号	SAP型号	页码	产品型号	SAP型号	页码	产品型号	SAP型号	页码
1019609	1019609	105	8000843	8000843	4			
1019610	1019610	105	8000844	8000844	4			
1019611	1019611	105	8000845	8000845	5			
1019612	1019612	105	8000846	8000846	5			
1019613	1019613	105	8000847	8000847	4			
1019614	1019614	105	8000848	8000848	5			
1019615	1019615	105						
1019616	1019616	105						
1019617	1019617	105						
1019618	1019618	105						
1019619	1019619	105						
1019620	1019620	105						
1019621	1019621	105						
1019622	1019622	105						
1019700	1019700	105						
1019701	1019701	105						
1019702	1019702	105						
1019703	1019703	105						
1019704	1019704	105						
1019705	1019705	105						
1019706	1019706	107						
1019707	1019707	107						
1019708	1019708	107						
1019864	1019864	38						
1019865	1019865	38						
1019875	1019875	107						
1019876	1019876	107						
1019877	1019877	107						
1019878	1019878	107						
1019879	1019879	107						
1019880	1019880	107						
1019881	1019881	107						
1019882	1019882	107						
1019883	1019883	107						
8000832	8000832	7						
8000834	8000834	7						
8000835	8000835	6						
8000836	8000836	7						
8000837	8000837	6						
8000838	8000838	5						
8000839	8000839	7						
8000840	8000840	6						
8000841	8000841	6						
8000842	8000842	4						

3B SCIENTIFIC® 产品范围

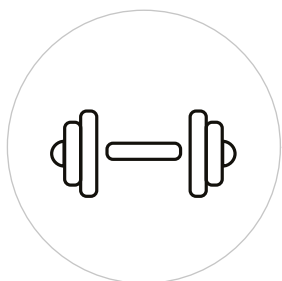


医学教育

解剖模型对于医学生和病人而言是非常重要的教育工具。他们将抽象的理论知识变得具体形象化，为学生和病人提供了视觉体验和动手实践，有效地促进了对人体解剖学的理解。我们的产品都是使用真实标本三维扫描铸模而成，这就是为什么3B Scientific® 生产的模型都非常接近真实，并且我们采用最高品质的经久耐用的材料，在行业中具有领先地位。

临床模拟

在医疗培训中临床模拟器被用来训练学生应当具备的技能。这些模拟器最大程度的模仿了人体真实结构，但又比真实的标本更加卫生，且操作成本低廉，能够长期重复使用。访问我们的官方网站 3bscientific.com，您会找到满足您培训需要的所有优质产品。

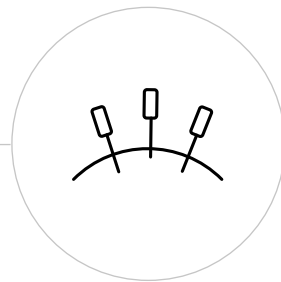


治疗与保健

找到适合的治疗或保健用品，好比拥有一位经济的治疗专家，它能够让您每一天都轻松舒适的生活。而合理地运用健康教育系列产品来指导病人养成良好的生活习惯和膳食搭配，更有助于疾病的康复和提高生活质量。

中医针灸

中医把人体看作一个整体。在东方医学和西方医学快速整合的今天，无论是医院还是其他诊疗机构都会提供针灸治疗。而在治疗方法中使用的工具和针的质量对患者的舒适度最重要。在德国，3B Scientific® 提供高品质的针灸针和简易针灸设备。

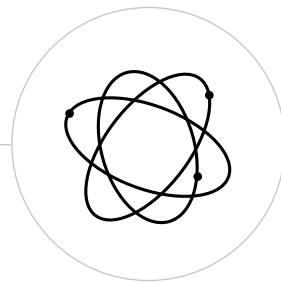


生物学

使用这些生物学教具可以为您的课程增添更多趣味性和有效性。3B Scientific® 生物产品，是根据真实标本三维扫描铸模而成，最大限度的仿真，并且采用优质材料，是您的理想选择。

物理学

动手实践与探究式教学是物理教学的核心。在3B Scientific® 你会发现有众多令人兴奋的，简单而有意义的实验可以与您的学生一起讨论并动手实践。



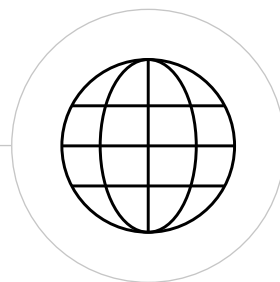


联系我们!

在线快速订购

网上订购可以为您节约更多时间，并且可以获取更多产品信息。

3bscientific.com



官方邮箱

sales@3bscientific.cn

联系电话

欢迎拨打热线电话，我们将诚挚解答。

+ 86 512 68081123





3B Scientific

A worldwide group of companies



Suzhou 3B Scientific Co., Ltd.

苏州新区火炬路45号·科技工业园·215009

Tel: +86 512 68081123 • Fax: +86 512 68258957

E-Mail: sales@3bscientific.cn

